



Appunti universitari

Tesi di laurea

Cartoleria e cancelleria

Stampa file e fotocopie

Print on demand

Rilegature

NUMERO: 1414A -

ANNO: 2015

A P P U N T I

STUDENTE: Uffreduzzi

MATERIA: Fisica II + Eserc.Prof.Gozzelino

Il presente lavoro nasce dall'impegno dell'autore ed è distribuito in accordo con il Centro Appunti.

Tutti i diritti sono riservati. È vietata qualsiasi riproduzione, copia totale o parziale, dei contenuti inseriti nel presente volume, ivi inclusa la memorizzazione, rielaborazione, diffusione o distribuzione dei contenuti stessi mediante qualunque supporto magnetico o cartaceo, piattaforma tecnologica o rete telematica, senza previa autorizzazione scritta dell'autore.

**ATTENZIONE: QUESTI APPUNTI SONO FATTI DA STUDENTIE NON SONO STATI VISIONATI DAL DOCENTE.
IL NOME DEL PROFESSORE, SERVE SOLO PER IDENTIFICARE IL CORSO.**

$$\int_A^B \vec{E} \cdot d\vec{s} = V_A - V_B = - \int_A^B dV$$

①

$$\int_A^B (\vec{E} \cdot d\vec{s} + dV) = 0 \iff \vec{E} \cdot d\vec{s} + dV = 0 \quad \vec{E} \cdot d\vec{s} = E_x dx + E_y dy + E_z dz$$

$$E_x dx + \frac{\partial V}{\partial x} dx + E_y dy + \frac{\partial V}{\partial y} dy + E_z dz + \frac{\partial V}{\partial z} dz = 0 \quad dV = \frac{\partial V}{\partial x} dx + \frac{\partial V}{\partial y} dy + \frac{\partial V}{\partial z} dz$$

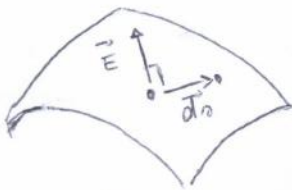
$$(E_x + \frac{\partial V}{\partial x}) dx + (E_y + \frac{\partial V}{\partial y}) dy + (E_z + \frac{\partial V}{\partial z}) dz = 0$$

$$\iff E_x = -\frac{\partial V}{\partial x}$$

$$E_y = -\frac{\partial V}{\partial y} \implies \vec{E} = - \left(\frac{\partial V}{\partial x} \vec{u}_x + \frac{\partial V}{\partial y} \vec{u}_y + \frac{\partial V}{\partial z} \vec{u}_z \right) = - \text{grad } V$$

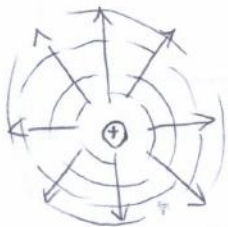
$$E_z = -\frac{\partial V}{\partial z} \quad \text{in coord. polari } \left(\frac{\partial}{\partial r}, \frac{1}{r} \frac{\partial}{\partial \theta}, \frac{1}{r \sin \theta} \frac{\partial}{\partial \phi} \right)$$

SUPERFICIE EQUIPOTENZIALE



$$V(x,y,z) = \text{cost } \psi(x,y,z)$$

$$dV = 0 = -\vec{E} \cdot d\vec{s} \implies \vec{E} \perp d\vec{s}$$



Caso carica puntiforme
 sup. equipotenziali \rightarrow sfere che in ogni punto sono \perp alle linee di forza

OSSERVAZIONI EN. POT. ELETTROSTATICA E LAVORO

$$\Delta U_e = q(V_B - V_A) = qV \quad \text{se } V(\infty) = 0$$

2° cariche:

$$U = \frac{1}{4\pi\epsilon_0} \frac{q_1 q_2}{r_{12}}$$

$\nearrow q_1, q_2$ stesso segno $U_e > 0 \rightarrow$
 $\triangleleft q_1, q_2$ segno opposto $U_e < 0 \rightarrow$

se r aumenta

- U_e di minimizzare
- $W_{AB} = U_{eA} - U_{eB} > 0$ SPONT.

se r aumenta

- U_e aumenta
- $W_{AB} = U_{eA} - U_{eB} < 0$
 FATTO DALL'ESTERNO

n cariche:

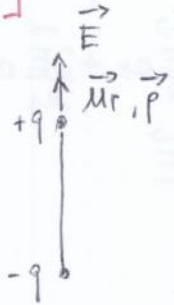
$$U = \frac{1}{2} \left(\sum_{i,j}^N i,j \frac{q_i q_j}{r_{ij}} \right) \cdot \frac{1}{4\pi\epsilon_0} = \frac{1}{2} \cdot \left(\frac{1}{4\pi\epsilon_0} \sum_{i,j}^N i,j \frac{q_i q_j}{r_{ij}} \right)$$

$$\vec{E} = \frac{2p \cos \theta}{4\pi \epsilon_0 r^3} \vec{\mu}_r + \frac{1}{r} \cdot \frac{1}{4\pi \epsilon_0 r^2} (p \cos \theta \vec{\mu}_r - \vec{p}) = \quad (3)$$

$$= \frac{1}{4\pi \epsilon_0 r^3} [3p \cos \theta \vec{\mu}_r - \vec{p}] = \frac{1}{4\pi \epsilon_0 r^3} [3(\vec{p} \cdot \vec{\mu}_r) \vec{\mu}_r - \vec{p}]$$

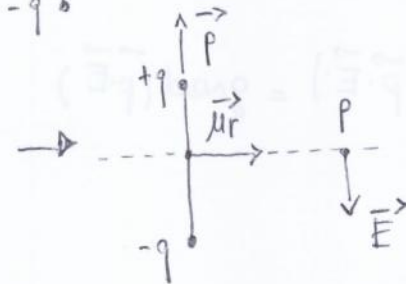
$$\vec{E} = \frac{1}{4\pi \epsilon_0 r^3} [3(\vec{p} \cdot \vec{\mu}_r) \vec{\mu}_r - \vec{p}]$$

• asse del dipolo →
 $\vec{p} \parallel \vec{\mu}_r$



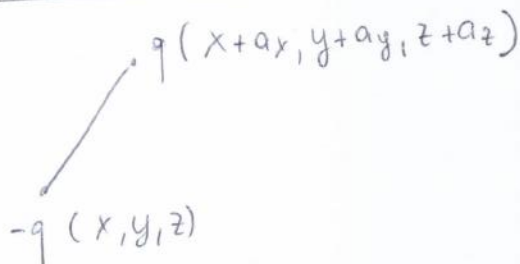
$$\vec{E} = \frac{1}{4\pi \epsilon_0 r^3} [2\vec{p}] \Rightarrow \vec{E} \parallel \vec{p}$$

• asse o piano mediano →
 $\vec{p} \perp \vec{\mu}_r$



$$\vec{E} = \frac{1}{4\pi \epsilon_0 r^3} [-\vec{p}]$$

ENERGIA POTENZIALE DIPOLO IN UN CAMPO ELETTROSTATICO UNIFORME



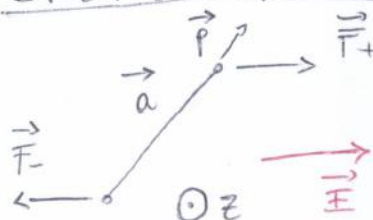
$$U_e = qV(x+a_x, y+a_y, z+a_z) - qV(x, y, z) =$$

$$= q \left[V(x, y, z) + \frac{\partial V}{\partial x} a_x + \frac{\partial V}{\partial y} a_y + \frac{\partial V}{\partial z} a_z - V(x, y, z) \right] = p_x \frac{\partial V}{\partial x} + p_y \frac{\partial V}{\partial y} + p_z \frac{\partial V}{\partial z} =$$

$$= \vec{p} \cdot \text{grad} V = -\vec{p} \cdot \vec{E} = -pE \cos \theta$$

$U_e = -\vec{p} \cdot \vec{E} \rightarrow$ min per $\theta = 0^\circ$
 max per $\theta = 180^\circ$

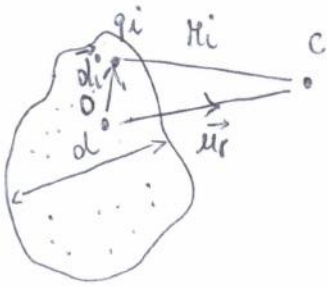
FORZA CHE AGISCE SU UN DIPOLO IN CAMPO ELETTR. UNIFORME



Se \vec{E} uniforme

$\vec{F}_+ = \vec{F}_- \rightarrow$ coppie di forze che genera un momento

SISTEMI DI CARICHE IN APPROSSIMAZIONE DI DIPOLO



$$V(c) = \frac{1}{4\pi\epsilon_0} \sum_i \frac{q_i}{r_i}$$

O = punto qualsiasi all'interno della regione

$$\vec{p}_i \Rightarrow \sum_i q_i \vec{d}_i = \sum_i \vec{p}_i = \vec{p}$$

Se $r_i \gg d$

$$V(c) \approx \frac{1}{4\pi\epsilon_0} \sum_i \frac{q_i}{r_i} + \frac{1}{4\pi\epsilon_0} \sum_i \frac{q_i d_i}{r^2} \cdot \vec{u}_r = \frac{1}{4\pi\epsilon_0} \frac{Q}{r} + \frac{1}{4\pi\epsilon_0} \frac{\vec{p} \cdot \vec{u}_r}{r^2}$$

• $r \gg d$ + SISTEMA CARICO

$$\Rightarrow V(c) \sim \frac{1}{4\pi\epsilon_0} \frac{Q}{r}$$

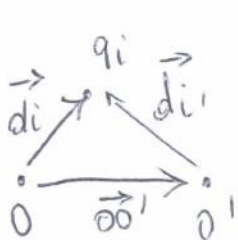
perché $\vec{p} \cdot \vec{u}_r = \sum_i q_i \vec{d}_i = Q \cdot d$

$$\frac{V_{dip}}{V_0} \approx \frac{Q \cdot d}{r a} = \frac{d}{r} \ll 1!$$

• $r \gg d$ + SISTEMA NEUTRO

$$V(c) \sim \frac{1}{4\pi\epsilon_0} \frac{\vec{p} \cdot \vec{u}_r}{r^2} \quad \text{perché } \sum_i q_i = 0$$

OSSERVAMO CHE IL MOM. DI DIPOLO È INDIPENDENTE DAL PUNTO IN CUI È CALCOLATO:



$$\vec{d}_i = \vec{oo}' + \vec{d}_i'$$

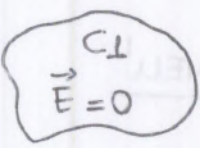
$$\vec{p} = \sum_i q_i \vec{d}_i = \underbrace{\sum_i q_i \vec{oo}'}_{=0} + \sum_i q_i \vec{d}_i' = \vec{p}'$$

SIST. NEUTRO

RIEPILOGO

- \vec{E} cons. e irrot.
- $\oint \vec{E} \cdot d\vec{l} = 0$, $\text{rot } \vec{E} = 0$
- $\int_{\Sigma_{ch}} \vec{E} \cdot \vec{u}_n d\Sigma = \frac{q}{\epsilon_0} \rightarrow \text{div } \vec{E} = \frac{\rho}{\epsilon_0}$
- $\vec{E} = -\text{grad } V$
- $-\nabla \cdot \nabla V = \frac{\rho}{\epsilon_0} \rightarrow \boxed{\nabla^2 V = -\frac{\rho}{\epsilon_0}}$ Eq. Poisson
 Laplaciano $\left(\frac{\partial^2 V}{\partial x^2} + \frac{\partial^2 V}{\partial y^2} + \frac{\partial^2 V}{\partial z^2} \right)$

CONDUTTORI

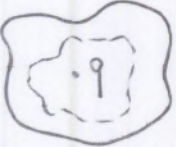


conduttore in equilibrio \rightarrow cariche ferme
 $\vec{E} = 0$

$$V_1 - V_2 = \int_1^2 \vec{E} \cdot d\vec{s} = 0 \rightarrow V_1 = V_2 = V_0 \text{ cost. in ogni punto}$$

SUPERFICIE EQUIPOTENZIALE

\Rightarrow campo elettrostatico \perp alle superficie del conduttore



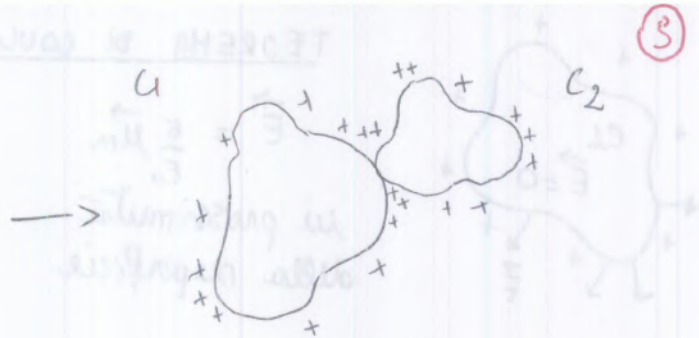
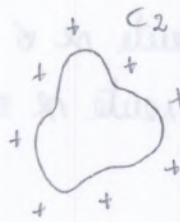
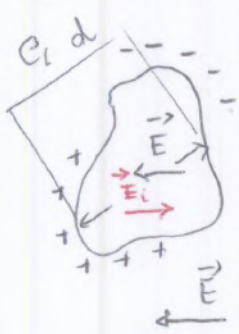
$$\phi(\vec{E}) = \int_{\Sigma_{ch}} \vec{E} \cdot \vec{u}_n \cdot d\Sigma = 0 = \sum_i \frac{q_i}{\epsilon_0} \Rightarrow \sum_i q_i = 0$$

non ci sono cariche all'interno di un conduttore in equilibrio.
 Eventuali cariche si distribuiscono in superficie in modo che $\vec{E}_{int} = 0$, in base al RAGGIO DI CURVATURA



$R_{min} \rightarrow \sigma_{max}$
 $R_{max} \rightarrow \sigma_{min}$

INDUZIONE ELETTROSTATICA



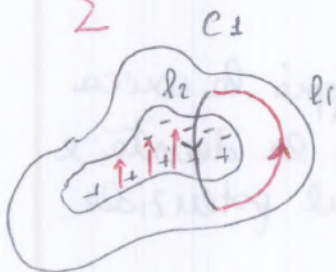
$$\vec{E} + \vec{E}_i = 0$$

$$t = \frac{d}{\epsilon}$$

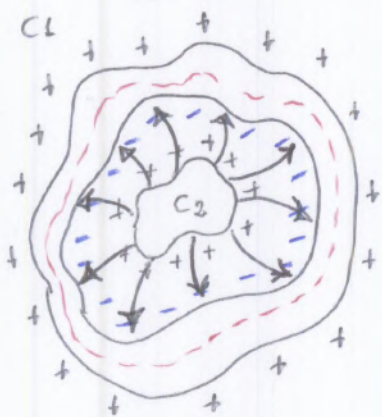
CONDUTTORE CARICO



$$\phi(\vec{E}) = 0 = \sum \frac{q_{int}}{\epsilon_0} = 0$$



$$\oint \vec{E} \cdot d\vec{s} = 0 = \int_{l_1} \vec{E} \cdot d\vec{l} + \int_{l_2} \vec{E} \cdot d\vec{l} = 0$$



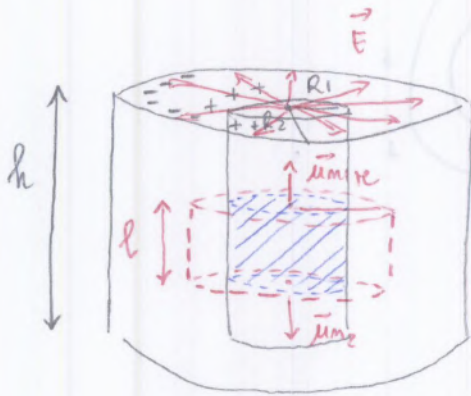
C1 parte di carica
C2 carica

$$\phi(\vec{E}) = 0 = \sum \frac{q_{int}}{\epsilon_0} \Rightarrow \sum q_{int} = 0$$

$$\sum q_{int} = q_{C2} + q_{IND C1} = 0$$

CONDIZIONE DI INDUZIONE ELETTROSTATICA COMPLETA

CAPACITÀ CONDENSATORE CILINDRICO



$$C = \frac{q}{V_1 - V_2}$$

$$\phi(\vec{E}) = \int_{\Sigma} \vec{E} \cdot \vec{\mu}_n \cdot d\Sigma = \frac{q}{\epsilon_0}$$

$$\phi(\vec{E}) = \int_{\Sigma_{\text{base}}} \vec{E} \cdot \vec{\mu}_n \cdot d\Sigma + \int_{\Sigma_{\text{lat}}} \vec{E} \cdot \vec{\mu}_n \cdot d\Sigma = E \cdot 2\pi r l$$

$\rightarrow = 0$

$$q = \sigma \cdot 2\pi R_1 l$$

$$E \cdot 2\pi r l = \frac{\sigma \cdot 2\pi R_1 l}{\epsilon_0} \rightarrow \vec{E} = \frac{\sigma R_1}{\epsilon_0 r} \vec{\mu}_r$$

$$V_1 - V_2 = \int_{R_1}^{R_2} \frac{\sigma R_1}{\epsilon_0 r} dr = \frac{\sigma R_1}{\epsilon_0} \ln\left(\frac{R_2}{R_1}\right)$$

$$C = \frac{q}{V_1 - V_2} = \frac{\sigma \cdot 2\pi R_1 l}{\frac{\sigma R_1}{\epsilon_0} \ln\left(\frac{R_2}{R_1}\right)} = \frac{2\pi \epsilon_0 h}{\ln\left(\frac{R_2}{R_1}\right)}$$

11



CASE DI UN CONDENSATORE

$$\frac{1}{2} = 0 \quad \rho \cdot r = \frac{q}{2} = V$$

$$V_1 = \sigma R_1 + \rho R_1 = 2V$$

$$V_2 = \rho R_2 + \rho R_2 = 2V$$

CONDENSATORE

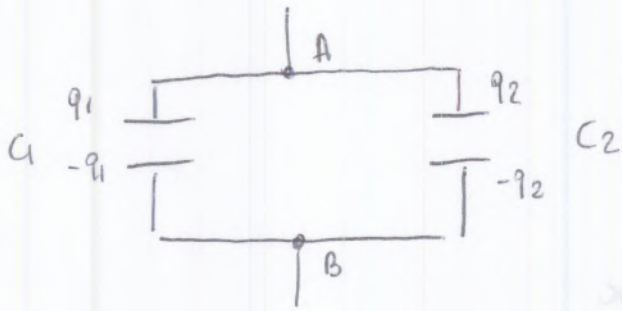
Il sistema di due conduttori in un condensatore cilindrico (R1 < R2)

$$\left\{ \begin{aligned} V_1 = \sigma R_1 + \rho R_1 = 2V \\ V_2 = \rho R_2 + \rho R_2 = 2V \end{aligned} \right.$$

$$V_1 - V_2 = \sigma R_1 - \rho R_2 = 2V - 2V = 0$$

$$C = \frac{q}{V_1 - V_2} = \frac{1}{0} = \infty$$


PARALLELO



$$V_A - V_B = \frac{q_1}{C_1} = \frac{q_2}{C_2}$$

$$q_1 = C_1 (V_A - V_B)$$

$$q_2 = C_2 (V_A - V_B)$$

$$\underbrace{q_1 + q_2}_q = (V_A - V_B) \underbrace{(C_1 + C_2)}_{C_{eq}}$$

$$C_{eq} = \frac{q}{V_A - V_B} = C_1 + C_2$$

$$C_{eq} = \sum_{i=1}^n C_i \rightarrow C_{eq} > C_i$$

ENERGIA DEL CAMPO ELETTROSTATICO

Calcola l'energia necessaria a caricare un condensatore



$$dW = dq' V'$$

$$W = \int_0^q dq' V' = \int_0^q dq' \frac{q'}{C} = \frac{1}{C} \int_0^q q' dq' =$$

$$V' = \frac{q'}{C} < V_f \Rightarrow W = \frac{1}{2} \frac{q^2}{C} = \frac{1}{2} C V^2 = \frac{1}{2} q V$$

$$W = \frac{1}{2} \frac{q^2}{C} = \frac{1}{2} C V^2 = \frac{1}{2} q V = U_e$$

Per un condensatore piano:

$$C = \frac{\epsilon_0 \Sigma}{d}$$

$$W = \frac{1}{2} \epsilon_0 \frac{\Sigma}{d} \frac{E^2}{\epsilon_0^2} d^2 = \frac{1}{2} \frac{E^2}{\epsilon_0^2} \epsilon_0 \Sigma d = \frac{1}{2} \epsilon_0 E^2 Vol = U_e$$

$$u_e = \frac{1}{2} \epsilon_0 E^2$$

DIELETTRICO OMOGENEO ISOTROPO

(15)

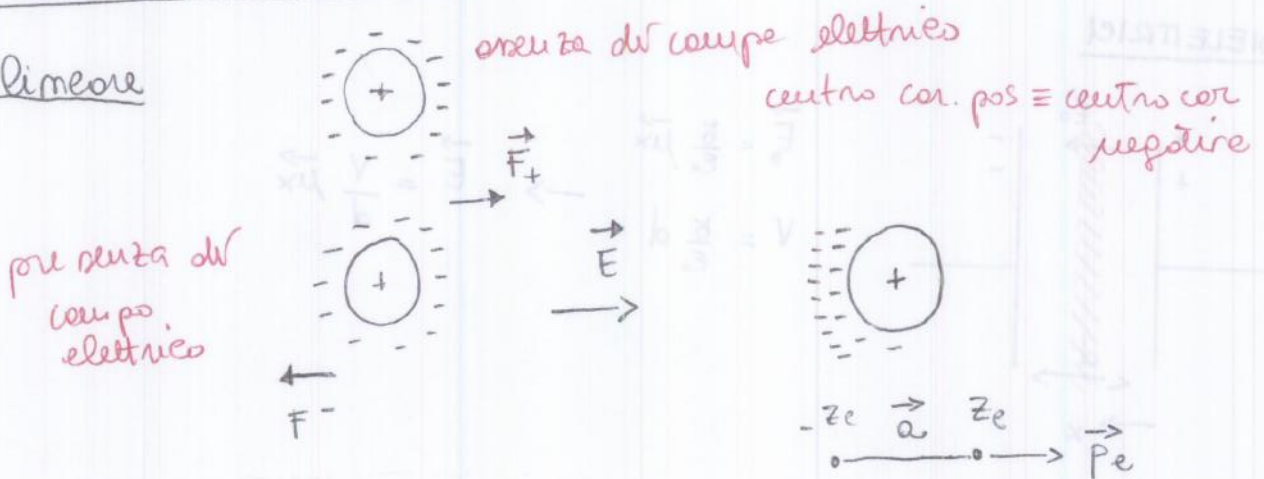
Ha le stesse prop. in ogni punto, indep. dalle direz. in cui misuriamo il materiale

$\epsilon_0 \rightarrow \epsilon_0 k = \epsilon \rightarrow$ cost. dielet. assoluta del materiale dipende dal sistema di misura e dalle prop. del materiale

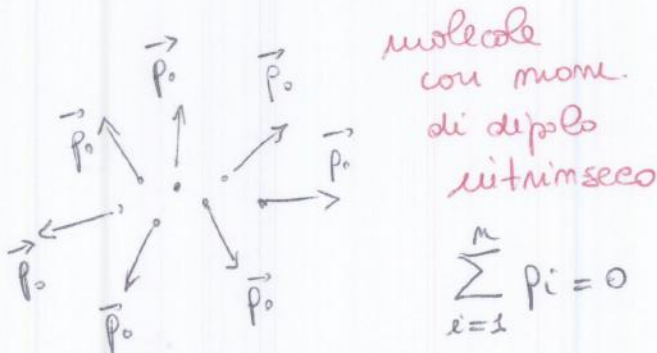
$$\vec{E} = \frac{q}{4\pi\epsilon_0 r^2} \vec{r} \rightarrow \vec{E} = \frac{q}{4\pi\epsilon_0 k r^2} \vec{r}$$

POLARIZZAZIONE NEI DIELETTRICI

• Pol. lineare



• Pol. per orientamento



In presenza di campo elettrico:

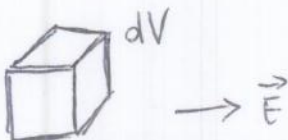
N molecole \rightarrow N' orientate $\parallel \vec{E}$

\rightarrow N'' non orientate per agitazione termica

> temp
< pol. per orientam.

$$d\vec{p} = N' \vec{p}_0 = N \langle \vec{p} \rangle$$

sia \vec{p} per pol. elettronica
 \downarrow
 \vec{p} per pol. orientamento



$$d\vec{p} = N \vec{p} \rightarrow \vec{P} = \frac{d\vec{p}}{dV} = \frac{dN}{dV} \vec{p}$$

POLARIZZAZIONE

Se una delle forze non è // a \vec{P} :

17



$$\sigma_p = \vec{P} \cdot \vec{n} = P \cos \theta$$

$0 < \theta < \frac{\pi}{2} \rightarrow \sigma_p$ POSITIVA

$\frac{\pi}{2} < \theta < \pi \rightarrow \sigma_p$ NEGATIVA

$\theta = \frac{\pi}{2} \rightarrow \sigma_p = 0!$

Se \vec{P} non uniforme ($\vec{P} \neq \text{cost}$)

NO COMPENSAZIONE!

interno: $\rho_p = -\text{div} \vec{P}$

esterno: $\sigma_p = \vec{P} \cdot \vec{n}$

ma $\sum q_p = 0 \rightarrow \int_{\Sigma_{\text{die}}} \sigma_p d\Sigma + \int_{V_{\text{die}}} \rho_p dV = 0$

EQUAZIONI GENERALI ELETTROSTATICA

In presenza di dielettrici:

$\oint \vec{E} \cdot d\vec{l} = 0$

$\oint \vec{E} \cdot d\vec{l} = \int_{\Sigma_{\text{ch}}} \text{rot} \vec{E} \cdot \vec{n} d\Sigma = 0 \Rightarrow \text{rot} \vec{E} = 0$ \vec{E} irrotazionale

$\vec{E} = -\text{grad} V$

$\int_{\Sigma_{\text{ch}}} \vec{E} \cdot \vec{n} d\Sigma = \frac{q + q_p}{\epsilon_0} \rightarrow \text{div} \vec{E} = \frac{\rho + \rho_p}{\epsilon_0}$

$\text{div} \vec{E} = \frac{\rho}{\epsilon_0} - \frac{\text{div} \vec{P}}{\epsilon_0} \rightarrow \text{div} (\underbrace{\epsilon_0 \vec{E} + \vec{P}}_{\vec{D}}) = \rho$

$\text{div} \vec{D} = \rho$

\vec{D} induzione dielettrica

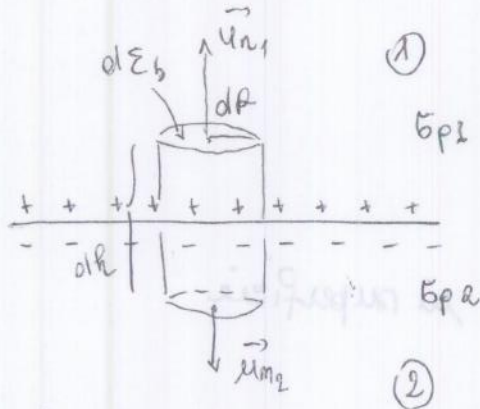
$\int_{\Sigma_{\text{ch}}} \vec{D} \cdot \vec{n} d\Sigma = q_{\text{non pol.}}$

all' int. di un die: $\text{div} \vec{D} = 0 \rightarrow \int_{\Sigma_{\text{ch}}} \vec{D} \cdot \vec{n} d\Sigma = 0$

RIGIDITÀ DIELETRICA

Massimo valore di campo elettrico che il diel. può sopportare rimanendo tale.

DIELETTICI A CONTATTO



$$E_{1t} = E_{2t}$$

$$E_{2n} - E_{1n} = \frac{\sigma}{\epsilon_0}$$

$$d\phi(\vec{D}) = \vec{D}_1 \cdot \vec{u}_{n1} d\Omega + \vec{D}_2 \cdot \vec{u}_{n2} d\Omega +$$

$$\vec{D} \cdot \vec{u}_{nL} d\Omega_L = (D_{1n} - D_{2n}) d\Omega_B = 0$$

$$dh \ll dr$$

$$D_{1n} = D_{2n}$$

$$\vec{D} = \epsilon_0 \vec{E} + \vec{P} \Rightarrow \epsilon_0 E_{1n} + P_{1n} = \epsilon_0 E_{2n} + P_{2n}$$

$$\epsilon_0 (E_{2n} - E_{1n}) = P_{1n} - P_{2n} = \vec{P}_1 \cdot \vec{u}_{n1} - \vec{P}_2 \cdot \vec{u}_{n2} = \sigma_{p1} - \sigma_{p2}$$

$$E_{2n} - E_{1n} = \frac{\sigma_{p1} - \sigma_{p2}}{\epsilon_0}$$

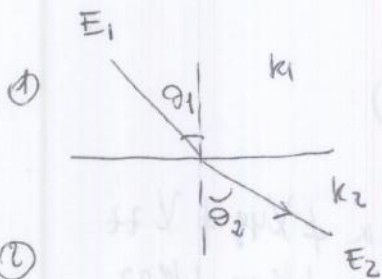
somma algebrica

• Se diel isotropo

$$\vec{D} = \epsilon \vec{E}$$

$$E_{1t} = E_{2t} \Rightarrow \frac{D_{1t}}{\epsilon_1} = \frac{D_{2t}}{\epsilon_2} \Rightarrow \frac{D_{1t}}{k_1} = \frac{D_{2t}}{k_2}$$

$$D_{1n} = D_{2n} \Rightarrow \epsilon_1 E_{1n} = \epsilon_2 E_{2n} \Rightarrow E_{1n} k_1 = E_{2n} k_2$$



$$\left. \begin{aligned} E_1 \sin \theta_1 &= E_2 \sin \theta_2 \\ k_1 E_1 \cos \theta_1 &= k_2 E_2 \cos \theta_2 \end{aligned} \right\}$$

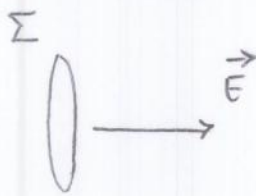
$$\frac{\tan \theta_1}{k_1} = \frac{\tan \theta_2}{k_2}$$

$$\frac{\tan \theta_1}{\tan \theta_2} = \frac{k_1}{k_2}$$

rifrazione delle linee di forza del campo elettrico

$$\text{se } k_1 < k_2 \Rightarrow \theta_1 < \theta_2$$

CARICHE IN MOVIMENTO



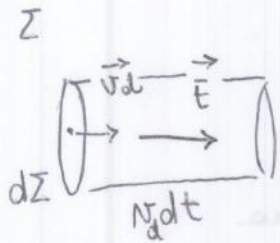
$$\vec{F} = e\vec{E}$$

$v_d = \text{vel. di deriva}$

$$i = \lim_{\Delta t \rightarrow 0} \frac{\Delta q}{\Delta t} = \frac{dq}{dt}$$

$$[i] \rightarrow A = 1C/s$$

$$1C = 1 \cdot A \cdot 1s$$



$$dq = q_{\text{port}} \cdot m \cdot d\Sigma v_d dt$$

$$\text{Se } \vec{v}_d \neq \vec{E} \quad dq = q_{\text{port}} \cdot m \cdot d\Sigma v_d dt \cos\theta$$

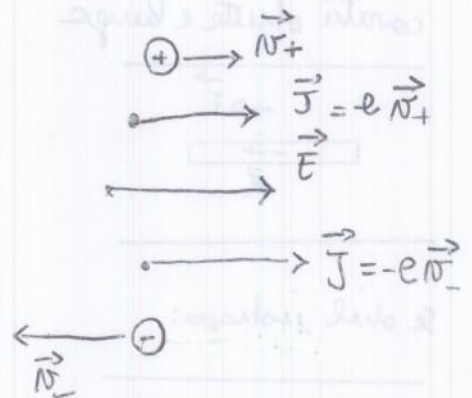
$$di = \frac{dq}{dt} = q_{\text{port}} \cdot m \cdot d\Sigma v_d \cos\theta$$

$\vec{J} = m q_{\text{port}} \vec{v}_d$ densità di corrente
corrente che attraversa l'unità
di superficie perpendicolare al
moto delle cariche

$$\vec{J} \parallel \vec{v}_d \parallel \vec{E} \text{ se } q_{\text{port}} > 0$$

$$\vec{J} \parallel \vec{E}, \vec{v}_d \text{ verso opposto } \vec{E}, q_{\text{port}} < 0$$

$$\vec{J} \text{ sempre } \parallel \vec{E}$$



$$di = J d\Sigma \cos\theta = \vec{J} \cdot \vec{u}_m d\Sigma$$

$$i = \int_{\Sigma} di = \int_{\Sigma} \vec{J} \cdot \vec{u}_m d\Sigma$$

Se \vec{J} uniforme su Σ

$$\vec{u}_m \parallel \vec{J} \Rightarrow i = \int_{\Sigma} J d\Sigma = J \int_{\Sigma} d\Sigma = J \Sigma$$

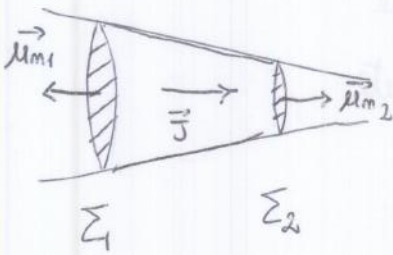
$$i = J \Sigma \rightarrow J = \frac{i}{\Sigma}$$

Se 2 tipi di portatori:

$$\vec{J} = q_+ m_+ \vec{v}_{d+} + q_- m_- \vec{v}_{d-}$$

Applicazione legge stazionaria:

23



$$\phi(\vec{J}) = 0$$

$$\int_{\Sigma_1} \vec{J} \cdot \vec{\mu}_{m1} d\Sigma + \int_{\Sigma_2} \vec{J} \cdot \vec{\mu}_{m2} d\Sigma + \int_{\Sigma_L} \vec{J} \cdot \vec{\mu}_{mL} d\Sigma = 0$$

$$= -i_1 + i_2 = 0$$

$$\Rightarrow \boxed{i_1 = i_2}$$

J uniforme:

$$J_1 = \frac{i_1}{\Sigma_1}, \quad J_2 = \frac{i_2}{\Sigma_2}$$

LEGGE DI OHM

Modello di Drude-Lorentz

reticolo di ioni fissi
elettroni in moto che percorrono una spezzata



v_{TH} = vel. di agitazione termica

l = libero cammino medio (distanza tra due urti successivi)

τ = tempo di libero cammino medio

$$(\tau = \frac{l}{v_{TH}})$$



$$Rv + NRvA$$

$$\vec{F} = -e\vec{E} \Rightarrow \text{ogni elettrone subisce un'accelerazione } \vec{a} = \frac{\vec{F}}{m} = -\frac{e\vec{E}}{m}$$

v_i = vel. elettrone subito dopo un urto

v_{i+1} = vel subito prima dell'urto successivo

$$\vec{v}_{i+1} = \vec{v}_i - \frac{e\vec{E}\tau}{m}$$

① se J unif su Σ

$$J = \frac{i}{\Sigma}$$

$$V_A - V_B = \int_A^B \rho J dl = \int_A^B \rho \frac{i}{\Sigma} dl$$

② se regime stazionario $\rightarrow i = \text{cost}$

$$V_A - V_B = \int_A^B \rho \frac{i}{\Sigma} dl = i \left(\int_A^B \frac{\rho}{\Sigma} dl \right) \rightarrow R = \text{resistenza}$$

se ρ, Σ costanti lungo tutto il conduttore $\Rightarrow R = \frac{\rho l}{\Sigma}$

Im caso stazionario:

$$V_A - V_B = R i$$

• dependenza della resistività dalla temperatura

$$\rho(\text{temp}) = \rho_{20} (1 + \alpha \Delta t_{\text{temp}})$$

\rightarrow Temp $- 20^\circ\text{C}$

\rightarrow coeff. termico

1) METALLI $\alpha > 0 \rightarrow \rho$ aumenta all'aumentare della temp.

Se la temp. cresce \rightarrow cresce $V_{TH} \rightarrow$ aumento volti

AUMENTO ρ

← elettroni si muovono con più difficoltà ←

2) SEMI CONDUTTORE $\alpha < 0 \rightarrow \rho$ diminuisce all'aumentare della temperatura

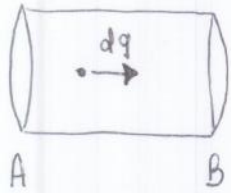
Se la temp. cresce \rightarrow più elettroni passano dalle bande di valenza a quelle di conduzione \rightarrow aumento nr di portatori per unità di volume

3) LEGHE $\alpha \sim 0$

25

Potenza necessaria a far circolare corrente

(27)



$$V_A - V_B = V$$

$$dW = dqV = V i dt$$

$$\text{Se } i = \text{cost} \Rightarrow W = V i t$$

$$P = \frac{dW}{dt} = V \cdot i$$

Se conduttore è ohmico

$$V = Ri \rightarrow dW = Ri^2 dt = \frac{V^2}{R} dt$$

$$P = Ri^2 = \frac{V^2}{R}$$

Volte:

$$P = \vec{F} \cdot \vec{v} = -e \vec{E} \cdot \vec{v} d$$

$$\frac{P_{\text{tot}}}{\text{vol}} = -e (n \vec{v} d) \vec{E} = \vec{j} \cdot \vec{E}$$

↓ n° portatori per
unità di volume

• Se conduttore è Ohmico:

$$\frac{P_{\text{tot}}}{\text{vol}} = \vec{j} \cdot \vec{E} = \rho j^2 = \frac{1}{\sigma} \sigma^2 E^2 = \sigma E^2 = \frac{E^2}{\rho}$$

$$\vec{E} = \rho \vec{j}$$

$$j = \sigma \vec{E}$$

EFFETTO JOULE

Un conduttore percorso da corrente si riscalda a causa degli urti tra gli elettroni.

$$W = V \cdot i t = Ri^2 t = \frac{V^2}{R} t \quad \left\{ \begin{array}{l} \text{se conduttore ohmico} \\ \text{devono derivare per effetto Joule sotto forma di calore} \end{array} \right.$$

devono derivare per effetto Joule sotto forma di calore

$$V_A - V_B + \mathcal{R}_{int} \cdot i = \mathcal{E}$$

(29)

$$V_A - V_B = \mathcal{E} - \mathcal{R}_{int} \cdot i \rightarrow i=0 \Rightarrow V_A - V_B = \mathcal{E}$$

le fem e la ddp nel generatore quando non scorre corrente

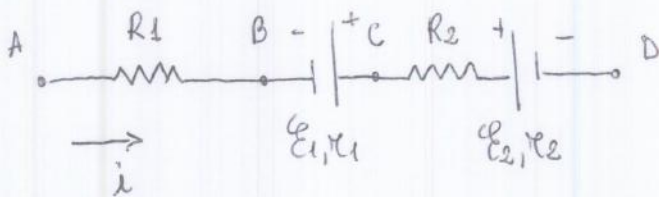
$$\mathcal{R}_{int} = \left(\int_B^A (\vec{E}_{el} + \vec{E}^*) \cdot d\vec{l} \right) \cdot \frac{1}{i}$$

$$\mathcal{E} = \mathcal{R}_{ext} \cdot i + \mathcal{R}_{int} \cdot i$$

$$\mathcal{E} i dt = \underbrace{\mathcal{R}_{ext} i^2 dt}_{\text{in dissipato sulle } R_{ext} \text{ in } dt} + \underbrace{\mathcal{R}_{int} i^2 dt}_{\text{in dissipato sulle } R_{int} \text{ in } dt}$$

$$P = \mathcal{E} i = \mathcal{R}_{ext} i^2 + \mathcal{R}_{int} i^2$$

Consideriamo ora un tratto di circuito:



$$V_A - V_B = R_1 i \quad \swarrow \text{generatore}$$

$$V_B - V_C + \mathcal{E}_1 = \mathcal{R}_1 i$$

$$V_C - V_D - \mathcal{E}_2 = (R_2 + \mathcal{R}_2) i$$

↳ utilizzatore

$$\mathcal{E}_1 - \mathcal{E}_2 - V_A - V_D = (R_1 + R_2 + \mathcal{R}_1 + \mathcal{R}_2) i$$

$$\Rightarrow \boxed{V_A - V_D + \sum_i \mathcal{E}_i = R_{TOT} \cdot i}$$

legge di ohm generalizzata

1°) NO GENERATORI:

$$\boxed{V_A - V_D = R_{TOT} i}$$

2°) A=D → CIRCUITO CHIUSO

$$\Rightarrow V_A - V_D = 0 \Rightarrow$$

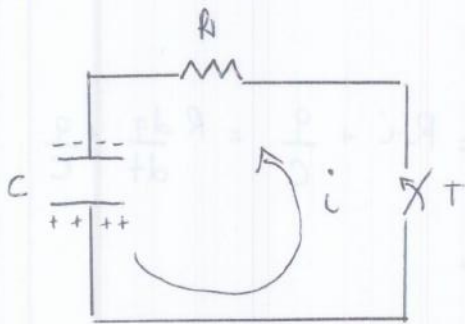
$$\boxed{\sum_i \mathcal{E}_i = R_{TOT} i}$$

$$\int_0^{\infty} i^2 R dt = \int_0^{\infty} \frac{\mathcal{E}^2}{R} e^{-2t/RC} dt = \frac{\mathcal{E}^2}{R} \left(-\frac{1}{2}RC\right) \left[e^{-2t/RC} \right]_0^{\infty} = \frac{\mathcal{E}^2 C}{2}$$

31

metà lavoro del generatore è diss. nella resistenza

• processo di scarica



$t=0$, T chiuso

$$i = 0$$

$$q = q_0 = C\mathcal{E}$$

$$V_R + V_C = 0$$

$$Ri + \frac{q}{C} = 0 \rightarrow R \frac{dq}{dt} + \frac{q}{C} = 0 \rightarrow R \frac{dq}{dt} = -\frac{q}{C}$$

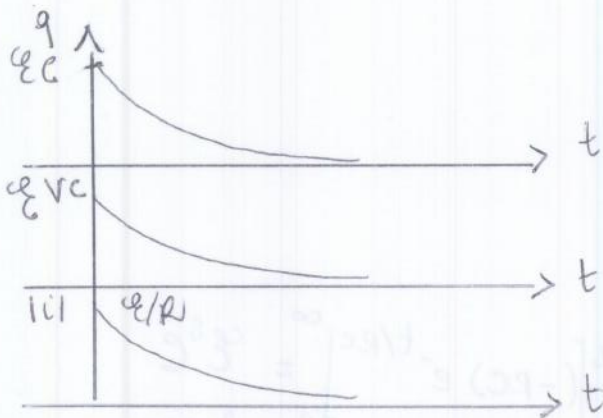
$$\int_{q_0}^q \frac{dq}{q} = -\int_0^t \frac{1}{RC} dt$$

$$\ln\left(\frac{q}{q_0}\right) = -\frac{t}{RC} \rightarrow q = q_0 e^{-t/RC} = C\mathcal{E} e^{-t/RC}$$

$$V_C = \frac{q}{C} = \mathcal{E} e^{-t/RC}$$

$$i = \frac{dq}{dt} = -C\mathcal{E} \frac{1}{RC} e^{-t/RC} = -\frac{C\mathcal{E}}{R} e^{-t/RC}$$

la corrente circola in senso opposto a precedente

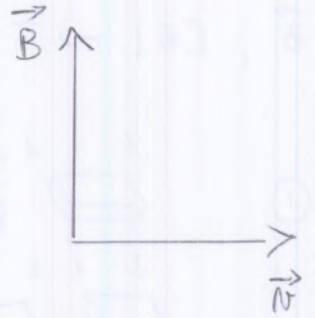


FORZA DI LORENTZ

33

$$\vec{F}_L = q\vec{v} \times \vec{B}$$

$q > 0$ F_L esce del piano individuato da \vec{v}, \vec{B}
 $q < 0$ F_L entra



$$F_L = qvB \sin \theta$$

$$W = \int \vec{F}_L \cdot d\vec{s} = \int \underbrace{\vec{F}_L \cdot \vec{v}}_{\vec{F}_L \perp \vec{v}} dt = 0$$

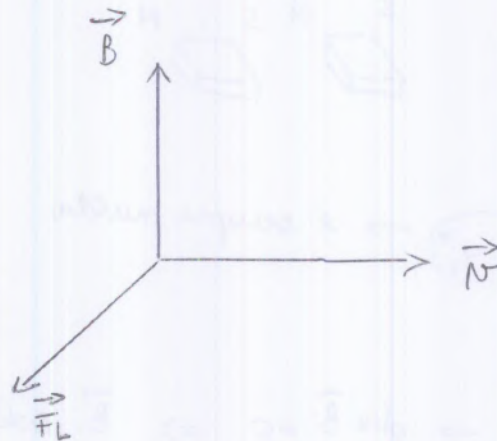
le forze di Lorentz non compie lavoro

$W = 0 = E_{kf} - E_{ki} \rightarrow v_f = v_i$ le F_L non varia il modulo della velocità, ma cambia la direzione e il verso

• \vec{B} unif, $\vec{B} \perp \vec{v}$

$$F_L = qvB$$

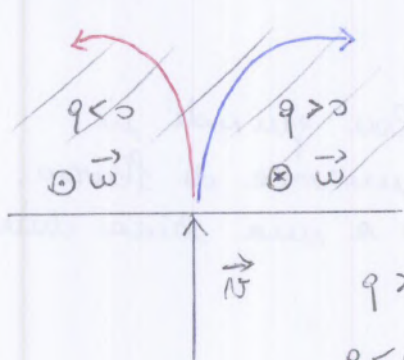
la traiettoria descritta da una particella carica su un piano perpendicolare a \vec{B} .



$$F_L = qvB = m \frac{v^2}{r} \rightarrow r = \frac{mv}{qB} = \text{cost}$$

la particella carica descrive una circonferenza su un piano $\perp \vec{B}$.

• Verso di percorrenza?



• \vec{B} (unif)

$q > 0 \rightarrow \vec{\omega}$ entrante
 $q < 0 \rightarrow \vec{\omega}$ uscente

$$\vec{F}_L = q\vec{v} \times \vec{B} = m\vec{\omega} \times \vec{v}$$

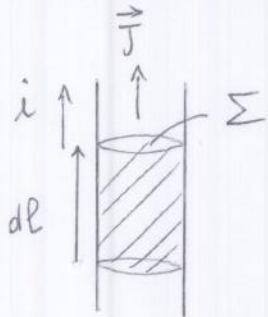
$$\vec{v} \times q\vec{B} = \vec{v} \times (-m)\vec{\omega}$$

$$q\vec{B} = -m\vec{\omega}$$

$$\vec{\omega} = -\frac{q}{m}\vec{B}$$

Un conduttore immerso in un campo magnetico, percorso da corrente, è soggetto a una forza che lo può spostare o deformare.
 In genere parleremo di CONDUTTORI RIGIDI → INDEFORMABILI 35

SECONDA FORMULA DI LAPLACE



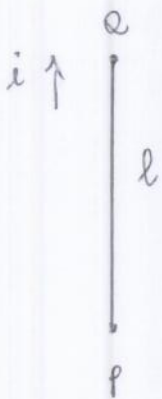
$$d\vec{F} = \vec{F}_L|_{vol} dV = \vec{F}_L|_{vol} d\Sigma = \vec{J} \times \vec{B} d\Sigma =$$

$$= \vec{J} d\vec{l} \times \vec{B} \Sigma = \frac{i}{\Sigma} d\vec{l} \times \vec{B} \Sigma$$

$$d\vec{F} = i d\vec{l} \times \vec{B}$$

$$\vec{J} = \text{cost}$$

$$J = i / \Sigma$$

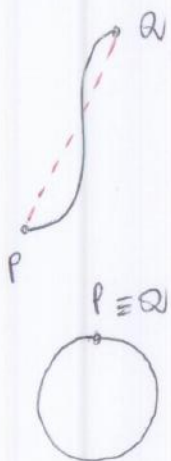


$$\vec{F} = \int d\vec{F} = \int_l i d\vec{l} \times \vec{B}$$

- se $i = \text{cost} \rightarrow i \int_l d\vec{l} \times \vec{B}$

- se $i = \text{cost} + \vec{B} \text{ unif} \rightarrow i \left(\int_l d\vec{l} \right) \times \vec{B} = i \vec{l} \times \vec{B}$

In generale la forza su un filo che giace in un piano e immerso in un campo magnetico uniforme **NON DIPENDE** dalla forma del filo, ma solo dei punti iniziale e finale.



$$\vec{F} = \int i d\vec{l} \times \vec{B} = i \vec{PQ} \times \vec{B}$$

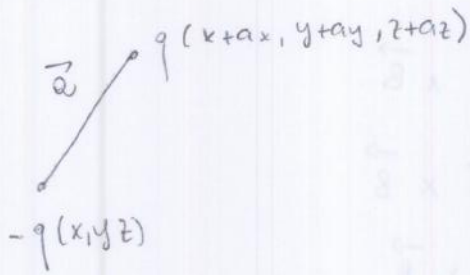
$$\vec{F} = i \vec{PQ} \times \vec{B} = 0$$

Se il filo giace su un piano e forma un circuito CHIUSO, la forza risulta nulla.

$$\vec{M}_e = \vec{b} \times \vec{F} = \vec{b} q \times \vec{E} = \vec{p} \times \vec{E}$$

(37)

$$\vec{M}_b = \vec{m} \times \vec{B}$$



$$U_e = qV(x+ax, y+ay, z+az) - qV(x, y, z) =$$

$$= q \left(V(x, y, z) + \frac{\partial V}{\partial x} ax + \frac{\partial V}{\partial y} ay + \frac{\partial V}{\partial z} az - V(x, y, z) \right) =$$

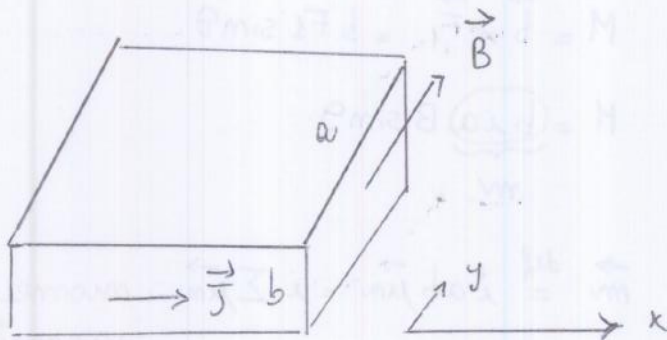
$$= \vec{p} \cdot \text{grad} V = -\vec{p} \cdot \vec{E}$$

$$U_e = -\vec{p} \cdot \vec{E}$$

$$U_m = -\vec{m} \cdot \vec{B} \rightarrow U_m = -mB \cos \theta$$

$\nearrow \theta = 0^\circ \Rightarrow U_m \text{ MINIMA}$
 $\searrow \theta = 180^\circ \Rightarrow U_m \text{ MASSIMA}$

EFFETTO HALL

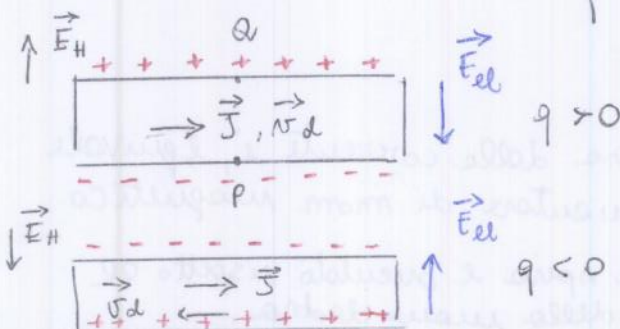


Su ciascun portatore agisce la forza di Lorentz:

$$\vec{F}_L = q \vec{v}_d \times \vec{B}$$

la struttura delle formule mostra che sulla carica q agisce una forza F NON ELETTROSTATICA, pertanto definiamo un corpo elettromotore

Corpo di Hall $\rightarrow \vec{E}_H = \frac{\vec{F}_L}{q} = \vec{v}_d \times \vec{B}$

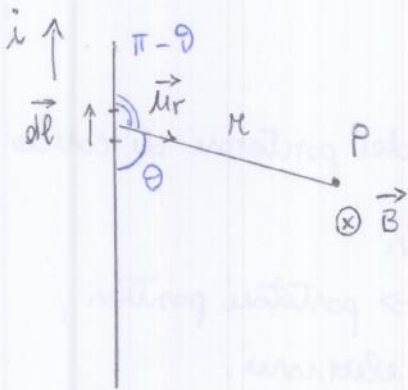


Il campo \vec{E}_H provoca una deflessione nel moto delle cariche aggiungendo una componente trasversale alle \vec{v}_d e provocando un accumulo di cariche di segno opposto sulle facce ortogonali alla direzione di \vec{E}_H .

$$d\vec{B} = \frac{\mu_0}{4\pi} \frac{\vec{J} \times \vec{r}}{r^2} dV$$

$$\vec{B} = \int_{vol} d\vec{B} = \frac{\mu_0}{4\pi} \int_{vol} \frac{\vec{J} \times \vec{r}}{r^2} dV$$

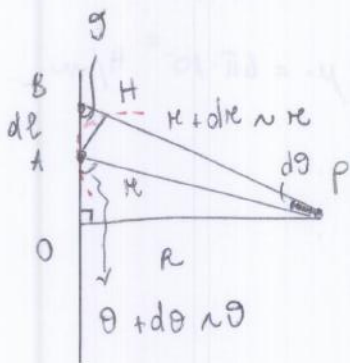
LEGGE DI BIOT-SAVART



$$\begin{aligned} d\vec{B} &= \frac{\mu_0}{4\pi} i \frac{d\vec{l} \times \vec{r}}{r^2} = \\ &= \frac{\mu_0}{4\pi} i \frac{dl \sin(\pi - \theta) \vec{\mu}_\phi}{r^2} = \\ &= \frac{\mu_0}{4\pi} i \frac{dl \sin \theta \vec{\mu}_\phi}{r^2} \end{aligned}$$

$$\vec{B} = \int d\vec{B} = i \frac{\mu_0}{4\pi} \left(\int \frac{dl \sin \theta}{r^2} \right) \vec{\mu}_\phi$$

troppe cose che variano!



$$\overline{AH} = dl \sin \theta \rightarrow dl = \frac{\overline{AH}}{\sin \theta}$$

$$\widehat{AH} = r d\theta$$

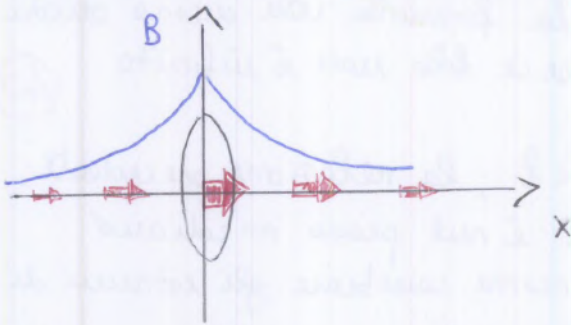
$$\overline{AH} \sim \widehat{AH} \Rightarrow dl = \frac{r d\theta}{\sin \theta}$$

$$r = \frac{R}{\sin \theta} \rightarrow \boxed{dl = \frac{R d\theta}{\sin^2 \theta}}$$

$$\vec{B} = \frac{\mu_0}{4\pi} i \left(\int \frac{R d\theta}{\sin^2 \theta} \cdot \frac{\sin \theta}{R} \sin^2 \theta \right) \vec{\mu}_\phi = \frac{2\mu_0}{4\pi R} i \left(\int_0^{\pi/2} \sin \theta d\theta \right) \vec{\mu}_\phi =$$

$$= \frac{\mu_0}{2\pi R} i \cos \theta \Big|_{\pi/2}^0 \vec{\mu}_\phi = \frac{\mu_0 i}{2\pi R} \vec{\mu}_\phi$$

$$\vec{B} = \frac{\mu_0 i}{2\pi R} \vec{\mu}_\phi = \frac{\mu_0 i}{2\pi R} \vec{dl} \times \vec{r}$$



Il campo ha sempre lo stesso verso

Cosa succede a grande distanza dalla spira?

$$x \gg R$$

$$\vec{B} = \frac{\mu_0}{4\pi} \left(\frac{i \pi R^2}{x^3} \vec{\mu}_x \right) \quad m \vec{\mu}_m = \vec{m}$$

$$\vec{B} = \frac{\mu_0}{4\pi} \frac{2\vec{m}}{x^3} \quad \text{analogo al campo elettrico generato da un dipolo sul proprio asse}$$

$$\vec{E} = \frac{1}{4\pi \epsilon_0} [3(\vec{p} \cdot \vec{\mu}_r) \vec{\mu}_r - \vec{p}] \quad \text{ma } \vec{p} \parallel \vec{\mu}_r$$

$$\vec{E} = \frac{1}{4\pi \epsilon_0} [3\vec{p} - \vec{p}] = \frac{1}{4\pi \epsilon_0} \frac{2\vec{p}}{r^3}$$

Analogamente:

$$\vec{B} = \frac{\mu_0}{4\pi r^3} [3(\vec{m} \cdot \vec{\mu}_r) \vec{\mu}_r - \vec{m}]$$

Valgono formule analoghe a quelle dei dipoli.

$$U_m = -\vec{m} \cdot \vec{B}$$

$$M = \vec{m} \times \vec{B}$$

In generale:

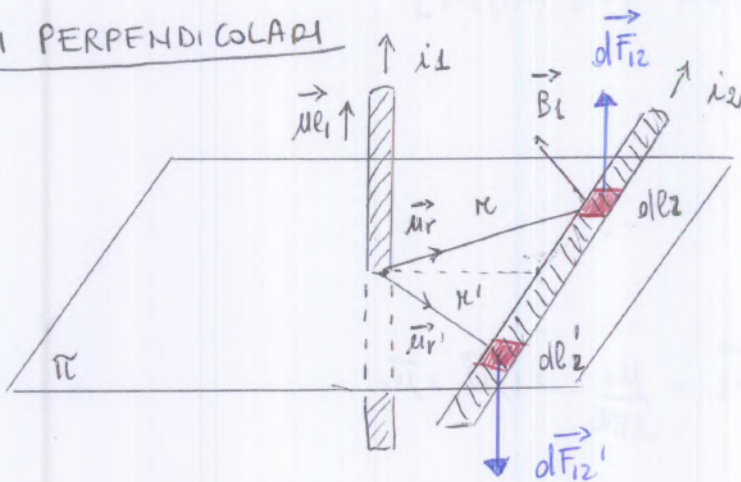
$\left\{ \begin{array}{l} \text{CONCORDI} \rightarrow f. \text{ attrattiva} \\ \text{DISCORDI} \rightarrow f. \text{ repulsiva} \end{array} \right.$

Definiamo corrente di intensità 1 A quella che uncolando in due fili rettilinei paralleli posti alla distanza di 1 m, dà luogo ad una forza $F = \frac{\mu_0}{2\pi} = 2 \cdot 10^{-7} \text{ N}$ per metro di ciascun conduttore.

$$\mu_0 = 4\pi \cdot 10^{-7} \text{ N/m}$$

$$\epsilon_0 \mu_0 = \frac{1}{c^2} \rightarrow \epsilon_0 = 8.85 \cdot 10^{-12} \text{ F/m}$$

FILI PERPENDICOLARI



$$\vec{B}_1 = \frac{\mu_0}{2\pi} \frac{i_1}{r} \vec{\mu}_{e1} \times \vec{\mu}_r$$

$$\vec{B}_1' = \frac{\mu_0}{2\pi} \frac{i_1'}{r'} \vec{\mu}_{e1} \times \vec{\mu}_{r'}$$

$$d\vec{F}_{12} = i_2 d\vec{l}_2 \times \vec{B}_1 = \frac{\mu_0}{2\pi} \frac{i_1 i_2}{r} [d\vec{l}_2 \times (\vec{\mu}_{e1} \times \vec{\mu}_r)] =$$

$$= \frac{\mu_0}{2\pi} \frac{i_1 i_2}{r} \left[(d\vec{l}_2 \cdot \vec{\mu}_r) \cdot \vec{\mu}_{e1} - (d\vec{l}_2 / \vec{\mu}_{e1}) \cdot \vec{\mu}_r \right]$$

$\downarrow = 0$

$$d\vec{F}_{12} = \frac{\mu_0}{2\pi} \frac{i_1 i_2}{r} dl_2 \cos\theta \vec{\mu}_{e1}$$

LEGGE DI AMPERE

(45)

Vali in regime stazionario

$$\oint_{\Gamma} \vec{B} \cdot d\vec{\ell} = \mu_0 \sum_{i=1}^N i_k \rightarrow \text{segno delle correnti in base al verso di percorrenza rispetto alle linee di circolazione.}$$

Forma integrale

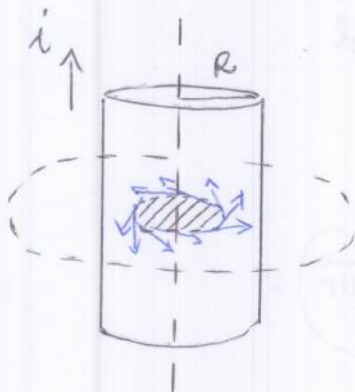
$$\oint_{\Gamma} \vec{B} \cdot d\vec{\ell} = \int_{\Sigma} \text{rot } \vec{B} \cdot \vec{u}_m \cdot d\Sigma$$

$$\mu_0 i_{\text{TOT}} = \mu_0 \int_{\Sigma} \vec{J} \cdot \vec{u}_m \cdot d\Sigma$$

$$\int_{\Sigma} (\text{rot } \vec{B} - \mu_0 \vec{J}) \cdot \vec{u}_m \cdot d\Sigma = 0 \rightarrow \boxed{\text{rot } \vec{B} = \mu_0 \vec{J}} \text{ forma locale}$$

APPLICAZIONI

① Calcolare il valore di \vec{B} a variare delle distanza dall'asse del cavo. Supp. $\mu \sim \mu_0$



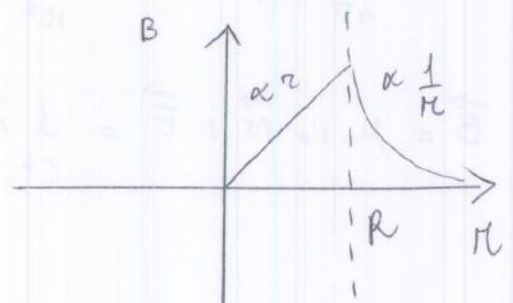
$\cdot \underline{r < R}$

$$\oint \vec{B} \cdot d\vec{\ell} = \mu_0 \sum_i i_m$$

$$B \cdot 2\pi r = \mu_0 i'$$

$$B \cdot 2\pi r = \mu_0 J \pi r^2$$

$$i' = J \Sigma' = J \cdot \pi r^2$$



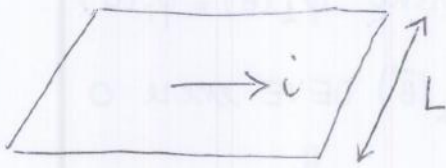
$$\vec{B} = \frac{\mu_0 i r}{2\pi R^2} \vec{u}_\phi = \frac{\mu_0 i}{2\pi R^2} \cdot r \vec{u}_\phi$$

$\cdot \underline{r > R}$

$$\oint \vec{B} \cdot d\vec{\ell} = 2\pi r B = \mu_0 i \rightarrow \vec{B} = \frac{\mu_0 i}{2\pi r} \vec{u}_\phi$$

Un risultato analogo si otterrebbe considerando una lastra percorsa da corrente i , lunghezza L .

(47)

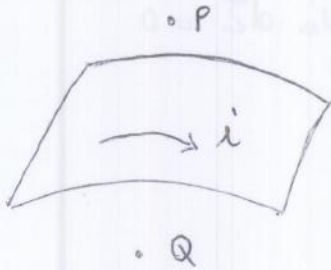


$$\vec{B} (z > 0) = -\frac{\mu_0}{2} J_s \vec{u}_y$$

$$\vec{B} (z < 0) = \frac{\mu_0}{2} J_s \vec{u}_y$$

$$J_s = \frac{i}{L}$$

DISCONTINUITÀ CAMPO MAGNETICO



$J_s \rightarrow$ può variare da punto a punto

$$\vec{B}(P) = \vec{B}_{ext}(P) + \vec{B}_{lastra}(P)$$

$$\vec{B}(Q) = \vec{B}_{ext}(Q) + \vec{B}_{lastra}(Q)$$

$\vec{B}_{ext}(P) = \vec{B}_{ext}(Q) \Rightarrow$ non ne tengo conto nelle discontinuità

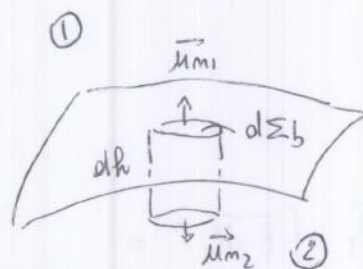
Componente tangenziale:

$$\vec{B}(P) = -\frac{\mu_0}{2} J_s \vec{u}_y$$

$$\vec{B}(Q) = \frac{\mu_0}{2} J_s \vec{u}_y$$

$$|\Delta B_t| = |\vec{B}(P) - \vec{B}(Q)| = \mu_0 J_s \vec{u}_y$$

Componente normale:



$dh \ll dR$

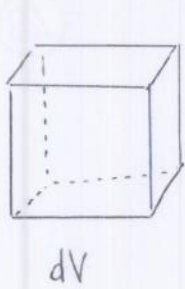
$$d\phi(\vec{B}) = 0$$

$$\vec{B} \cdot \vec{u}_{m1} d\Sigma_b + \vec{B} \cdot \vec{u}_{m2} d\Sigma_b + \vec{B} \cdot \vec{u}_L d\Sigma_L = 0$$

$\hookrightarrow = 0$

$$(B_{1m} - B_{2m}) d\Sigma_b = 0$$

$$B_{1m} = B_{2m}$$



$$\langle \vec{m} \rangle$$

$$d\vec{m} = \langle \vec{m} \rangle dN$$

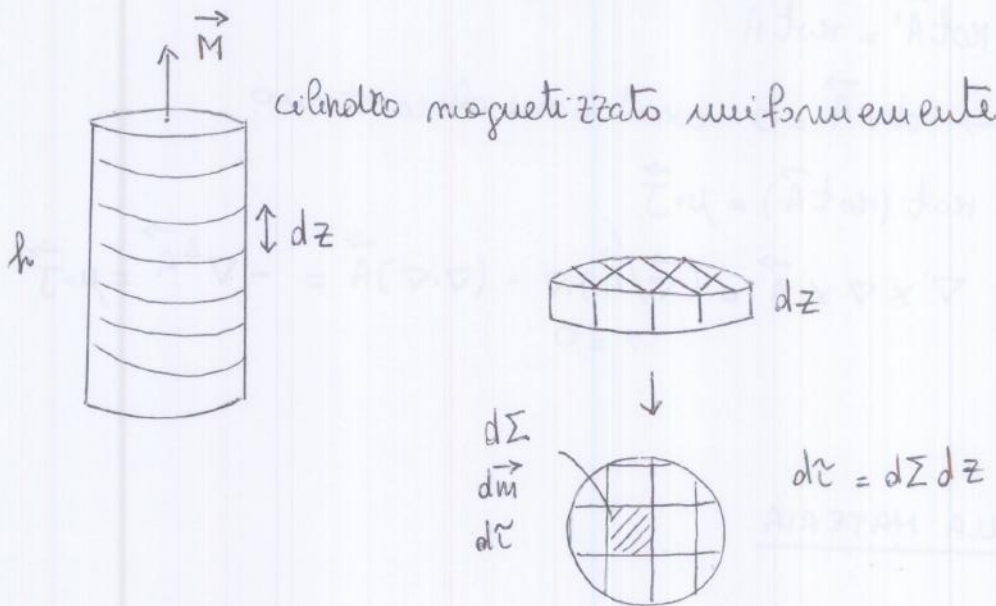
(49)

↳ mom. magnetico medio

$$\frac{d\vec{m}}{dV} = \langle \vec{m} \rangle \frac{dN}{dV} = \vec{M} \rightarrow \text{MAGNETIZZAZIONE}$$

Sotto l'azione di un campo magnetico, tutti gli atomi e le molecole acquistano un mom. magnetico medio $\langle \vec{m} \rangle$.

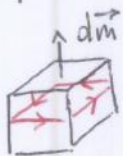
$$\vec{M} = \frac{d\vec{m}}{dV} = \langle \vec{m} \rangle n \rightarrow n = n^{\circ} \text{ di particelle per unit\`a di volume}$$



$$\frac{d\vec{m}}{dV} = \vec{M} \rightarrow d\vec{m} = \vec{M} d\Sigma dz = M d\Sigma dz \vec{\mu}_z$$

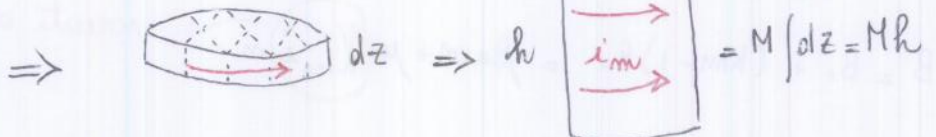
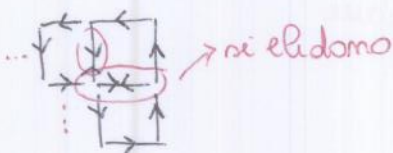
Per il principio di equivalenza spine-dipolo, il prisma \u00e8 equivalente ad una spine, percorsa dalla corrente di.

$$d\vec{m}_{\text{spine}} = di d\Sigma \vec{\mu}_z$$



$$\left. \begin{aligned} d\vec{m} &= M d\Sigma dz \vec{\mu}_z \\ d\vec{m} &= di d\Sigma \vec{\mu}_z \end{aligned} \right\} \rightarrow M d\Sigma dz = di d\Sigma \Rightarrow \boxed{di = M dz}$$

due spine adiacenti:



$$i_m = \int di_m = M \int dz = Mh$$

equazione di Bloch dei materiali magnetizzati

$$\begin{cases} \vec{M} = \chi_m \vec{H} \\ \vec{B} = \mu_0 (\vec{H} + \vec{M}) = \mu_0 \kappa_m \vec{H} = \mu \vec{H} \end{cases}$$

• Ogni atomo è cost. da:

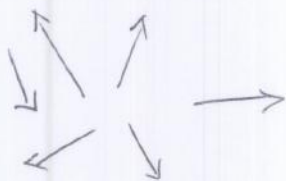
$$\left. \begin{aligned} \vec{m}_l &= \text{mom. magnetico orbitale} \\ \vec{m}_s &= \text{mom. magnetico di spin} \end{aligned} \right\} \vec{m}_j \text{ mom. magnetico totale dell'atomo}$$

① DIAMAGNETICI $\rightarrow \vec{m}_j = 0$

Se mi muovo in un campo magnetico, il moto degli elettroni viene perturbato e compare un debole mom. magnetico $\langle \vec{m} \rangle$ che si oppone al campo esterno

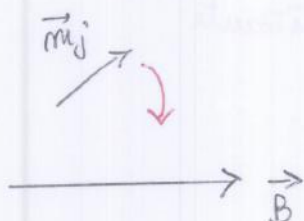
$$\left. \begin{aligned} \langle \vec{m} \rangle &\propto -\vec{B}_{loc} \\ \vec{M}_{loc} &\propto -\vec{B}_{loc} \end{aligned} \right\} \text{ punto per punto} \quad \left\{ \begin{aligned} \chi_m &< 0 \\ \kappa_m &< 1 \end{aligned} \right.$$

② PARAMAGNETICI $\rightarrow \vec{m}_j \neq 0$ (mom. magnetico intrinseco)



$$\begin{aligned} \langle \vec{m} \rangle &= 0 \\ \vec{M} &= 0 \end{aligned}$$

Sto cond. normale, senza campo magnetico esterno



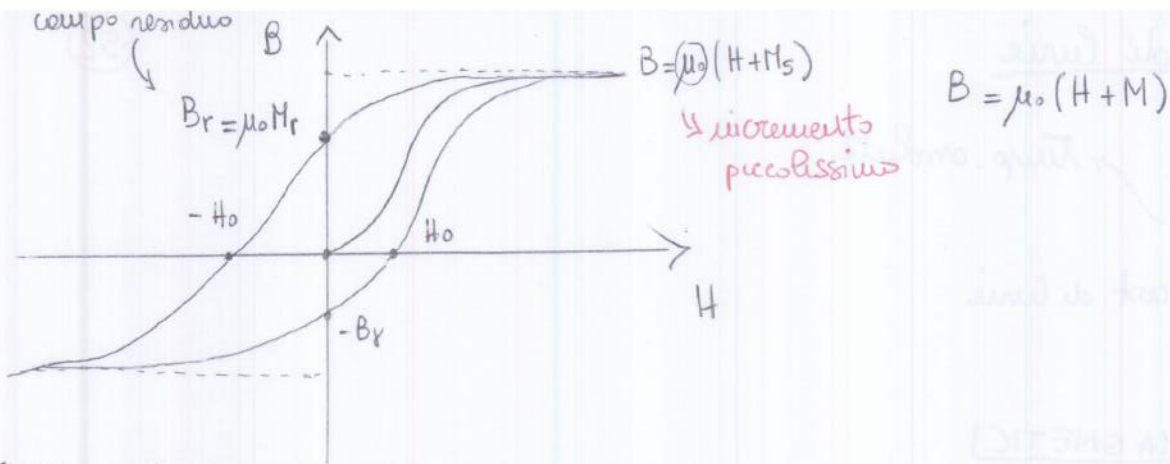
$$\vec{M}_{loc} \propto \vec{B}_{loc}$$

all'equilibrio:

$$N = N_1 \text{ allineati} + N_2 \text{ non allineati}$$

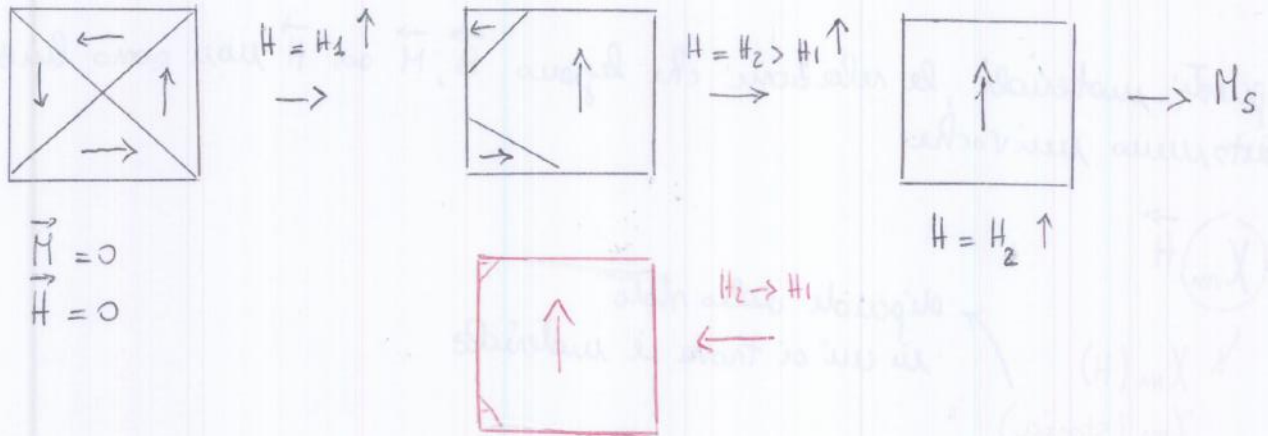
$$\langle \vec{m} \rangle N = \vec{m}_j N_1 \text{ allineati}$$

$$\left\{ \begin{aligned} \chi_m &> 1 \\ \kappa_m &> 0 \end{aligned} \right.$$



Tutti i valori di B all'interno del ciclo di isteresi sono raggiungibili scegliendo la storia adatta per ottenerli

• Da cosa dipende tale comportamento?



Concedendo se diminuire H , le pareti di Bloch devono uscire un tratto al distacco che fa sì che a parità di H , i domini orientati parallelamente ad esso siano più grandi al processo di ritorno risp. al processo di andata.

Con ciò spieghiamo l'isteresi magnetica

Il ciclo di isteresi diminuisce all'aumentare di T

Per $T = T_{curie} \rightarrow$ materiale paramagnetico

Come magnetizzare un materiale?
 Come lo riporta alle condizioni $M = B = 0$?

- ① SCALDANDO OLTRE LA TEMP. DI CURIE
 Se $T > T_c \rightarrow$ materiale paramagnetico

DISCONTINUITÀ TRA DUE MEZZI CON PROPRIETÀ MAGNETICHE DIVERSE

55

$$\begin{cases} |\Delta B_t| = \frac{\mu_0}{2} J_s + \frac{\mu_0}{2} J_s = \mu_0 J_s \\ B_{1m} = B_{2m} \end{cases}$$

nel caso in cui la sep. è sede di correnti di conduzione

$$\begin{cases} |\Delta B_t| = \mu_0 (J_{s,m1} + J_{s,m2}) \\ B_{1m} = B_{2m} \end{cases}$$

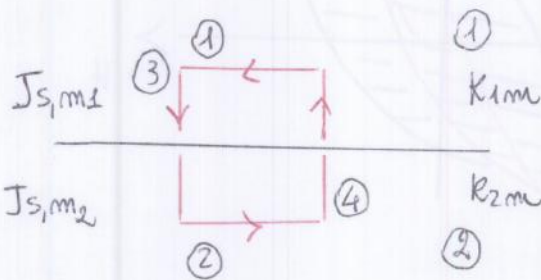
nel caso in questione

$$B_{1m} = B_{2m} \implies \mu_0 k_{2m} H_{1m} = \mu_0 k_{1m} H_{2m} \rightarrow k_{1m} H_{1m} = k_{2m} H_{2m}$$

o vale $\vec{B} = \mu \vec{H}$

$$\boxed{\frac{H_{1m}}{H_{2m}} = \frac{k_{2m}}{k_{1m}}}$$

discontinuità componente normale di \vec{H}



$$\oint \vec{H} \cdot d\vec{l} = i = 0$$

$$H_1 dl_1 + H_2 dl_2 + H_3 dl_3 + H_4 dl_4 = 0$$

$\begin{matrix} \parallel \vec{H}_1 \\ -dl_1 \end{matrix} \quad \begin{matrix} \parallel \vec{H}_2 \\ dl_2 \end{matrix} \quad \begin{matrix} \perp \vec{H}_3 \\ dl_3 \end{matrix} \quad \begin{matrix} \perp \vec{H}_4 \\ dl_4 \end{matrix}$

$$dl_3, dl_4 \ll dl_1, dl_2$$

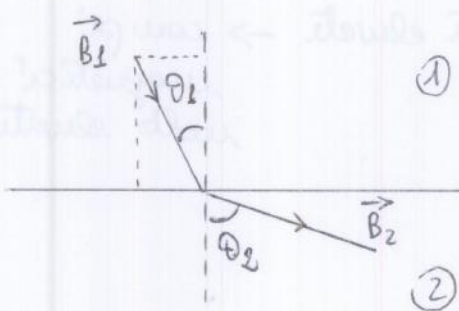
$$(H_{1t} - H_{2t}) dl_1 = 0$$

$$\boxed{H_{1t} = H_{2t}}$$

si conserva la componente tangenziale

$$\frac{H_{1m}}{H_{2m}} = \frac{k_{2m}}{k_{1m}}$$

$$H_{1t} = H_{2t} \xrightarrow{\text{o vale } \vec{B} = \mu \vec{H}} \frac{B_{1t}}{k_{1m}} = \frac{B_{2t}}{k_{2m}} \rightarrow \boxed{\frac{B_{1t}}{B_{2t}} = \frac{k_{1m}}{k_{2m}}}$$



$$\text{tg } \theta_1 = \frac{B_{1t}}{B_{1m}}$$

$$\text{tg } \theta_2 = \frac{B_{2t}}{B_{2m}}$$

$$\rightarrow \frac{\text{tg } \theta_1}{\text{tg } \theta_2} = \frac{B_{1t}}{B_{1m}} \cdot \frac{B_{2m}}{B_{2t}} = \frac{B_{1t}}{B_{2t}}$$

$$\boxed{\frac{\text{tg } \theta_1}{\text{tg } \theta_2} = \frac{B_{1t}}{B_{2t}} = \frac{k_{1m}}{k_{2m}}}$$

legge di rifrazione luce di forza del campo magnetico

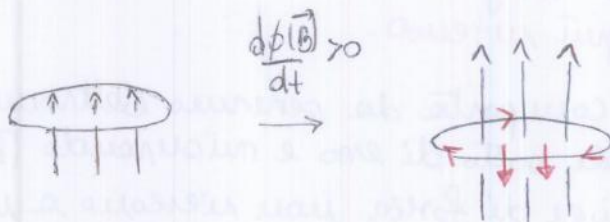
La variazione del flusso magnetico concatenato con una linea chiusa γ , dà origine a un campo elettrico indotto \vec{E}_i , la cui circuizione è pari all'opposto della derivata temporale del flusso di \vec{B} .

(57)

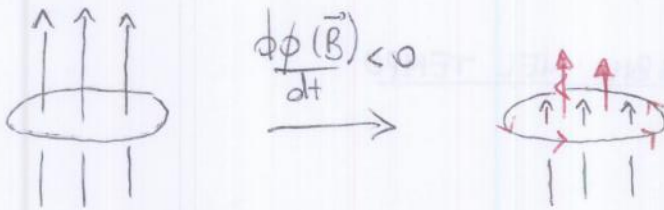
LA LINEA CHIUSA NON DEVE PER FORZA ESSERE UN CIRCUITO!

Legge di Lenz

L'effetto dello scudo indotto generato dalle variazioni di flusso è tale da opporsi alle cause che l'ha generato



Le correnti indotte in questo caso circolano in modo da generare un auto flusso che si oppone all'aumento di ϕ , in modo che il flusso complessivo cresce più lentamente.



Legge di Faraday in forma locale

$$\oint \vec{E}_i \cdot d\vec{s} = - \frac{d}{dt} \int_{\Sigma} \vec{B} \cdot \vec{u}_m \cdot d\Sigma$$

$$\int_{\Sigma} \text{rot } \vec{E}_i \cdot \vec{u}_m \cdot d\Sigma = - \int_{\Sigma} \frac{d\vec{B}}{dt} \cdot \vec{u}_m \cdot d\Sigma$$

$$\int_{\Sigma} \left(\text{rot } (\vec{E}_i) + \frac{d\vec{B}}{dt} \right) \cdot \vec{u}_m \cdot d\Sigma = 0 \iff \boxed{\text{rot } \vec{E}_i = - \frac{d\vec{B}}{dt}}$$

in generale:

$$\text{rot } \vec{E}_i = - \frac{\partial \vec{B}}{\partial t}$$

- 3) Circuito fisso rigido, sorgenti di \vec{B} in moto
- 4) Circuito fisso rigido, sorgenti di \vec{B} fisse, alterazione delle linee di forza di \vec{B} (ad esempio avvicinando un materiale ferromagnetico)
- 5) Circuito fisso rigido, sorgenti di \vec{B} fisse, no modifiche linee di campo, ma $\vec{B}(t) \neq \text{cost}$ a causa delle variazioni temporali delle correnti che lo genera

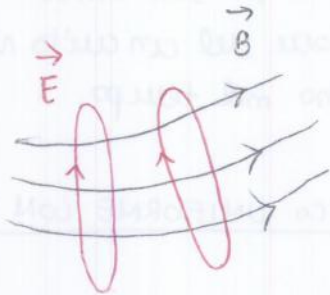
Per questo caso abbiamo agito sul campo magnetico, non toccando il circuito.

Correnti di Foucault

Sappiamo che:

$$\text{rot } \vec{E}_i = - \frac{\partial \vec{B}}{\partial t}$$

Se le linee di \vec{B} stanno in una certa direzione, le linee di \vec{E}_i stanno in un piano ortogonale a tale direzione e concatenano quelle di \vec{B} .



Quando il campo magnetico è variabile all'interno di un conduttore metallico, il campo elettrico indotto origina correnti concatenate alle linee di \vec{B} che possono essere molto intense e causare il riscaldamento del materiale per effetto Joule.

Tale processo è sfruttato nei forni a induzione, nei cui si fondono metalli sottoposti a campi magnetici variabili ad alta frequenza.

Se si vogliono ridurre tali correnti, occorre RASTRENARE il materiale impedendo ad esse di scorrere in modo sperde



Processo di carica:

$$\mathcal{E} + \mathcal{E}_L = Ri \quad \mathcal{E}_L = -\frac{d\phi(\vec{B})}{dt} = -\frac{d(Li)}{dt} = -L \frac{di}{dt}$$

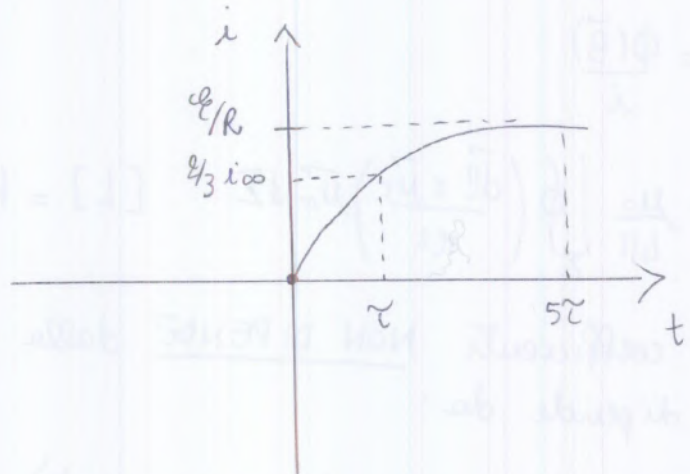
$$\mathcal{E} - L \frac{di}{dt} = Ri$$

$$\mathcal{E} - Ri = L \frac{di}{dt} \rightarrow \int_0^i \frac{di}{\mathcal{E} - Ri} = \frac{1}{L} \int_0^t dt$$

$$-\frac{1}{R} \ln \left(\frac{\mathcal{E} - Ri}{\mathcal{E}} \right) = \frac{t}{L}$$

$$\ln \left(\frac{\mathcal{E} - Ri}{\mathcal{E}} \right) = -\frac{R}{L} t \rightarrow \mathcal{E} - Ri = \mathcal{E} e^{-\frac{R}{L} t} \rightarrow i = \frac{\mathcal{E}}{R} (1 - e^{-\frac{R}{L} t})$$

$$i(t) = \underbrace{\frac{\mathcal{E}}{R}}_{i_{\infty}} - \underbrace{\frac{\mathcal{E}}{R} e^{-R/L t}}_{\text{extracorrente di chiusura}}$$



$$\tau = \frac{L}{R}$$

$3 \div 5 \tau \rightarrow$ fine transitorio

Apriamo il circuito:

$t < 0$ T chiuso $i = \frac{\mathcal{E}}{R}$

$t > 0$ T aperto $i = i_{\infty} = \frac{\mathcal{E}}{R} \Rightarrow R \rightarrow R' \gg R$

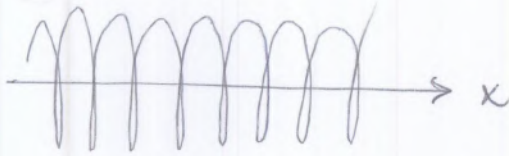
$$\mathcal{E} - L \frac{di}{dt} = R' i \rightarrow \int_{i_{\infty}}^i \frac{di}{\mathcal{E} - R' i} = \int_0^t \frac{dt}{L}$$

$$-\frac{1}{R'} \ln \left(\frac{\mathcal{E} - R' i}{\mathcal{E} - R' i_{\infty}} \right) = \frac{t}{L}$$

$$\ln \left(\frac{\mathcal{E} - R' i}{\mathcal{E} - R' i_{\infty}} \right) = -\frac{R'}{L} t \rightarrow \mathcal{E} - R' i = (\mathcal{E} - R' i_{\infty}) e^{-\frac{R'}{L} t}$$

$$i(t) = \frac{\mathcal{E}}{R'} - \frac{\mathcal{E}}{R'} e^{-\frac{R'}{L} t} + \frac{R' i_{\infty}}{R'} e^{-\frac{R'}{L} t} \sim \frac{\mathcal{E}}{R'} e^{-\frac{R'}{L} t}$$

extracorrente di apertura

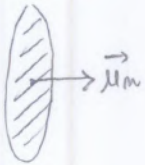


$$U_L = \frac{1}{2} L i^2$$

$$L = \frac{\phi(\vec{B})}{i}$$

$$\vec{B} = \mu_0 i m \vec{\mu}_x, \text{ con } m = \frac{N}{L}$$

$$\phi_{\text{spira}}(\vec{B}) = \int_{\Sigma} \vec{B} \cdot \vec{\mu}_m d\Sigma = B \Sigma \Rightarrow \phi_{\text{TOT}} = N \phi_{\text{SPIRA}} = NB\Sigma = \overset{mL}{\uparrow} N \mu_0 i m \Sigma = \mu_0 i m^2 L \Sigma$$



$$L = \frac{\phi_{\text{TOT}}(\vec{B})}{i} = \mu_0 m^2 \overset{\text{Vol}}{\Sigma} = \mu_0 m^2 \text{Vol}$$

$$U_L = \frac{1}{2} L i^2 = \frac{1}{2} \mu_0 m^2 \text{Vol } i^2 \frac{\mu_0}{\mu_0} = \frac{1}{2} \frac{\mu_0^2 i^2 m^2 \text{Vol}}{\mu_0} = \frac{1}{2} \frac{B^2}{\mu_0} \text{Vol}$$

$$\boxed{u_{\text{mm}} = \frac{1}{2} \frac{B^2}{\mu_0}} \quad \text{densità di energia magnetica}$$

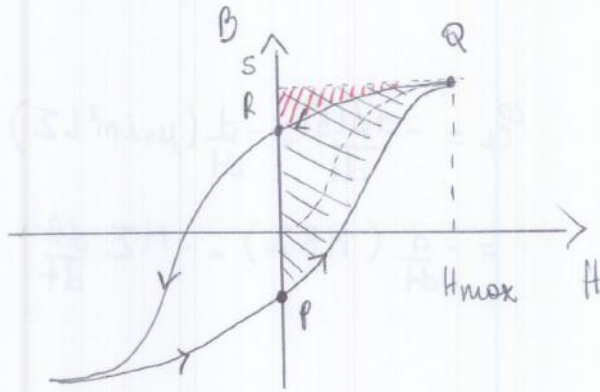
Il risultato trovato vale in generale, ovunque sia presente nello spazio un campo magnetico.

$$U_{\text{mm}} = \int_{\text{Vol}} u_{\text{mm}}(x, y, z) d\text{Vol}$$

• Se μ_0 vuoto $u_{\text{mm}} = \frac{1}{2} \frac{B^2}{\mu_0}$

Se il materiale è FERROMAGNETICO:

(65)



$$W = \int_{-B_{res}}^{B_{max}} H dB = \text{area } P \Delta S > 0$$

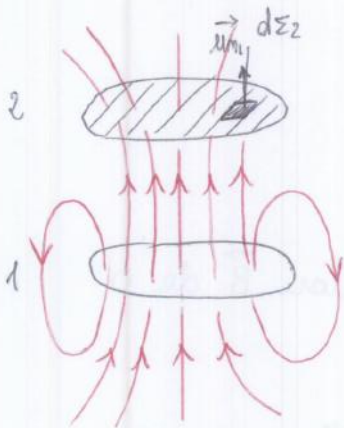
$$W = \int_{B_{max}}^{-B_{res}} H dB = \text{area } R \Delta S < 0$$

Una parte di energia viene assorbita dal materiale e non viene più restituita.

In un intero ciclo, il lavoro speso e non recuperato PER UNITÀ DI VOLUME è pari all'area del ciclo di isteresi.

L'energia non restituita è dissipata sotto forma di calore nel processo di allineamento e disallineamento dei domini di Weier.

MUTUA INDUZIONE



$$\vec{B}_1 = \frac{\mu_0 i_1}{4\pi} \oint \frac{d\vec{l} \times \vec{r}}{r^2}$$

$$\phi_2(\vec{B}_1) = \frac{\mu_0 i_1}{4\pi} \oint_{\Sigma_2} \left(\frac{d\vec{l} \times \vec{r}}{r^2} \right) \cdot \vec{n}_2 d\Sigma_2$$

$$M_{12} = \frac{\phi_2(\vec{B}_1)}{i_1} = \frac{\mu_0}{4\pi} \oint_{\Sigma_2} \left(\frac{d\vec{l} \times \vec{r}}{r^2} \right) \cdot \vec{n}_2 d\Sigma_2$$

↪ coeff. di mutua induzione

- 1) NON DIPENDE dalle correnti che scorrono nei due circuiti
- 2) dipende dal MEZZO e dalle CARATTERISTICHE GEOMETRICHE dei due circuiti
- 3) Dipende dalla DISTANZA tra i due circuiti

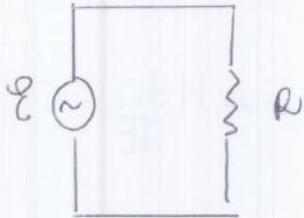
$$M_{12} = \frac{\phi_2(\vec{B}_1)}{i_1} = M_{21} = \frac{\phi_1(\vec{B}_2)}{i_2} = M$$

CIRCUITI IN CORRENTE ALTERNATA

(67)

una grandezza si dice alternata quando è periodica e il suo valore medio nel periodo è pari a 0.

CIRCUITO RESISTIVO

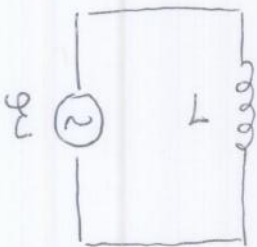


$$U = U_0 \cos(\omega t)$$

$$U = Ri \rightarrow i = \frac{U}{R} = \frac{U_0}{R} \cos(\omega t)$$

Corrente in fase con la tensione

CIRCUITO INDUTTIVO



$$U = U_0 \cos(\omega t)$$

$$U + U_L = 0 \rightarrow U = L \frac{di}{dt}$$

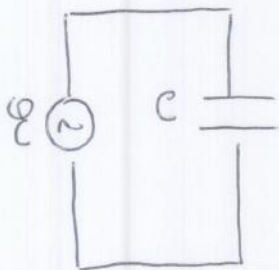
$$U_0 \cos(\omega t) dt = L di$$

$$i = \frac{U_0}{\omega L} \sin \omega t = \frac{U_0}{\omega L} \cos(\omega t - \pi/2)$$

La corrente è in ritardo di $\frac{\pi}{2}$ rispetto alla tensione

$\rightarrow i_0$
 \rightarrow reattanza induttiva

CIRCUITO CAPACITIVO



$$U = \frac{q}{C} = \frac{\int i dt}{C}$$

$$\frac{dU}{dt} = \frac{i}{C} \rightarrow -U_0 \omega \sin(\omega t) = i$$

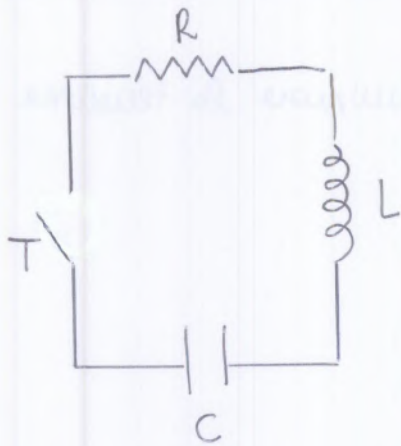
$$i = -U_0 \omega \sin(\omega t) = U_0 \omega \cos(\omega t + \pi/2)$$

$$\downarrow i_0 = U_0 \omega C$$

$$U_0 = \frac{i_0}{\omega C}$$

La corrente è in anticipo rispetto alla tensione

OSCILLAZIONI SMORZATE CIRCUITO RLC



$t = 0$ tasto chiuso

$i = 0, \varphi = \varphi_0$

$\varphi_L = V_R + V_C$

$L \frac{di}{dt} + Ri + \frac{1}{C} \int i dt = 0$

$L \frac{d^2 i}{dt^2} + R \frac{di}{dt} + \frac{i}{C} = 0$

eq. caratteristica:

$i = e^{kt}$

eq. caract.

$Lk^2 e^{kt} + Rk e^{kt} + \frac{1}{C} e^{kt} = 0, e^{kt} \left(Lk^2 + Rk + \frac{1}{C} \right)$

$k = \frac{-R \pm \sqrt{R^2 - 4 \frac{L}{C}}}{2L} \rightarrow \begin{cases} k_1 = -\frac{R}{2L} + \sqrt{\left(\frac{R}{2L}\right)^2 - \frac{1}{LC}} \\ k_2 = -\frac{R}{2L} - \sqrt{\left(\frac{R}{2L}\right)^2 - \frac{1}{LC}} \end{cases}$

1° caso $k_1, k_2, k_1 \neq k_2$ reali

smorzamento forte $\rightarrow i(t) = Ae^{k_1 t} + Be^{k_2 t}$

2° caso $k_1 = k_2$

smorzamento critico $\rightarrow i(t) = Ae^{k t} + Bte^{k t}$

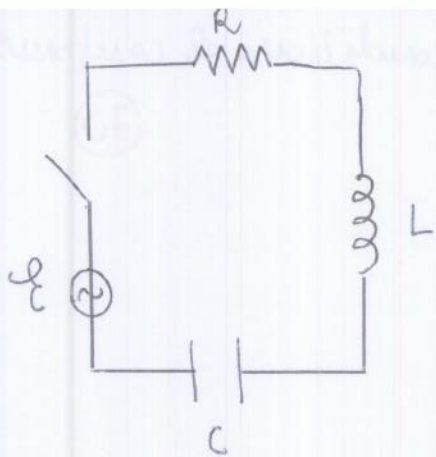
3° caso $k_1 \neq k_2$ complesse

SMORZAMENTO DEBOLE

$\rightarrow \frac{R^2}{4L^2} - \frac{1}{LC} < 0 \Rightarrow k_{1,2} = -\frac{R}{2L} \pm i \sqrt{\frac{1}{LC} - \frac{R^2}{4L^2}}$

ω_0





$$e + e_L = Ri + \frac{di dt}{C}$$

(71)

$$\frac{d^2 e}{dt^2} = L \frac{d^2 i}{dt^2} + R \frac{di}{dt} + \frac{i}{C}$$

La soluzione dell'eq. differenziale sarà data dalla somma dell'eq. omogenea associata $i(t) = A e^{-\frac{R}{2L}t} \cos(\omega_0 t + \psi)$ e di una soluzione particolare che cerchiamo nella forma:

$$i(t) = i_0 \cos \omega t.$$

Infatti, dato che il transitorio dopo un certo tempo scompare, a regime rimarrebbe solo la sol. particolare oscillante.

$$i(t) = A e^{-\frac{R}{2L}t} \cos(\omega_0 t + \psi) + i_0 \cos(\omega t)$$

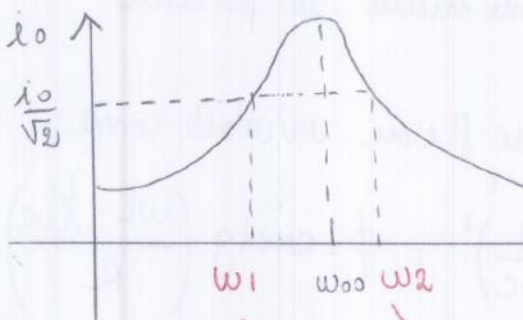
OSSERVIAMO CHE Se $\omega = \omega_0 = \frac{1}{\sqrt{LC}} \rightarrow$ RISONANZA

$$\omega = \omega_0 = \frac{1}{\sqrt{LC}}$$

$$\Rightarrow \phi = \arctg \left(\frac{\omega L - \frac{1}{\omega C}}{R} \right) = 0$$

$$e_0 = i_0 \sqrt{R^2 + \left(\omega L - \frac{1}{\omega C} \right)^2} = i_0 R$$

Quando $\omega = \omega_0$ il circuito trasporta le maxime correnti



$$i(\omega_1) = i(\omega_2) = \frac{e_0}{R} \cdot \frac{1}{\sqrt{2}}$$

$$\Delta \omega = \omega_2 - \omega_1 \quad \text{LARGHEZZA RISONANZA}$$

$$Q = \frac{\omega_0}{\Delta \omega} = \frac{\omega_0}{\omega_2 - \omega_1}$$

FATTORE DI MERITO
Maggiore è Q , più il circuito è selettivo

(73)

$$\operatorname{div} \vec{D} = \rho \rightarrow \operatorname{div} \frac{\partial \vec{D}}{\partial t} = \frac{\partial \rho}{\partial t}$$

$$\operatorname{div} \vec{J} = - \operatorname{div} \frac{\partial \vec{D}}{\partial t} \rightarrow \operatorname{div} \left(\vec{J} + \frac{\partial \vec{D}}{\partial t} \right) = 0$$

Solenoidale

$$\operatorname{rot} \vec{B} = \mu_0 (\vec{J} + \vec{J}_M)$$

$$\operatorname{rot} \frac{\vec{B}}{\mu_0} = \vec{J} + \operatorname{rot} \vec{M} \rightarrow \operatorname{rot} \left(\frac{\vec{B}}{\mu_0} - \vec{M} \right) = \vec{J}$$

\vec{H}

$$\operatorname{rot} \vec{H} = \vec{J}$$

↓

$$\operatorname{rot} \vec{H} = \vec{J} + \frac{\partial \vec{D}}{\partial t}$$

Legge di Ampere - Maxwell in forma integrale:

$$\operatorname{rot} \vec{B} = \mu_0 \left(\vec{J} + \epsilon_0 \frac{\partial \vec{E}}{\partial t} \right)$$

$$\oint_{\gamma} \vec{B} \cdot d\vec{\ell} = \mu_0 (i + i_s) \quad i = \int_{\Sigma} \vec{J} \cdot \vec{u}_m d\Sigma \quad i_s = \int_{\Sigma} \vec{J}_s \cdot \vec{u}_m d\Sigma$$

$$i_s = \int_{\Sigma} \epsilon_0 \frac{\partial \vec{E}}{\partial t} \cdot \vec{u}_m d\Sigma = \epsilon_0 \frac{\partial}{\partial t} \int_{\Sigma} \vec{E} \cdot \vec{u}_m d\Sigma = \epsilon_0 \frac{\partial \phi(\vec{E})}{\partial t}$$

$$\oint \vec{B} \cdot d\vec{\ell} = \mu_0 \left(i + \epsilon_0 \frac{\partial \phi(\vec{E})}{\partial t} \right)$$

legge di Ampere - Maxwell in forma integrale

$$\textcircled{3} \oint_{\gamma} \vec{E}_i \cdot d\vec{\ell} = - \frac{\partial}{\partial t} \int_{\Sigma} \vec{B} \cdot \vec{u} \, d\mathcal{E} \rightarrow \text{rot } \vec{E} = - \frac{\partial \vec{B}}{\partial t} \quad (75)$$

$$\textcircled{4} \oint_{\gamma} \vec{B} \cdot d\vec{\ell} = \mu_0 \left(\vec{j} + \epsilon_0 \frac{\partial \phi(\vec{E})}{\partial t} \right) \rightarrow \text{rot } \vec{B} = \mu_0 \left(\vec{j} + \epsilon_0 \frac{\partial \vec{E}}{\partial t} \right)$$

MATERIALE

$$\text{rot } \vec{H} = \vec{j} + \frac{\partial \vec{D}}{\partial t}$$



$$\text{rot } \vec{B} = \mu_0 (\vec{j} + \vec{j}_H)$$

$$\text{rot } \frac{\vec{B}}{\mu_0} = \vec{j} + \text{rot } \vec{H} \rightarrow \text{rot } \left(\frac{\vec{B}}{\mu_0} - \vec{H} \right) = \vec{j}$$

$$\text{rot } \vec{H} = \vec{j}$$

$$\text{div } \vec{j} = - \frac{\partial \rho}{\partial t}$$

$$\text{div } \vec{E} = \frac{\rho + \rho_p}{\epsilon_0} \rightarrow \text{div } \vec{D} = \rho \rightarrow \text{div } \frac{\partial \vec{D}}{\partial t} = \frac{\partial \rho}{\partial t}$$

$$\text{div} \left(\vec{j} + \frac{\partial \vec{D}}{\partial t} \right) = 0$$

$$\Rightarrow \boxed{\text{rot } \vec{H} = \vec{j} + \frac{\partial \vec{D}}{\partial t}}$$

Esprimendo le eq. di Maxwell in f. dei vettori \vec{D}, \vec{H} , occorre anche aggiungere le relazioni:

$$\vec{D} = \epsilon \vec{E} \quad \textcircled{5}$$

$$\vec{B} = \mu \vec{H} \quad \textcircled{6}$$

Tali eq. sono relativisticamente invarianti, cioè mantengono la stessa forma in qualsiasi sistema inerziale, e posto di usare le trasformazioni di Lorentz.

FE NOMENI ONDULATORI

(77)

Onda: perturbazione impulsiva o periodica che si propaga nello spazio e nel tempo con una velocità ben definita.

IPOTESI

- 1) $\rho = 0$ NO CARICHE LIBERE
- 2) $\vec{j} = 0$ NO CARICHE CONDUZIONE
- 3) VUOTO
- 4) ONDE PIANE, cioè onde che, dato un piano perpendicolare alla direzione di propagazione, hanno la stessa intensità in ogni punto.
- 5) \vec{E}, \vec{B} dipendono solo da x e $t \Rightarrow \vec{E}(x,t), \vec{B}(x,t)$

$$\textcircled{1} \operatorname{div} \vec{E} = 0 \rightarrow \frac{\partial E_x}{\partial x} + \cancel{\frac{\partial E_y}{\partial y}} + \cancel{\frac{\partial E_z}{\partial z}} = 0 \quad 1.$$

$$\textcircled{2} \operatorname{div} \vec{B} = 0 \rightarrow \frac{\partial B_x}{\partial x} + \cancel{\frac{\partial B_y}{\partial y}} + \cancel{\frac{\partial B_z}{\partial z}} = 0 \quad 2.$$

$$\textcircled{3} \operatorname{rot} \vec{E} = -\frac{\partial \vec{B}}{\partial t} \rightarrow \frac{\partial E_z}{\partial y} - \cancel{\frac{\partial E_y}{\partial z}} = -\frac{\partial B_x}{\partial t} \quad 3.$$

$$\frac{\partial E_x}{\partial z} - \cancel{\frac{\partial E_z}{\partial x}} = -\frac{\partial B_y}{\partial t} \quad 4.$$

$$\frac{\partial E_y}{\partial x} - \cancel{\frac{\partial E_x}{\partial y}} = -\frac{\partial B_z}{\partial t} \quad 5.$$

$$\textcircled{4} \operatorname{rot} \vec{B} = \mu_0 \epsilon_0 \frac{\partial \vec{E}}{\partial t} \rightarrow \frac{\partial B_z}{\partial y} - \cancel{\frac{\partial B_y}{\partial z}} = \mu_0 \epsilon_0 \frac{\partial E_x}{\partial t} \quad 6.$$

$$\frac{\partial B_x}{\partial z} - \cancel{\frac{\partial B_z}{\partial x}} = \mu_0 \epsilon_0 \frac{\partial E_y}{\partial t} \quad 7.$$

$$\frac{\partial B_y}{\partial x} - \cancel{\frac{\partial B_x}{\partial y}} = \mu_0 \epsilon_0 \frac{\partial E_z}{\partial t} \quad 8.$$

La soluzione di tale eq. diff. è data in generale, per il principio di sovrapposizione, dalla somma tra due tipi di onde:

(79)

$$\xi(x,t) = \underbrace{\xi_1(x-ct)}_{\text{onda progressiva}} + \underbrace{\xi_2(x+ct)}_{\text{onda regressiva}}$$

l'argomento di ξ deve contenere le variabili x, t sotto forma di combinazione lineare, pertanto sono possibili soluzioni:

$$\xi = (x-ct)^m$$

$$\xi = \sin[k(x-ct)]$$

$$\xi = e^{k(x-ct)}$$

• MATERIALE ISOTROPO INDEFINITO

$$\frac{\partial^2 \xi}{\partial x^2} - \mu \epsilon \frac{\partial^2 \xi}{\partial t^2} = 0 \quad c^2 = \frac{1}{\mu_0 \epsilon_0} \quad v^2 = \frac{1}{\mu \epsilon}$$

$$\frac{\partial^2 \xi}{\partial x^2} + \frac{1}{v^2} \frac{\partial^2 \xi}{\partial t^2} = 0 \quad \begin{cases} \xi_1(x-vt) \\ \xi_2(x+vt) \end{cases} \quad \text{o entrambe}$$

$$v = \frac{1}{\sqrt{\mu \epsilon}} = \frac{1}{\sqrt{\mu_0 \epsilon_0}} \cdot \frac{1}{\sqrt{\kappa_m \kappa_e}} = \frac{c}{\sqrt{\kappa_m \kappa_e}} = \frac{c}{n}$$

$$v = \frac{c}{n}$$

$n =$ indice di rifrazione assoluto

Abbiamo visto che l'argomento delle soluzioni di un'onda sono del tipo $x-ct, x+ct$.

Prendiamo l'onda progressiva e poniamo $x-ct = \mu$

$$\xi = \xi_0 \sin [kx - \omega t] = \xi_0 \sin \left[\frac{2\pi}{\lambda} x - \frac{2\pi}{T} t \right] = \xi_0 \sin \left[2\pi \left(\frac{x}{\lambda} - \frac{t}{T} \right) \right]$$

Nel caso più generale:

$$\xi = \xi_0 \sin \left[\underbrace{2\pi \left(\frac{x}{\lambda} - \frac{t}{T} \right)}_{\text{fase dell'onda}} + \phi_0 \right]$$

ϕ_0 fase iniziale, valore dell'onda quando $x, t = 0$

(81)

• ipotizziamo che l'onda si propaghi in una direzione identificata da un vettore \vec{k} .

$$\vec{k} = k_x \vec{u}_x + k_y \vec{u}_y + k_z \vec{u}_z \quad \text{vettore di propagazione}$$

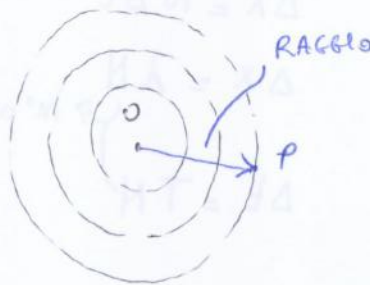
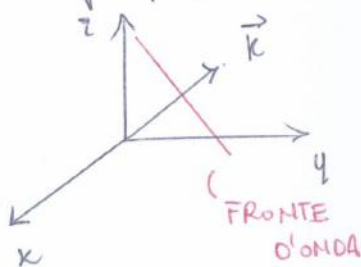
$$|\vec{k}| = \frac{2\pi}{\lambda} = \sqrt{k_x^2 + k_y^2 + k_z^2}$$

Volendo valutare l'onda in un punto $P(x, y, z)$ identificato da un vettore \vec{r} , l'equazione dell'onda diventa:

$$\xi = \xi_0 \sin [\vec{k} \cdot \vec{r} - \omega t + \phi_0] = \xi_0 \sin [k_x x + k_y y + k_z z - \omega t + \phi_0]$$

• Definiamo FRONTE D'ONDA, una superficie in cui l'onda ha fase costante.

Nel caso di un'onda sfermica piana del tipo $\xi = \xi_0 \sin(kx - \omega t)$ il fronte d'onda sarà un piano perpendicolare alla direzione di propagazione.



• Definiamo RAGGIO, una retta perpendicolare al fronte d'onda che indica la direzione di propagazione nel punto considerato

Supp. come succede per un'onda reale, che N non sia completamente fermato, ma ammetta un'incertezza ΔN :

(83)

$$\Rightarrow \begin{cases} \Delta k = \frac{2\pi \Delta N}{\Delta x} \\ \Delta \omega = \frac{2\pi \Delta N}{\Delta t} \end{cases}$$

Averemo un'incertezza anche su k, ω

Poniamo $\Delta N = 1$

$$\Delta k = \frac{2\pi}{\Delta x}$$

$$\Delta \omega = \frac{2\pi}{\Delta t} \rightarrow 2\pi \Delta \nu = \frac{2\pi}{\Delta t} \rightarrow \Delta \nu = \frac{1}{\Delta t}$$

Maggiore è la durata dell'onda, minore sarà l'incertezza sulla frequenza e viceversa.

Mentre per l'onda sinusoidale $\Delta x, \Delta t \rightarrow \infty$ e quindi λ e ν sono ben definite, nell'onda reale avremo una BANDA DI FREQUENZE

$\Delta \nu = \frac{1}{\Delta t}$ nell'intervallo della frequenza ν e un intervallo di numeri d'onda $\Delta k = \frac{2\pi}{\Delta x}$ nell'intervallo di $k = \frac{2\pi}{\lambda}$.

PROPAGAZIONE PACCHETTO D'ONDA

① Mezzo NON DISPERSIVO (vuoto)

$$v_f = v_g$$

- Tutte le onde sinusoidali che costituiscono il pacchetto viaggiano con la stessa velocità, che chiameremo VELOCITÀ DI FASE v_f
- la velocità del pacchetto, VELOCITÀ DI GRUPPO $v_g = v_f$

② Mezzo DISPERSIVO

$$v_f \neq v_g$$

- Ogni onda sinusoidale ha una velocità propria

$$v_f = \frac{c}{n} = \frac{\omega}{k} = \frac{2\pi \nu \cdot \lambda}{2\pi} = \nu \lambda, \text{ con } n = \text{indice di rifrazione, dipende da } \nu, \lambda$$

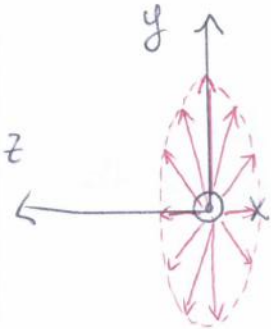
$$v_f = v_f(\nu), v_f(\lambda)$$

- Il PIANO DI POLARIZZAZIONE è identificato dalla direzione di polarizzazione e dalla direzione di propagazione. 85

• POLARIZZAZIONE ELLITTICA

Si ha nei materiali ANISOTROPI

In tale polarizzazione il campo elettrico descrive un'ellisse nel piano perpendicolare alla direzione di propagazione

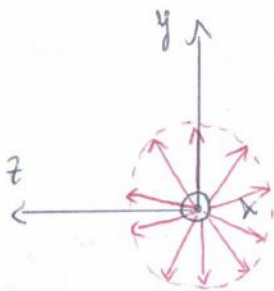


• POLARIZZAZIONE CIRCOLARE

Si ha nei materiali ISOTROPI

Il campo elettrico descrive una circonferenza in un piano perpendicolare alla direzione di propagazione.

Il tempo che il campo elettrico impiega a compiere un giro completo è pari al periodo dell'onda.



• ENERGIA TRASPORTATA DA UN'ONDA

$$u_e = \frac{1}{2} \epsilon E^2$$

$$\rightarrow u = \frac{1}{2} \epsilon E^2 + \frac{1}{2} \frac{B^2}{\mu} \quad \text{densità di energia}$$

$$u_m = \frac{1}{2} \frac{B^2}{\mu}$$

• Per un'onda piana $E = Bv \rightarrow u = \frac{1}{2} \epsilon E^2 + \frac{1}{2} \frac{E^2}{\mu v^2}$

ONDA ELETTROMAGNETICA IN UN MATERIALE

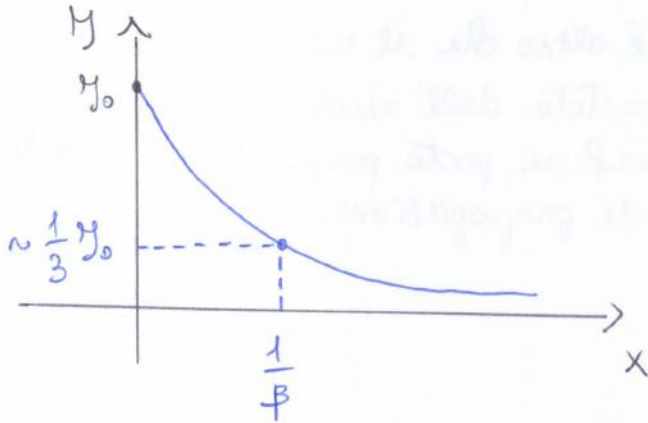
(88)

Quando un'onda elettromagnetica attraversa un materiale, può cedere energia ad esso, per cui l'intensità varierà secondo la legge:

$$Y = Y_0 e^{-\beta x}$$

β = coeff. di assorbimento

$\frac{1}{\beta}$ = lunghezza di assorbimento



Poiché $\beta = \beta(\nu)$, per ogni materiale ci sono frequenze in cui l'assorbimento è massimo.

QUANTITÀ DI MOTO - PRESSIONE DI RADIAZIONE

La PRESSIONE DI RADIAZIONE P_{rad} , è la forza media esercitata dall'onda per unità di superficie. Ciò significa che l'onda trasporta una certa quantità di moto, poiché $F_m = \frac{dp_m}{dt}$

$$\frac{Y}{c} \cos^2 \theta < P_{rad} < \frac{2Y}{c} \cos^2 \theta$$

↓
superficie
assorbente

↓
superficie
riflettente

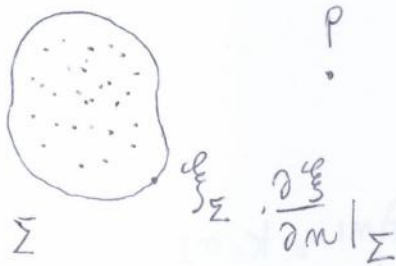
Se l'impetto è perpendicolare:

$$\frac{Y}{c} < P_{rad} < \frac{2Y}{c}$$

ENUNCIATO TEOREMA DI KIRCHHOF

(89)

Il valore dell'ampiezza di un'onda elettromagnetica in un punto P qualunque dello spazio, generata da una distribuzione incognita di sorgenti, può essere determinata se, data una superficie chiusa Σ che separa lo spazio delle sorgenti dallo spazio in cui si trova il punto P, si è in grado di determinare il valore dell'onda ξ e delle sue derivate normali $\frac{\partial \xi}{\partial n}$, in tutti i punti di Σ .

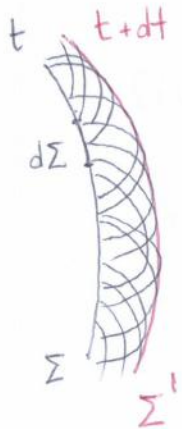


$\xi_P \rightarrow$ somma di tutti i contributi delle onde che raggiungono P in un certo istante

PRINCIPIO DI HUYGENS-FRESNEL

Ogni elemento $d\Sigma$ di una superficie d'onda Σ si può considerare formalmente come una sorgente di onde secondarie sferiche, la cui ampiezza, proporzionale all'ampiezza dell'onda primaria e all'area $d\Sigma$, varia con l'angolo che la direzione dell'onda secondaria fa con la direzione della primaria, secondo la funzione $f(\theta) \rightarrow$ FATTORE DI OBBLIQUITÀ

Il nuovo fronte d'onda Σ' sarà l'involuppo delle onde secondarie

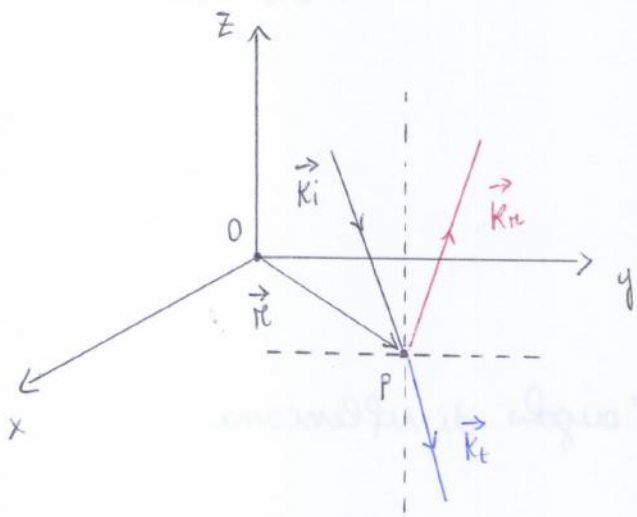


$$A_s \propto A_p d\Sigma f(\theta)$$

$$\vec{k}_i \cdot \vec{r} - \omega t = \vec{k}_r \cdot \vec{r} - \omega t = \vec{k}_t \cdot \vec{r} - \omega t \quad (1)$$

$$\vec{k}_i \cdot \vec{r} = \vec{k}_r \cdot \vec{r} = \vec{k}_t \cdot \vec{r}$$

→ Relazioni indipendenti dal sistema di riferimento scelto.



• SUPERFICIE SEPARAZIONE:
piano $ky \rightarrow P$ giace su ky

• \vec{k}_i giace in yz

$$\begin{aligned} \vec{r} &= x \vec{u}_x + y \vec{u}_y \\ \vec{k}_i &= k_{iy} \vec{u}_y + k_{iz} \vec{u}_z \\ \vec{k}_r &= k_{rx} \vec{u}_x + k_{ry} \vec{u}_y + k_{rz} \vec{u}_z \\ \vec{k}_t &= k_{tx} \vec{u}_x + k_{ty} \vec{u}_y + k_{tz} \vec{u}_z \end{aligned}$$

$$y k_{ry} = k_{rx} x + k_{ry} y = k_{tx} x + k_{ty} y$$



$$k_{iy} y = k_{ry} y = k_{ty} y$$

tale relazione deve valere $\forall (x, y)$,
cioè per qualsiasi punto P sul
piano, per cui:

$$\begin{aligned} k_{rx} x &= k_{tx} x = 0 \\ k_{rx} &= k_{tx} = 0 \end{aligned}$$

Definiamo PIANO DI INCIDENZA il piano ortogonale alla superficie di separazione, individuato dalle direzioni di incidenza e delle normale alla superficie nel punto di incidenza

Poiché $k_{rx}, k_{ry} = 0$, anche \vec{k}_r, \vec{k}_t giacciono nel piano di incidenza.

1ª LEGGE RIFLESSIONE E RIFRAZIONE

Le direzioni di propagazione dell'onda incidente, riflessa e rifratta giacciono sul piano di incidenza.

Partiamo da:

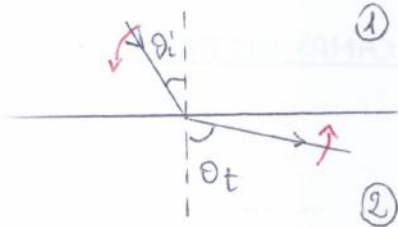
$$k_{iy} = k_{ry} = k_{ty}$$

RIFLESSIONE TOTALE

93

Ipotesi: $n_2 < n_1$.

In questo caso l'onda trasmessa si allontana dalla normale della superficie di separazione.



- Tale situazione presenta un caso limite: Al crescere di θ_i , l'angolo di trasmissione cresce fino a raggiungere il valore limite $\theta_t = \frac{\pi}{2}$.

L'angolo di incidenza a cui corrisponde $\theta_t = \frac{\pi}{2}$ si calcola come:

$$\theta_L = \arcsin\left(\frac{n_2}{n_1}\right)$$

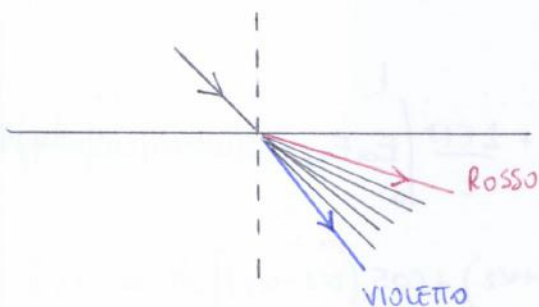
Per valori $>$ di θ_L l'onda rifratta non si forma più e l'onda incidente è totalmente riflessa nel primo mezzo.

RIFLESSIONE TOTALE

Osserviamo infine che, L'ANGOLO DI TRASMISSIONE DIPENDE DALLA FREQUENZA

$$\sin \theta_t = \frac{n_1}{n_2} \sin \theta_i \rightarrow n_1, n_2 \text{ dipendono dalla frequenza, quindi } \theta_t \text{ dipende dalla frequenza.}$$

Questo comporta che se si incide sulla superficie di separazione tra due mezzi e per esempio la luce bianca, avremo tanti angoli di trasmissione quanto sono le diverse lunghezze d'onda.



Perché n decresce al crescere di λ , per la legge di Cauchy $n(\lambda) = A + \frac{B}{\lambda^2}$, il rosso sarà più deviato, il violetto meno deviato.

$$= \mathcal{Y}_1 + \mathcal{Y}_2 + 2 \underbrace{\frac{\sqrt{\epsilon N}}{\sqrt{2}} E_{01}}_{\sqrt{\mathcal{Y}_1}} \cdot \underbrace{\frac{\sqrt{\epsilon N}}{\sqrt{2}} E_{02}}_{\sqrt{\mathcal{Y}_2}} \cos \delta = \mathcal{Y}_1 + \mathcal{Y}_2 + 2\sqrt{\mathcal{Y}_1 \mathcal{Y}_2} \cos \delta \quad (95)$$

Quindi:

$$\mathcal{Y} = \mathcal{Y}_1 + \mathcal{Y}_2 + 2\sqrt{\mathcal{Y}_1 \mathcal{Y}_2} \cos \delta, \quad \delta = \text{differenza di fase tra le due onde}$$

Osserviamo che:

se $\omega_1 \neq \omega_2 \rightarrow \cos(\omega_1 t + \alpha_1 - \omega_2 t - \alpha_2) \rightarrow$ l'integrale sarebbe stato nullo $\Rightarrow \mathcal{Y} = \mathcal{Y}_1 + \mathcal{Y}_2$

se $\delta = \delta(t) \rightarrow \cos(\delta(t)) \rightarrow$ l'integrale sarebbe stato nullo $\Rightarrow \mathcal{Y} = \mathcal{Y}_1 + \mathcal{Y}_2$

Non avremmo osservato il fenomeno dell'interferenza.

• MAX $\mathcal{Y} = \mathcal{Y}_{\max}$ quando $\cos \delta = 1 \rightarrow \delta = 2m\pi, m \in \mathbb{Z}$

$$\mathcal{Y} = \mathcal{Y}_1 + \mathcal{Y}_2 + 2\sqrt{\mathcal{Y}_1 \mathcal{Y}_2} = (\sqrt{\mathcal{Y}_1} + \sqrt{\mathcal{Y}_2})^2$$

Se $\mathcal{Y}_1 = \mathcal{Y}_2 \rightarrow \mathcal{Y}_{\max} = 4\mathcal{Y}_1$

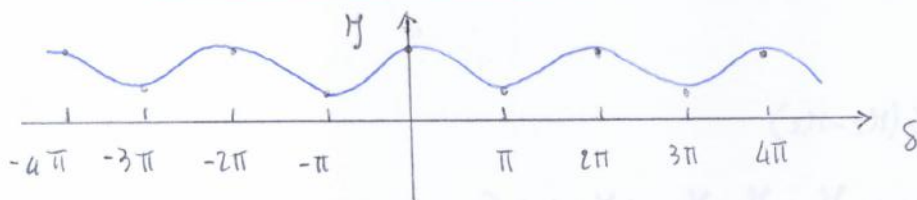
INTERFERENZA COSTRUTTIVA

• MIN $\mathcal{Y} = \mathcal{Y}_{\min}$ quando $\cos \delta = -1 \rightarrow \delta = (2m+1)\pi, m \in \mathbb{Z}$

$$\mathcal{Y}_{\min} = \mathcal{Y}_1 + \mathcal{Y}_2 - 2\sqrt{\mathcal{Y}_1 \mathcal{Y}_2} = (\sqrt{\mathcal{Y}_1} - \sqrt{\mathcal{Y}_2})^2$$

Se $\mathcal{Y}_1 = \mathcal{Y}_2 \Rightarrow \mathcal{Y}_{\min} = 0$

INTERFERENZA DISTRUTTIVA



Massimi e minimi con stessa intensità

• INTERFERENZA COSTRUTTIVA

$$\delta = K(\pi_2 - \pi_1) = 2m\pi \quad m \in \mathbb{Z}$$

$$\frac{2\pi}{\lambda} (\pi_2 - \pi_1) = 2m\pi \rightarrow \pi_2 - \pi_1 = m\lambda$$

• INTERFERENZA DISTRUTTIVA

$$\delta = K(\pi_2 - \pi_1) = (2m+1)\pi, \quad m \in \mathbb{Z}$$

$$\frac{2\pi}{\lambda} (\pi_2 - \pi_1) = (2m+1)\pi \rightarrow \pi_2 - \pi_1 = \frac{\lambda}{2} (2m+1)$$

• POSIZIONE ANGOLARE DI P

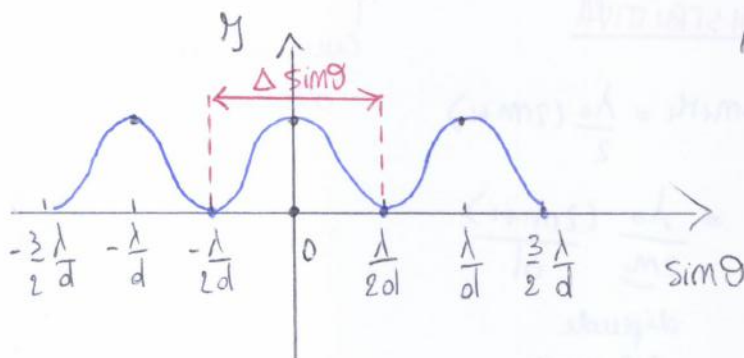
$$\pi_2 - \pi_1 \sim d \sin \theta$$

• Int. costruttiva in P: $d \sin \theta = m\lambda \rightarrow \sin \theta = \frac{m\lambda}{d}$

$m = m^{\circ} \text{ massimo}, m = 0, \pm 1, \pm 2, \dots$

• Int. distruttiva in P: $d \sin \theta = \frac{\lambda}{2} (2m+1) \rightarrow \sin \theta = \frac{\lambda}{2d} (2m+1)$

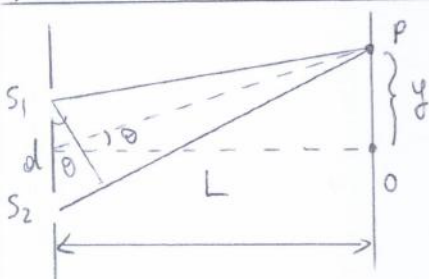
$m = m^{\circ} \text{ minimo}, m = 0, \pm 1, \pm 2, \dots$



$\Delta \sin \theta = \text{ampiezza angolare massimo}$

$$\Delta \sin \theta = \frac{\lambda}{d}$$

POSIZIONE LINEARE PUNTO P



$$\tan \theta = \frac{y}{L}$$

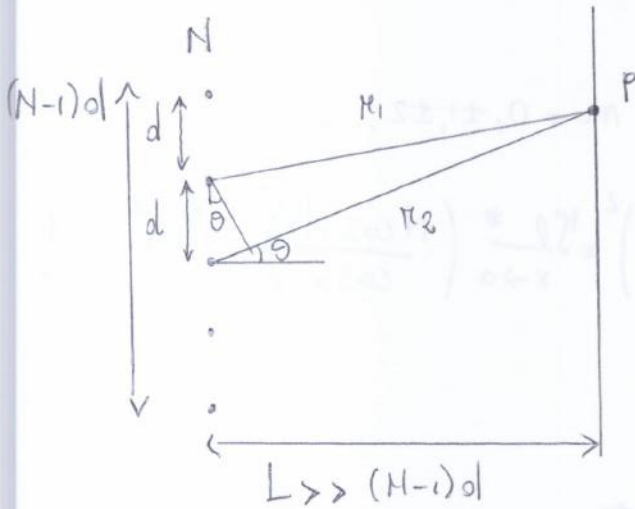
per θ piccoli:

$$\tan \theta \sim \sin \theta = \frac{y}{L}$$

INTERFERENZA DA N SORGENTI COERENTI

(93)

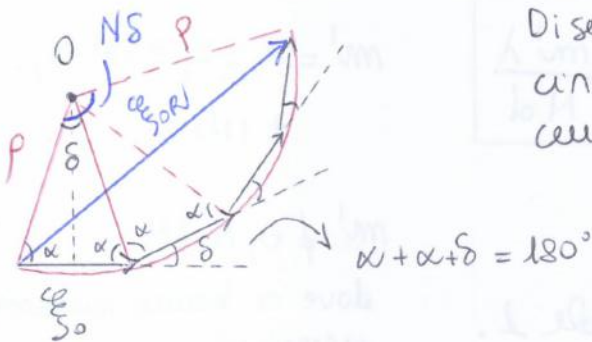
Consideriamo N sorgenti eguali di onde sferiche, coerenti, disposte lungo una retta ed equispaziate di una distanza d.



Tra due onde emesse da due sorgenti consecutive, esiste la differenza di fase:

$$\delta = k(\pi_2 - \pi_1) = \frac{2\pi}{\lambda} d \sin \theta$$

Sommiamo il contributo delle N onde con il metodo dei vettori rotanti, ciascuno con modulo pari all'ampiezza dell'onda.



Disegneremo una poligonale regolare circoscritta da una circonferenza di centro O e raggio p.

L'angolo che sottende la poligonale è pari a NS.

$$\mathcal{E}_{\Sigma} = 2p \sin \frac{\delta}{2}$$

$$\mathcal{E}_{\Sigma R} = 2p \sin \frac{NS}{2}$$

$$\mathcal{E}_{\Sigma R} = \mathcal{E}_{\Sigma} \left(\frac{\sin \frac{NS}{2}}{\sin \frac{\delta}{2}} \right)$$

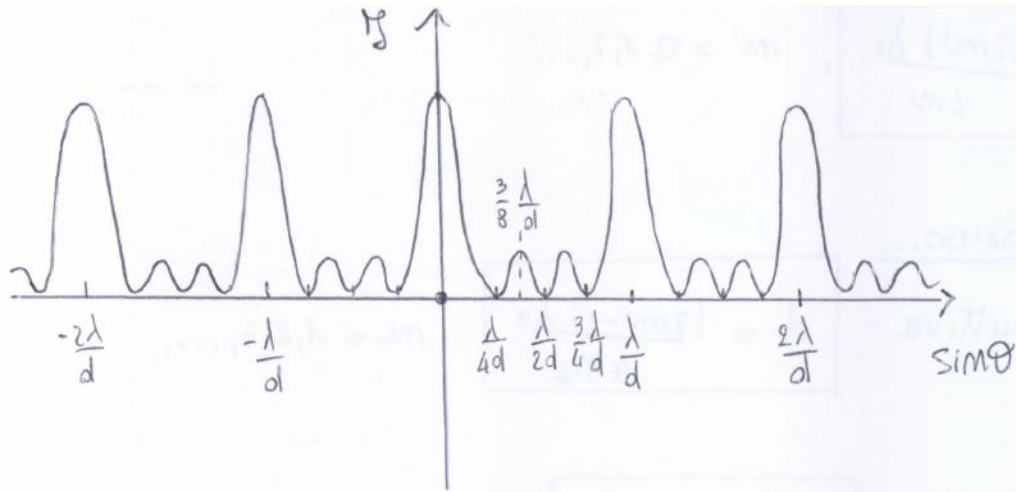
troviamo

L'intensità è proporzionale al quadrato dell'ampiezza:

$$I_R = I \left(\frac{\sin \frac{NS}{2}}{\sin \frac{\delta}{2}} \right)^2$$

$$I_R = I \left(\frac{\sin \left(\frac{N\pi d \sin \theta}{\lambda} \right)}{\sin \left(\frac{\pi d \sin \theta}{\lambda} \right)} \right)^2$$

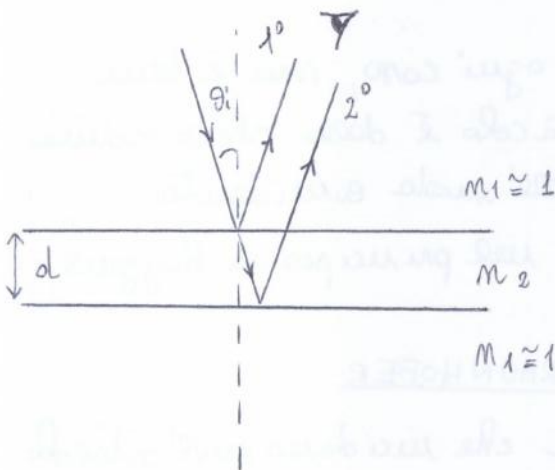
$N = 4$



INTERFERENZA DA LAMINE SOTTILI

Supponi amo di osservare a piccoli angoli rispetto alle normale una lamina sottile spessa d , formata da una sostanza trasparente con indice di rifrazione n_2 , immersa in un mezzo con indice di rifrazione n_1 .

Sia $n_2 > n_1$



Una parte dell'onda viene riflessa, l'altra trasmessa e riflessa dalla sup. inferiore

- Quando la luce passa da un materiale con indice di rifrazione inferiore a uno con indice di rifrazione superiore, la riflessione sulla superficie di separazione tra i due mezzi avviene con uno spostamento di π .

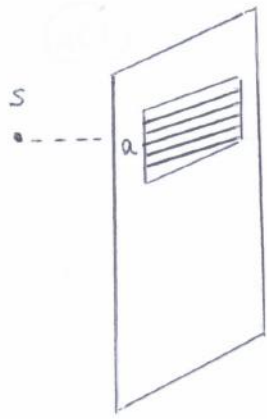
- Se $n_1 > n_2$ non vi è alcuno spostamento

In questo caso quindi, le due onde giungono all'occhio spostate sia per la differenza di cammino ottico, sia per lo spostamento di π .

$$\delta = k_0 n_2 2d + \pi = \frac{2\pi}{\lambda_0} \cdot 2d n_2 + \pi$$

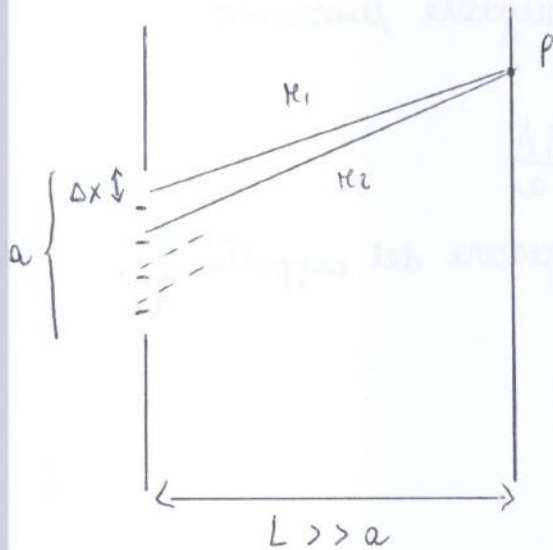
INTERFERENZA COSTRUTTIVA : $\delta = 2m\pi \Rightarrow \frac{4\pi}{\lambda_0} n_2 d + \pi = 2\pi m \rightarrow d = \frac{(2m-1)\lambda_0}{4n_2}$ $m = 1, 2, 3, \dots$

INTERFERENZA DISTRUTTIVA : $\delta = (2m'+1)\pi \Rightarrow \frac{4\pi}{\lambda_0} n_2 d + \pi = (2m'+1)\pi$



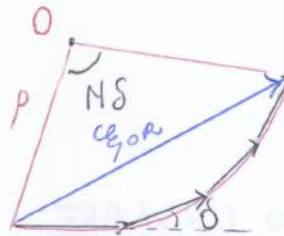
Suddividiamo la fenditura in strisce infinitesime, ciascuna delle quali funge da sorgente di onde secondarie ed è larga Δx .

(103)



$$\delta = r_2 - r_1 = \frac{2\pi}{\lambda} \delta \sin \theta = \frac{2\pi}{\lambda} \Delta x \sin \theta$$

Calcoliamo l'ampiezza dell'onda risultante con il metodo dei vettori rotanti:



$$E_{OR} = E_0 \sin\left(\frac{N\delta}{2}\right)$$

Poiché N è molto elevato, $\frac{\delta}{2}$ è molto piccolo \Rightarrow CIRCONFERENZA \sim POLIGONALE

$E_{OR \text{ MAX}} = E_0 NS$ lunghezza arco circonferenza, corrisponde all'ampiezza massima che si osserva al centro dello schermo, quando $\theta = 0$.

Dividendo membro a membro:

$$E_{OR} = E_{OR \text{ MAX}} \frac{2 \sin \frac{N\delta}{2}}{N\delta} = E_{OR \text{ MAX}} \left(\frac{\sin \frac{N\delta}{2}}{\frac{N\delta}{2}} \right)$$

$$I_R = I_{\text{MAX}} \left(\frac{\sin \frac{N\delta}{2}}{\frac{N\delta}{2}} \right)^2$$

~~$f(\theta)$~~ *trascuro*

$$I_R = I_{\text{MAX}} \left(\frac{\sin \left(\frac{N \cdot 2\pi \Delta x \sin \theta}{2\lambda} \right)}{\frac{N \cdot 2\pi \Delta x \sin \theta}{2\lambda}} \right)^2 = I_{\text{MAX}} \left(\frac{\sin \left(\frac{\pi a \sin \theta}{\lambda} \right)}{\frac{\pi a \sin \theta}{\lambda}} \right)^2$$

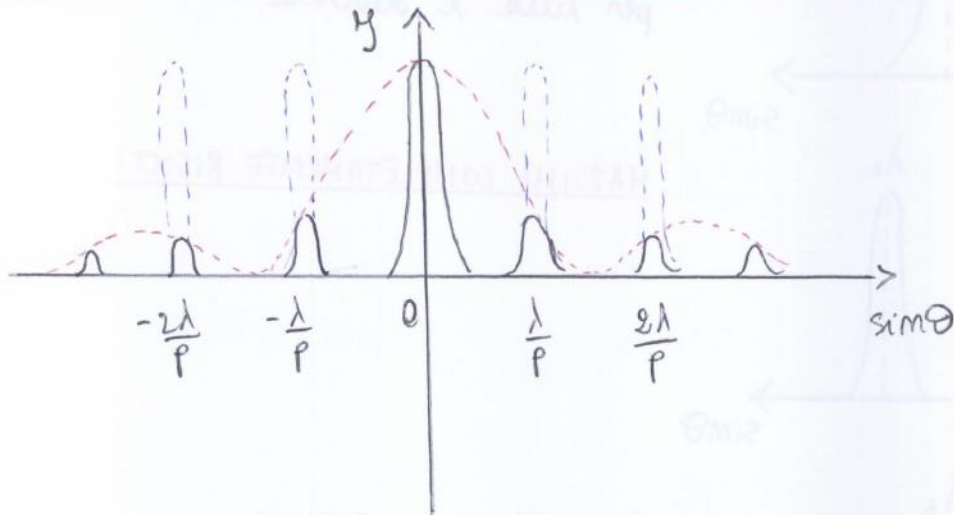
Dove I_1 è l'intensità di ogni singola fenditura, data del fenomeno della diffrazione: (105)

$$I_1 = I_{\max} \left(\frac{\sin\left(\frac{\pi a \sin\theta}{\lambda}\right)}{\frac{\pi a \sin\theta}{\lambda}} \right)^2$$

Quindi:

$$I_R = I_{\max} \left(\frac{\sin\left(\frac{\pi a \sin\theta}{\lambda}\right)}{\frac{\pi a \sin\theta}{\lambda}} \right)^2 \left(\frac{\sin\left(\frac{\pi N p \sin\theta}{\lambda}\right)}{\sin\left(\frac{\pi p \sin\theta}{\lambda}\right)} \right)^2$$

L'INTENSITÀ DELLA FIGURA DI INTERFERENZA È MODULATA DALLA DIFFRAZIONE.



POTERE RISOLUTIVO E DISPERSIVO RETICOLI

La posizione di un massimo nel reticolo di diffrazione si ha ponendo:

$$\frac{\pi p \sin\theta}{\lambda} = m\pi \rightarrow \sin\theta = \frac{m\lambda}{p} \quad \left(\begin{array}{l} \text{come per le } N \\ \text{ Sorgenti coerenti} \end{array} \right)$$

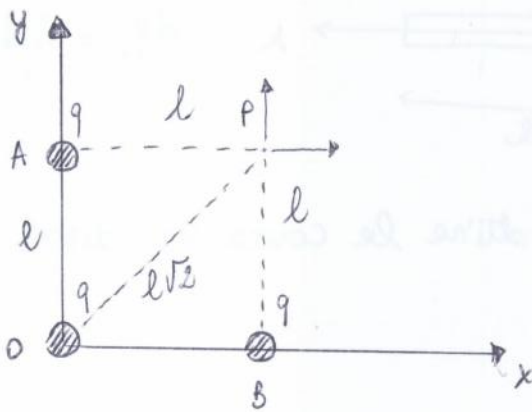
Deriviamo tale espressione:

$$\cos\theta d\theta = \frac{m}{p} d\lambda$$

Quindi, date due onde monocromatiche le cui lunghezze d'onda differiscono di $d\lambda$, i due massimi principali dello stesso ordine differiscono di $d\theta$.

Si definisce POTERE DISPERSIVO di un reticolo la grandezza

$$D = \frac{d\theta}{d\lambda} = \frac{m}{p \cos\theta}$$

ESERCIZIO 1

Calcolare campo e potenziale
elettrostatico nel vertice libero.

$$\vec{E} = \vec{E}_O + \vec{E}_A + \vec{E}_B$$

$$\vec{E}_O = \frac{1}{4\pi\epsilon_0} \frac{q}{l^2} \cdot \left(\frac{\sqrt{2}}{2} \vec{\mu}_x + \frac{\sqrt{2}}{2} \vec{\mu}_y \right)$$

$$\vec{E}_A = \frac{1}{4\pi\epsilon_0} \frac{q}{l^2} \vec{\mu}_x$$

$$\vec{E}_B = \frac{1}{4\pi\epsilon_0} \frac{q}{l^2} \vec{\mu}_y$$

$$\Rightarrow \vec{E} = \frac{1}{16\pi\epsilon_0} \frac{q}{l^2} \left[(\sqrt{2}+4) \vec{\mu}_x + (\sqrt{2}+4) \vec{\mu}_y \right] =$$

$$= \frac{4+\sqrt{2}}{16\pi\epsilon_0} \frac{q}{l^2} (\vec{\mu}_x + \vec{\mu}_y)$$

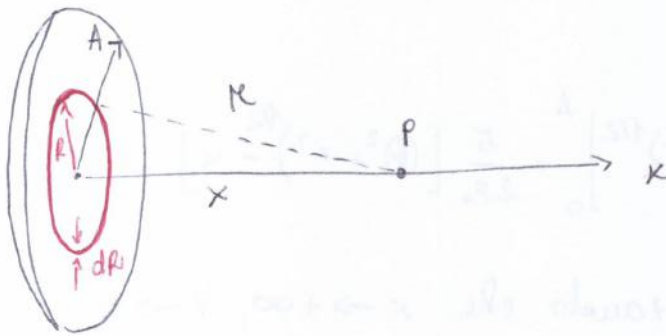
$$V_P = V_O + V_A + V_B = \frac{1}{4\pi\epsilon_0} \frac{q}{\sqrt{2}l} + \frac{1}{4\pi\epsilon_0} \frac{q}{l} \cdot 2 = \frac{q}{4\pi\epsilon_0 l} \left(\frac{1}{\sqrt{2}} + 2 \right) =$$

$$= \frac{q}{8\pi\epsilon_0 l} (\sqrt{2}+4)$$

$$W_{P \rightarrow \infty} = q_0 (V_P - V_{\infty}) = q_0 V_P = \frac{q q_0}{8\pi\epsilon_0 l} (4+\sqrt{2})$$

ESECUZIONE 3-4

Una carica q è distribuita uniformemente su un disco sottile di raggio A . Calcolare il campo elettrostatico sull'asse del disco



$$\sigma = \frac{q}{\pi A^2}$$

$$dq = \sigma d\Sigma$$

$$dq = \sigma 2\pi R dR$$

Per un anello:

$$d\vec{E} = \frac{1}{4\pi\epsilon_0} \frac{dq \times \vec{\mu}_x}{(R^2+x^2)^{3/2}} = \frac{\sigma 2\pi R dR \times \vec{\mu}_x}{4\pi\epsilon_0 (R^2+x^2)^{3/2}}$$

$$\vec{E} = \frac{\sigma 2\pi \times \int_0^A \frac{2R}{(R^2+x^2)^{3/2}} dR \vec{\mu}_x}{4\pi\epsilon_0} = \frac{\sigma \times (-2)}{4\epsilon_0} \left[(R^2+x^2)^{-1/2} \right]_0^A \vec{\mu}_x =$$

$$= -\frac{\sigma \times}{2\epsilon_0} \left[\frac{1}{\sqrt{x^2+A^2}} - \frac{1}{x} \right] \vec{\mu}_x = \frac{\sigma \times}{2\epsilon_0} \left[\frac{1}{x} - \frac{1}{\sqrt{x^2+A^2}} \right] \vec{\mu}_x = \frac{\sigma}{2\epsilon_0} \left(1 - \frac{x}{\sqrt{x^2+A^2}} \right) \vec{\mu}_x$$

• Se $x \gg R=A \rightarrow \vec{E} = \frac{\sigma}{2\epsilon_0} \left(1 - \frac{1}{\left(\frac{A}{x}\right)^2 + 1} \right) \vec{\mu}_x \sim \frac{\sigma}{2\epsilon_0} \left(1 - 1 + \frac{1}{2} \left(\frac{A}{x}\right)^2 \right) \vec{\mu}_x =$

$$= \frac{\sigma}{2\epsilon_0} \cdot \frac{1}{2} \left(\frac{A}{x}\right)^2 \vec{\mu}_x = \frac{q}{\pi A^2} \cdot \frac{1}{2\epsilon_0} \cdot \frac{1}{2} \frac{A^2}{x^2} \vec{\mu}_x = \frac{1}{4\pi\epsilon_0} \cdot \frac{q}{x^2} \vec{\mu}_x$$

Come se la carica fosse concentrata nel centro del disco

Quindi:

$$\vec{E} = \frac{\sigma}{2\epsilon_0} \left(1 - \frac{x}{\sqrt{x^2+A^2}} \right) \vec{\mu}_x$$

\vec{E} del disco, considerando anche se x è nello spazio negativo:

$$\vec{E} = \pm \frac{\sigma}{2\epsilon_0} \left(1 - \frac{|x|}{\sqrt{x^2+A^2}} \right) \vec{\mu}_x \rightarrow \text{se } A \rightarrow \infty \text{ (PIANO)} \Rightarrow \vec{E} = \pm \frac{\sigma}{2\epsilon_0}$$

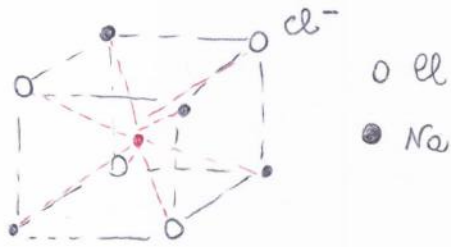
• N.B.

All'attraversamento del piano, il campo subisce una discontinuità delle comp. no nulle =

↑ pari a $\frac{\sigma}{\epsilon_0}$

ESERCIZIO 5

Si consideri la disposizione degli atomi di Cl e Na nella porzione cubica di reticolo cristallino di NaCl



- la distanza tra due ioni monovalenti vicini Na⁺ e Cl⁻ vale $a = 2,82 \cdot 10^{-10} \text{ m}$
- $|q| = 1,6 \cdot 10^{-19} \text{ C}$

a) Det. l'energia potenziale di un elettrone posto al centro del reticolo cubico.

$$U = qV$$

Per ragioni di simmetria il potenziale complessivo al centro del cubo è nullo \rightarrow sarà nullo anche l'ev. potenziale

b) Lavoro per portare una ione Cl⁻ da un vertice del cubo all'infinito

$$W = -|q|VA \quad \text{supp. } V(\infty) = 0$$

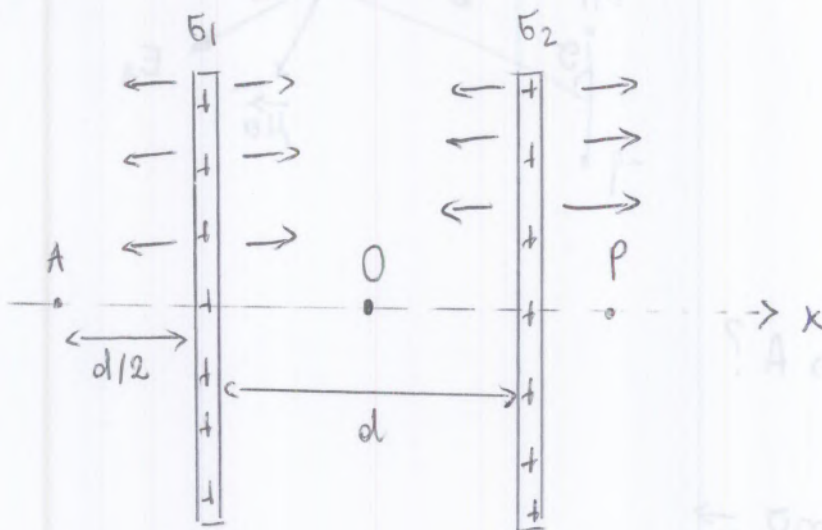
$$VA = \frac{1}{4\pi\epsilon_0} \frac{|q| \cdot 3}{a} - \frac{1}{4\pi\epsilon_0} \frac{|q| \cdot 3}{\sqrt{2}a} + \frac{1}{4\pi\epsilon_0} \frac{|q|}{\sqrt{3}a}$$

Per cui:

$$W = -|q| \cdot 3 \cdot \frac{1}{4\pi\epsilon_0 a} \cdot |q| \left[1 - \frac{1}{\sqrt{2}} + \frac{1}{3\sqrt{3}} \right] = \frac{-3|q|^2}{4\pi\epsilon_0 a} \left[1 - \frac{1}{\sqrt{2}} + \frac{1}{3\sqrt{3}} \right] = -1,19 \cdot 10^{-18} \text{ J}$$

$W < 0 \Rightarrow$ effettuato dall'esterno sul sistema

ESERCIZIO 7 6-10 OTTOBRE



$$\sigma_1 = 17.72 \cdot 10^{-8} \text{ C/m}^2$$

$$\sigma_2 = 8.86 \cdot 10^{-8} \text{ C/m}^2$$

$$d = 0,2 \text{ m}$$

1) Potenziale lungo l'asse x , nell'ipotesi che $V(0) = 0$.

• $x < -d/2$

$$\vec{E} = \frac{\sigma_1}{2\epsilon_0} (-\vec{u}_x) + \frac{\sigma_2}{2\epsilon_0} (-\vec{u}_x) = -\frac{\sigma_1}{2\epsilon_0} \vec{u}_x - \frac{\sigma_2}{2\epsilon_0} \vec{u}_x = -\left(\frac{\sigma_1}{2\epsilon_0} + \frac{\sigma_2}{2\epsilon_0}\right) \vec{u}_x$$

$$\vec{E} = -\text{grad} V = -\frac{dV}{dx}$$

$$V_1 = -\int E dx = \left(\frac{\sigma_1}{2\epsilon_0} + \frac{\sigma_2}{2\epsilon_0}\right) x + C_1$$

• $-d/2 < x < d/2$

$$\vec{E} = \frac{\sigma_1}{2\epsilon_0} \vec{u}_x - \frac{\sigma_2}{2\epsilon_0} \vec{u}_x$$

$$V_2 = -\int E dx = \left(\frac{\sigma_2}{2\epsilon_0} - \frac{\sigma_1}{2\epsilon_0}\right) x + C_2$$

• $x > d/2$

$$\vec{E} = \frac{\sigma_1}{2\epsilon_0} \vec{u}_x + \frac{\sigma_2}{2\epsilon_0} \vec{u}_x$$

$$V_3 = -\int E dx = -\left(\frac{\sigma_1}{2\epsilon_0} + \frac{\sigma_2}{2\epsilon_0}\right) x + C_3$$

Determiniamo le costanti:

$$V_2(0) = C_2 = 0 \Rightarrow C_2 = 0 \Rightarrow V_2 = \left(\frac{\sigma_2}{2\epsilon_0} - \frac{\sigma_1}{2\epsilon_0}\right) x$$

$$\frac{1}{2} m_p v_{\min}^2 = q V_{x=-d/2} - q V_A = q \Delta V = E_{K_{A_{\min}}}$$

e) un elettrone viene lasciato libero in A con $v=0$.

Riuscirà a raggiungere P?

$-q E_A > -q E_{x=-d/2} \Rightarrow \Delta E < 0$
 l'elettrone accelera fino a $x = -d/2$ per effetto dell'aumento del potenziale, poi comincerà a decelerare per effetto della sua diminuzione, fino a fermarsi quando l' E_{pot} raggiunge il valore che aveva in A. ($x = -d/2$)

$$\text{in A} \rightarrow U_A = -e V_A = -e \left[- \left(\frac{\sigma_1}{2\epsilon_0} + \frac{\sigma_2}{2\epsilon_0} \right) d + \frac{\sigma_1 d}{2\epsilon_0} \right] = 1,6 \cdot 10^{-16} \text{ J}$$

in $-d/2 < x < d/2$:

$$V_{x=-d/2} = V_2(x = -d/2) = - \left(- \frac{\sigma_1}{2\epsilon_0} + \frac{\sigma_2}{2\epsilon_0} \right) \frac{d}{2} = 5 \cdot 10^2 \text{ V} \rightarrow U_{x=-d/2} = -e V_{x=-d/2} = -8 \cdot 10^{-17} \text{ J}$$

$$V_{x=d/2} = V_2(x = d/2) = \left(- \frac{\sigma_1}{2\epsilon_0} + \frac{\sigma_2}{2\epsilon_0} \right) \frac{d}{2} = -5 \cdot 10^2 \text{ V} \rightarrow U_{x=d/2} = 8 \cdot 10^{-17} \text{ J}$$

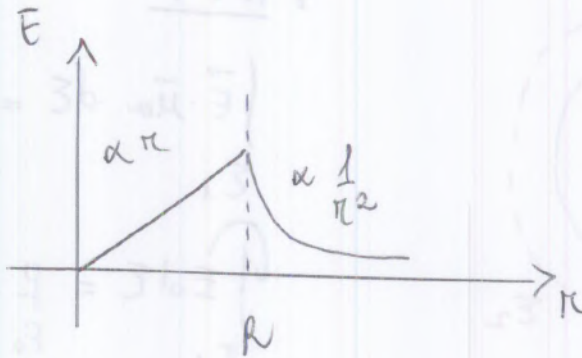
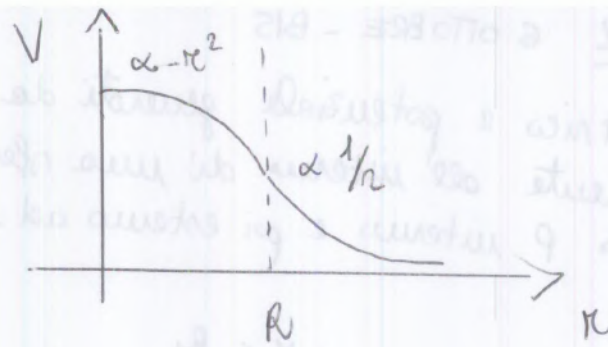
l'elettrone riesce a raggiungere il punto P, perché

$$U_{x^*} \leq -e V_{x=-d/2}$$

$$-e \left[- \left(\frac{\sigma_1}{2\epsilon_0} + \frac{\sigma_2}{2\epsilon_0} \right) x^* + \frac{\sigma_2 d}{2\epsilon_0} \right] = 1,6 \cdot 10^{-16} \text{ J} \rightarrow x^* \leq 13,3 \text{ cm}$$

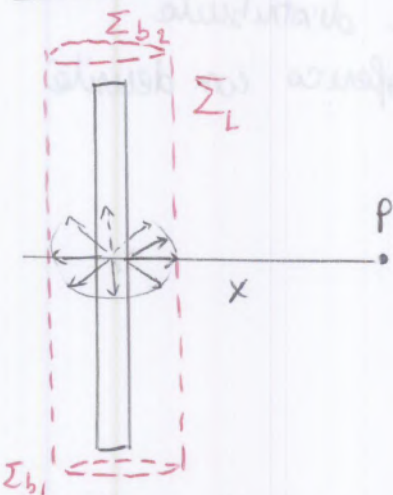
$$V_1 = \frac{-\rho r^2}{6\epsilon_0} + \frac{\rho R^2}{2\epsilon_0}$$

$$V_2 = \frac{\rho R^3}{3\epsilon_0 r}$$



[Faint handwritten notes and calculations, including various mathematical expressions and diagrams.]

ESERCIZIO 3 13-17 OTTOBRE



Calcolare il campo elettrostatico \vec{E} e il potenziale V in un pto P che dista x dal filo. (FILLO INFINITO)

Si ipotizzi $\lambda = dq/dl > 0$

$$\int_{\Sigma_{ch}} \vec{E} \cdot \vec{u}_n dE = \frac{q}{\epsilon_0} \lambda l$$

$$\int_{\Sigma_L} \vec{E} \cdot \vec{u}_n dE + \int_{\Sigma_{b1}} \vec{E} \cdot \vec{u}_n dE + \int_{\Sigma_{b2}} \vec{E} \cdot \vec{u}_n dE = \frac{\lambda l}{\epsilon_0}$$

$$E \cdot 2\pi r l = \frac{\lambda l}{\epsilon_0}$$

$$\vec{E} = \frac{\lambda}{2\pi\epsilon_0 r} \vec{u}_r \Rightarrow \text{nel punto } P: \vec{E} = \frac{\lambda}{2\pi\epsilon_0 x} \vec{u}_x$$

$$V(P) = - \int E \cdot dx = - \frac{\lambda}{2\pi\epsilon_0} \ln x + c$$

$V(+\infty) = c = 0 \Rightarrow c = 0$? in questo caso non possiamo usare questa condizione al contorno!

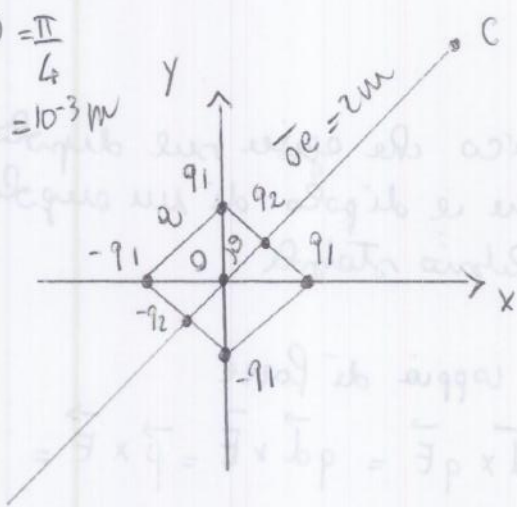
$$V(P) = - \frac{\lambda}{2\pi\epsilon_0} \ln x + const$$

Perché la distribuzione non è limitata in una zona finita dello spazio!

ESECUZIONE 2 13-17 OTTOBRE

Si determini il momento di dipolo e il potenziale generato dalla seguente distribuzione di cariche in un pto c a grande distanza da essa

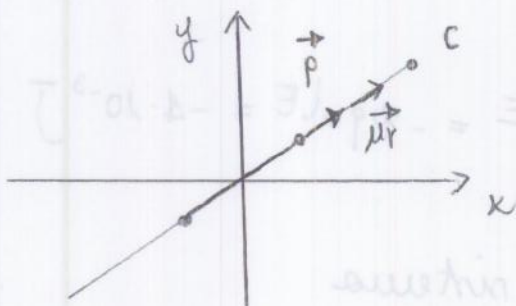
$\theta = \frac{\pi}{4}$
 $q = 10^{-3} \mu\text{C}$



Trattiamo il sistema in approssimazione di dipolo:

$\vec{p} = \sum_i q_i \vec{d}_i$ dove \vec{d}_i è il vettore che congiunge il punto O che scegliamo come riferimento alle cariche i-esime

$$\begin{aligned} \vec{p} &= \frac{\sqrt{2}a}{2} q_1 \vec{u}_y + \frac{\sqrt{2}a}{2} q_1 \vec{u}_y + \frac{\sqrt{2}a}{2} q_1 \vec{u}_x + \frac{\sqrt{2}a}{2} q_1 \vec{u}_x + \frac{a}{2} q_2 \left(\frac{\sqrt{2}}{2} \vec{u}_x + \frac{\sqrt{2}}{2} \vec{u}_y \right) + \frac{a}{2} q_2 \left(\frac{\sqrt{2}}{2} \vec{u}_x + \frac{\sqrt{2}}{2} \vec{u}_y \right) \\ &= \left(2 \frac{\sqrt{2}a}{2} q_1 + \frac{\sqrt{2}a}{2} q_2 + \frac{\sqrt{2}a}{2} q_2 \right) \vec{u}_x + \left(2 \frac{\sqrt{2}a}{2} q_1 + \frac{\sqrt{2}a}{2} q_2 + \frac{\sqrt{2}a}{2} q_2 \right) \vec{u}_y = \\ &= \left(\sqrt{2}a q_1 + 2 \frac{\sqrt{2}a}{4} q_2 \right) \vec{u}_x + \left(\sqrt{2}a q_1 + \frac{\sqrt{2}a}{2} q_2 \right) \vec{u}_y = \\ &= \frac{\sqrt{2}a}{2} (2q_1 + q_2) \vec{u}_x + \frac{\sqrt{2}a}{2} (2q_1 + q_2) \vec{u}_y = \\ &= (2q_1 + q_2) \frac{\sqrt{2}a}{2} (\vec{u}_x + \vec{u}_y) = 6,36 \cdot 10^{-12} (\vec{u}_x + \vec{u}_y) \text{ C}\cdot\text{m} \end{aligned}$$



$$V(c) = \frac{1}{4\pi\epsilon_0} \cdot \frac{p \cos\theta}{r^2} = \frac{\vec{p} \cdot \vec{u}_r}{4\pi\epsilon_0 r^2}$$

$$p = \frac{\sqrt{2}a}{2} (2q_1 + q_2)$$

quindi:

$$V(c) = \frac{1}{4\pi\epsilon_0} \frac{\left(\frac{\sqrt{2}a(2q_1 + q_2)}{2} \right) \cos\theta}{r^2} = 2,02 \cdot 10^{-2} \text{ V}$$

Troncano c_1 :

$$V_1(R) = V_2(R) \rightarrow -\frac{1}{\epsilon_0} \left(\frac{AR^3}{12} - \frac{BR^4}{20} \right) + c_1 = \frac{1}{\epsilon_0} \cdot \frac{1}{R} \left(\frac{AR^4}{4} - \frac{BR^5}{5} \right)$$

$$c_1 = \frac{1}{\epsilon_0} \left[\left(\frac{AR^3}{4} - \frac{BR^4}{5} \right) + \frac{AR^3}{12} - \frac{BR^4}{20} \right] =$$

$$= \frac{1}{\epsilon_0} \left[\frac{4}{12} AR^3 - \frac{5}{20} BR^4 \right] =$$

$$= \frac{1}{\epsilon_0} \left[\frac{AR^3}{3} - \frac{1}{4} BR^4 \right]$$

Quindi:

$$V_1 = -\frac{1}{\epsilon_0} \left(\frac{AR^3}{12} - \frac{BR^4}{20} \right) + \frac{1}{\epsilon_0} \left[\frac{AR^3}{3} - \frac{BR^4}{4} \right]$$

$$V_2 = \frac{1}{\epsilon_0 R} \left(\frac{AR^4}{4} - \frac{BR^5}{5} \right)$$



ESERCIZIO 7 13-17 OTTOBRE

In una regione di spazio compresa tra due piani paralleli il pot. elettrostatico varia secondo:

$V(x) = V_0 + Kx^{5/4}$, dove x rappresenta la dist. del piano a pot. minore e V_0 e K sono due costanti.

•) Det. campo elettrostatico e densità volumica di carica in tale regione, operando in vuoto.

$$\vec{E} = - \text{grad} V = - \frac{dV}{dx} \vec{u}_x = - \frac{5}{4} K x^{1/4}$$

$$\text{div} \vec{E} = \left(\frac{\partial E_x}{\partial x} + \frac{\partial E_y}{\partial y} + \frac{\partial E_z}{\partial z} \right) = \rho / \epsilon_0 \rightarrow \rho = \epsilon_0 \frac{dE_x}{dx} = - \frac{\epsilon_0 5}{16} K x^{-3/4}$$

$$\rho = - \frac{5}{16} \epsilon_0 K x^{-3/4}$$

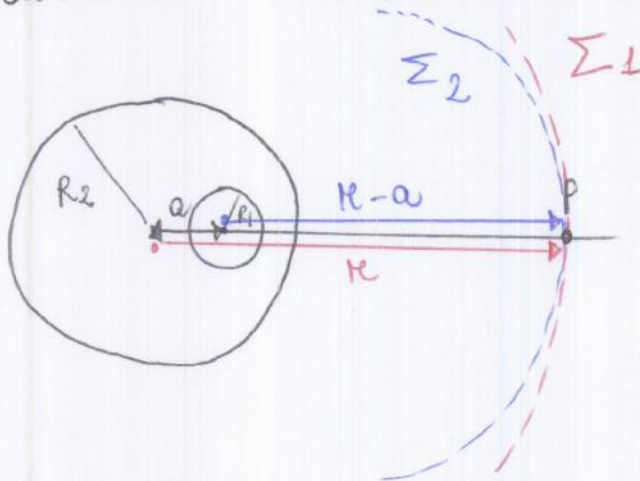
$$\text{div} \vec{E} = \frac{\partial E_x}{\partial x} = \rho / \epsilon_0$$



$$\rho = \epsilon_0 \left(\frac{\partial E_x}{\partial x} + \frac{\partial E_y}{\partial y} + \frac{\partial E_z}{\partial z} \right)$$

ESERCIZIO 5 13-17 OTTOBRE

Si consideri una sfera di raggio R_2 contenente cariche uniformemente distribuite con densità volumica ρ eccetto che in una cavità, priva di cariche, anch'essa sferica di raggio R_1 , ma non concentrica alla sfera maggiore. I centri delle due sfere distano a ($< R_2 - R_1$). Si determini campo elettrico e potenziale in un pts P congiungente i centri delle due sfere, a distanza $\kappa > R_2$ dal centro della sfera maggiore



Utilizziamo il principio di sovrapposizione, calcolando separatamente i due campi e i due potenziali, poi ne facciamo la differenza

• $\kappa > R_2$ ①

$$\int_{\Sigma_1} \vec{E} \cdot \vec{u}_m \cdot dE = \frac{1}{\epsilon_0} \rho \left(\frac{4}{3} \pi R_2^3 \right)$$

$$E_1 \cdot 4\pi \kappa^2 = \frac{4\pi}{3\epsilon_0} \rho R_2^3 \rightarrow \vec{E}_1 = \frac{1}{3\epsilon_0} \frac{\rho}{\kappa^2} R_2^3 \vec{u}_r$$

$$V_1 = -\int E_1 dr = \frac{\rho R_2^3}{3\epsilon_0 \kappa} + C \rightarrow = 0 \quad V(\infty) = 0$$

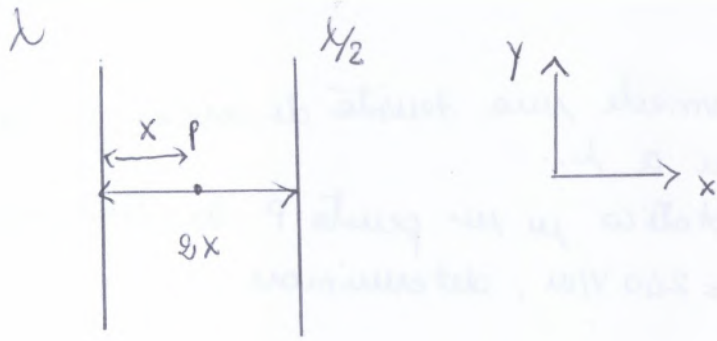
• $\kappa - a > R_2$ ②

$$E_2 \cdot 4\pi (\kappa - a)^2 = \frac{4\pi}{3\epsilon_0} \rho R_1^3 \rightarrow \vec{E}_2 = \frac{1}{3\epsilon_0} \frac{\rho}{(\kappa - a)^2} R_1^3 \vec{u}_r$$

$$\vec{E}_P = \vec{E}_1 - \vec{E}_2 = \frac{\rho}{3\epsilon_0} \left[\frac{R_2^3}{\kappa^2} - \frac{R_1^3}{(\kappa - a)^2} \right] \vec{u}_r$$

$$V_2 = -\int E_2 dr = \frac{\rho R_1^3}{3\epsilon_0 (\kappa - a)} + C' \rightarrow = 0$$

$$V(P) = V_1 - V_2 = \frac{\rho}{3\epsilon_0} \left[\frac{R_2^3}{\kappa} - \frac{R_1^3}{(\kappa - a)} \right]$$



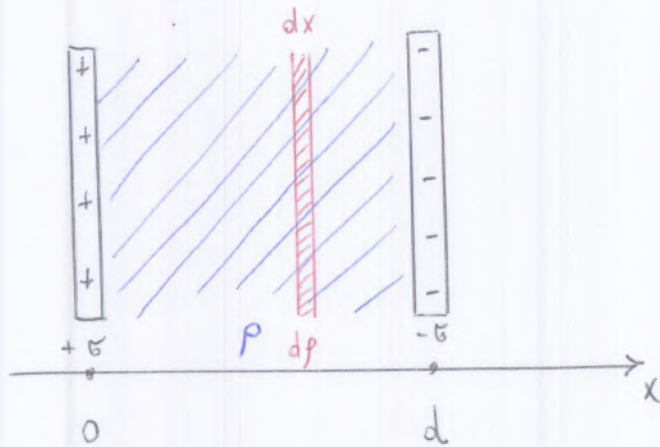
$$E_1 = \frac{\lambda}{2\pi\epsilon_0 x} \vec{\mu}_x$$

$$\Rightarrow \vec{E}_1 + \vec{E}_2 = \vec{E}(P) = \frac{\lambda}{4\pi\epsilon_0 x} \vec{\mu}_x$$

$$E_2 = \frac{\lambda}{4\pi\epsilon_0 x} (-\vec{\mu}_x)$$

ESERCIZIO 8

13-17 OTTOBRE 2014



$$\rho = \rho_0 x$$

- Determinare potenziale elettrostatico e campo elettrostatico.

Sia $V=0$ per $x=d$

$$V = \frac{\sigma}{\epsilon_0} d$$

$$\vec{E} = -\text{grad}V \rightarrow -\nabla \cdot \nabla V = \frac{\rho}{\epsilon_0} \Rightarrow \nabla^2 V = \frac{\rho}{\epsilon_0}$$

$$\frac{d^2V}{dx^2} = \frac{\rho}{\epsilon_0} \rightarrow \frac{dV}{dx} = -\int \frac{\rho_0 x}{\epsilon_0} dx = -\frac{\rho_0 x^2}{2\epsilon_0} + c_1$$

$$V = \int \left(-\frac{\rho_0 x^2}{2\epsilon_0} + c_1 \right) dx = -\frac{\rho_0 x^3}{6\epsilon_0} + c_1 x + c_2$$

$$\left. \begin{array}{l} x=d \rightarrow 0 = -\frac{\rho_0 d^3}{6\epsilon_0} + c_1 d + c_2 \\ x=0 \rightarrow V = V_0 = c_2 \end{array} \right\} \rightarrow$$

$$c_2 = V_0$$

$$c_1 = \frac{\rho_0 d^3}{6\epsilon_0 d} - \frac{V_0}{d} = \frac{\rho_0 d^2}{6\epsilon_0} - \frac{V_0}{d}$$

$$\vec{E} = -\text{grad}V = -\frac{dV}{dx} \vec{\mu}_x$$

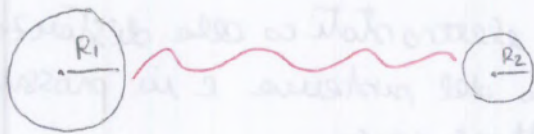
$$\vec{E}(x) = \left(+\frac{\rho_0 x^2}{3\epsilon_0} - \frac{\rho_0 d^2}{6\epsilon_0} + \frac{V_0}{d} \right) \vec{\mu}_x$$

ESERCIZIO 2 27 OTTOBRE 2014

Si considerino due conduttori sferici a distanza molto grande, di raggio $R_1 = 0,3 \text{ m}$, $R_2 = 0,2 \text{ m}$.

Essi poggiano, isolati, su stame densità di carica elettrica superficiale $\sigma = 5 \cdot 10^{-4} \text{ C/m}^2$.

Trovare la densità di carica elettrica superficiale su ciascun conduttore dopo che sono stati collegati da un filo metallico.



Prima del contatto:

$$q_1 = \sigma 4\pi R_1^2 = 5,65 \cdot 10^{-4} \text{ C}$$

$$q_2 = \sigma 4\pi R_2^2 = 2,51 \cdot 10^{-4} \text{ C}$$

$$V_1 = \frac{q_1}{C_1} = \frac{q_1}{4\pi\epsilon_0 R_1}$$

$$V_2 = \frac{q_2}{C_2} = \frac{q_2}{4\pi\epsilon_0 R_2}$$

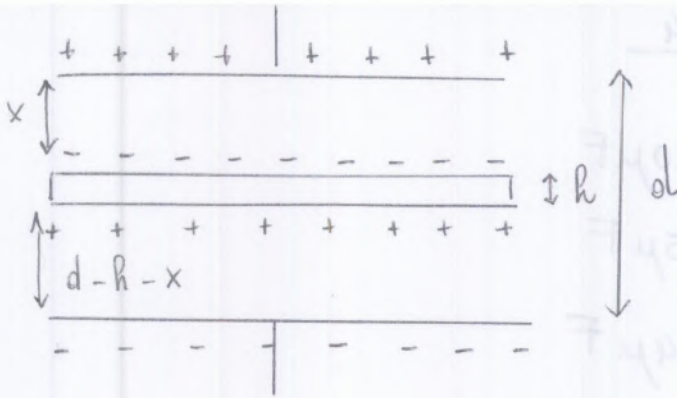
Dopo il contatto \rightarrow stesso potenziale
stessa carica totale

$$V = \frac{q_1'}{4\pi\epsilon_0 R_1} = \frac{q_2'}{4\pi\epsilon_0 R_2} \Rightarrow \boxed{q_1' = q_2' \frac{R_1}{R_2}}$$

$$q_1' + q_2' = q_1 + q_2 = 8,16 \cdot 10^{-4} \text{ C}$$

$$\Rightarrow q_2' \frac{R_1}{R_2} + q_2' = 8,16 \cdot 10^{-4} \text{ C} \rightarrow q_2' = 3,26 \cdot 10^{-4} \text{ C}$$

$$\Rightarrow \sigma_1' = \frac{q_1'}{4\pi R_1^2}, \quad \sigma_2' = \frac{q_2'}{4\pi R_2^2} \quad q_1' = 4,89 \cdot 10^{-4} \text{ C}$$

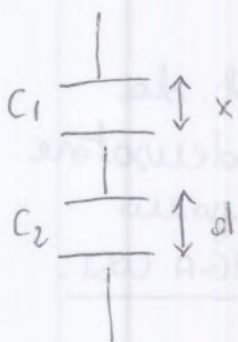


$$W = U_i - U_f$$

$$U = \frac{1}{2} \frac{q^2}{C}$$

$$U = \frac{1}{2} \frac{\epsilon_0 L^2 V^2}{d}$$

Il sistema è equivalente a due condensatori in serie:



$$C_1 = \epsilon_0 \frac{L^2}{x}$$

$$C_2 = \frac{\epsilon_0 L^2}{d-h-x}$$

$$C_{eq} = \frac{1}{\frac{x}{\epsilon_0 L^2} + \frac{d-h-x}{\epsilon_0 L^2}} = \frac{\epsilon_0 L^2}{d-h} = C'$$

come se diminuisse la distanza tra le armature del cond. di una dist. h.

Perché $q = \text{cost}$, l'energia U' varierà per effetto delle variazioni della capacità:

$$U' = \frac{1}{2} \frac{q^2}{C'} \quad \text{senza lastre: } C = \frac{q}{V} \rightarrow q = CV$$

$$\text{quindi: } q = \frac{\epsilon_0 L^2 V}{d}$$

$$U' = \frac{1}{2} \frac{\epsilon_0^2 L^4 V^2}{d^2} \cdot \frac{d-h}{\epsilon_0 L^2} = \frac{1}{2} \epsilon_0 L^2 V^2 \frac{d-h}{d^2}$$

$$W = U - U' = \frac{1}{2} \frac{\epsilon_0 L^2 V^2}{d} - \frac{1}{2} \epsilon_0 L^2 V^2 \frac{d-h}{d^2} = \frac{1}{2} \frac{\epsilon_0 L^2 V^2}{d} \left(1 - \frac{d-h}{d}\right) = \frac{1}{2} \frac{\epsilon_0 L^2 V^2 h}{d} > 0 \quad \text{lavoro fatto dal sistema}$$

Il sistema equivale a due condensatori in parallelo:

$$C_1 = \frac{\epsilon_0 S}{\frac{2}{3}d} = \frac{3}{2} \frac{\epsilon_0 S}{d} \quad V = \frac{q-b}{\epsilon_0} V = \frac{q-b}{\epsilon_0} \cdot \frac{V}{b} = \frac{q}{\epsilon_0} \quad \downarrow \text{STESSA } \Delta V$$

$$C_2 = \frac{\epsilon_0 S}{\frac{1}{3}d} = 3 \frac{\epsilon_0 S}{d}$$

$$V_1 = \frac{q_1}{C_1} = V_2 = \frac{q_2}{C_2} \rightarrow \frac{q_1 \cdot 2d}{3\epsilon_0 S} = \frac{q_2 \cdot d}{3\epsilon_0 S}$$

La carica totale che si distribuisce sulle armature è pari a $-q$:

$$\boxed{q_1 = \frac{q_2}{2}}$$

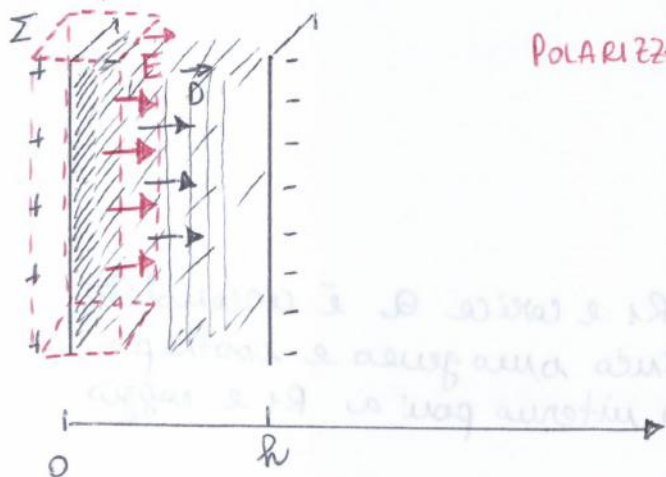
$$q_1 + q_2 = -q$$

$$\frac{q_2}{2} + q_2 = -q \rightarrow \begin{cases} q_2 = -\frac{2}{3}q \\ q_1 = -\frac{1}{3}q \end{cases}$$

ESERCIZIO 7 27-10-2014

Un condensatore ad armature piane e parallele, di area S e distanza h , è riempito con un dielettrico con $K = \frac{4h}{x+h}$ con $0 < x < h$. Le armature sono caricate con una carica Q_0 . Determinare:

- Campo elettrostatico all'interno del condensatore
- σ_p sulle sup. del diel. a contatto con le armature
- p_p all'interno del diel.
- Capacità condensatore



POLARIZZAZIONE NON UNIFORME

$$a) \phi(\vec{D})_{\Sigma} = \int_{\Sigma} \vec{D} \cdot \vec{\mu}_m \cdot d\Sigma = D_m \int_{\Sigma} d\Sigma = D_m S = q = Q_0$$

$$D_m = \frac{Q_0}{S} = \epsilon E_m \Rightarrow \vec{E}_m = \vec{E} = \frac{Q_0}{S} \cdot \frac{1}{\epsilon} \vec{\mu}_x = \frac{Q_0}{S} \cdot \frac{1}{\epsilon_0 K} \vec{\mu}_x = \frac{Q_0}{S} \cdot \frac{1}{\epsilon_0} \cdot \frac{(x+h)}{4h} \vec{\mu}_x$$

$$\vec{E} = \frac{Q_0(x+h)}{4h\epsilon_0 S} \vec{\mu}_x$$

$$b) \sigma_p = \vec{P} \cdot \vec{\mu}_m$$

$$\vec{P} = \epsilon_0 K \vec{E} = \epsilon_0 (K-1) \vec{E} = \epsilon_0 \frac{4h-x-h}{x+h} \cdot \frac{Q_0(x+h)}{4h\epsilon_0 S} \vec{\mu}_x = \frac{(3h-x)Q_0}{4hS} \vec{\mu}_x$$

$$\sigma_p(x=h) = \vec{P} \cdot \vec{\mu}_m = P = \frac{3h Q_0}{4hS} = \frac{3Q_0}{4S}$$

$$\sigma_p(x=0) = -P = -\frac{3Q_0}{4S}$$

$$c) p_p = -\text{div} \vec{P} = -\frac{\partial P}{\partial x} = -\frac{d}{dx} \left(\frac{3hQ_0}{4hS} - \frac{Q_0 x}{4hS} \right) = \frac{Q_0}{4hS}$$

$$\bullet \quad r > R_2 \quad \rightarrow \quad \int_{\Sigma_{ch}} \vec{D} \cdot \vec{\mu}_r \, d\vec{E} = Q$$

$$D \cdot 4\pi r^2 = Q \quad \rightarrow \quad D = \frac{Q}{4\pi r^2} \vec{\mu}_r$$

$$\vec{E} = \frac{\vec{D}}{\epsilon_0} = \frac{Q}{4\pi \epsilon_0 r^2} \vec{\mu}_r$$

$$2) \quad U_e = \frac{1}{2} \epsilon_0 E^2$$

$$U_e = \frac{1}{2} \epsilon_0 k E^2 = \frac{1}{2} \frac{D^2}{\epsilon_0} = \frac{1}{2} D E$$

$$\bullet \quad r < R_1 \quad \vec{E} = 0 \quad \rightarrow \quad U_e = 0$$

$$\bullet \quad R_1 < r < R_2 \quad \vec{E} = \frac{Q}{4\pi \epsilon_0 k r^2} \vec{\mu}_r$$

$$U_e = \frac{1}{2} \epsilon_0 k \frac{Q^2}{16\pi^2 \epsilon_0^2 k^2 r^4} = \frac{1}{32} \frac{Q^2}{\pi^2 \epsilon_0 k r^4}$$

$$U_e = \int_{R_1}^{R_2} \frac{1}{32} \frac{Q^2}{\pi^2 \epsilon_0 k r^4} \cdot 4\pi r^2 \, dr = \int_{R_1}^{R_2} \frac{Q^2}{8\pi \epsilon_0 k r^2} \, dr = \frac{Q^2}{8\pi \epsilon_0 k} \left[\frac{1}{R_1} - \frac{1}{R_2} \right]$$

$$\bullet \quad r > R_2 \quad \vec{E} = \frac{Q}{4\pi \epsilon_0 r^2} \vec{\mu}_r$$

$$U_e = \frac{1}{2} \epsilon_0 \frac{Q^2}{16\pi^2 \epsilon_0^2 r^4} = \frac{1}{32} \frac{Q^2}{\pi^2 \epsilon_0 r^4}$$

$$U_e = \int_{R_2}^{\infty} \frac{1}{32} \frac{Q^2}{\pi^2 \epsilon_0 r^4} \cdot 4\pi r^2 \, dr = \int_{R_2}^{\infty} \frac{1}{8} \frac{Q^2}{\pi \epsilon_0 r^2} \, dr = \frac{Q^2}{8\pi \epsilon_0} \left[\frac{1}{R_2} \right]$$

$$U_{eTOT} = \frac{Q^2}{8\pi \epsilon_0} \left[\frac{1}{kR_1} - \frac{1}{kR_2} + \frac{1}{R_2} \right]$$

$$C = \frac{k_1 k_2 \epsilon_0 S}{k_1 d_1 + k_2 d_2}$$

$$Q = CV = \frac{k_1 k_2 \epsilon_0 S V}{k_1 d_1 + k_2 d_2}$$

d) $\sigma_p = \vec{P} \cdot \vec{u}_m$

$$\vec{P} = \epsilon_0 \chi \vec{E} \Rightarrow \vec{P}_1 = \epsilon_0 (k_1 - 1) \vec{E}_1 = \frac{\epsilon_0 (k_1 - 1) k_2 V}{k_2 d_1 + k_1 d_2} \vec{u}_x$$

$$\sigma_{p1} = P(x=d_1) = \frac{\epsilon_0 (k_1 - 1) k_2 V}{k_2 d_1 + k_1 d_2} \quad \vec{P}_2 = \frac{\epsilon_0 (k_2 - 1) k_1 V}{k_2 d_1 + k_1 d_2} \vec{u}_x$$

$$\sigma_{p2} = \vec{P} \cdot \vec{u}_{m2} = -P(x=d_2) = -\frac{\epsilon_0 (k_2 - 1) k_1 V}{k_2 d_1 + k_1 d_2}$$

$$\sigma_{pTOT} \text{ sulla sup. di separazione} = \sigma_{p1} + \sigma_{p2} = \frac{(\epsilon_0 (k_1 - 1) k_2 V - \epsilon_0 (k_2 - 1) k_1 V)}{k_2 d_1 + k_1 d_2} =$$

$$= \frac{\epsilon_0 V}{k_2 d_1 + k_1 d_2} \left((k_1 - 1) k_2 - (k_2 - 1) k_1 \right) =$$

$$= \frac{\epsilon_0 V}{k_2 d_1 + k_1 d_2} (k_1 k_2 - k_2 - k_2 k_1 + k_1) = \frac{(k_1 - k_2) \epsilon_0 V}{k_2 d_1 + k_1 d_2}$$

$$\rho_p = -\text{div} \vec{P} = 0$$

ESERCIZIO 2 31 OTTOBRE - 3 NOV. 2014

In un punto di un dielettrico non omogeneo la polarizzazione vale $\vec{P} = ax^2 \vec{u}_x + by \vec{u}_y + cy \vec{u}_z$. Determinare se è presente una densità di carica di polarizzazione all'interno del diel. e in caso affermativo calcolarne il valore.

$$\rho_p = -\text{div} \vec{P} = -\left(\frac{\partial P_x}{\partial x} + \frac{\partial P_y}{\partial y} + \frac{\partial P_z}{\partial z} \right) = -2ax - b$$

$$\Rightarrow \sigma_p = \vec{P} \cdot \vec{u}_m = \pm \frac{q(K-1)}{L(L+(K-1)x)}$$

RICORDA CHE $\sigma_p = \sigma_1 \cdot \left(\frac{K-1}{K}\right)$

↑
densità di carica
sul condensatore.
(Parte di armatura affacciata
al dielettrico)

$$C = \frac{Q}{V}$$



$$c) D_{1m} = D_{2m}$$

$$k_1 E_{1m} = E_{2m} k_2$$

$$\left\{ k_1 E_1 = k_2 E_2 \rightarrow E_1 = \frac{k_2}{k_1} E_2 \right.$$

$$\left\{ V = E_1 d_1 + E_2 d_2 \rightarrow E_2 = \frac{V}{\left(\frac{k_2 d_1 + d_2}{k_1}\right)} = 4,17 \cdot 10^4 \text{ V/m} \right.$$

$$E_1 = \frac{3}{2} E_2 = 6,25 \cdot 10^4 \text{ V/m}$$

$$C_3 = 7,08 \cdot 10^{-10} \text{ F}$$

$$q_3 = C_3 V = 1,77 \cdot 10^{-7} \text{ C}$$

$$\sigma_3 = \frac{q_3}{S_3} = 4,425 \cdot 10^{-6} \text{ C/m}^2$$

$$\Rightarrow E_3 = \frac{\sigma_3}{\epsilon_0 k_3} = 5 \cdot 10^4 \text{ V/m}$$

d) Non ci sono cariche di pol. sulle sup. di separazione tra il die 1,2 e il die 3, poiché $\vec{P} \cdot \vec{n} = \sigma_p = 0$

$$\sigma_{p1} = \vec{P}_1 \cdot \vec{n}_{m1} = P_1 = \epsilon_0 (k_1 - 1) \cdot E_1 = 3,87 \cdot 10^{-6} \text{ C/m}^2$$

$$\sigma_{p2} = \vec{P}_2 \cdot \vec{n}_{m2} = -P_2 = -\epsilon_0 (k_2 - 1) E_2 = -4,059 \cdot 10^{-6} \text{ C/m}^2$$

$$\sigma_{p \text{ tot}} = \sigma_{p1} - \sigma_{p2} = -0,189 \cdot 10^{-6} \text{ C/m}^2 = 1,89 \cdot 10^{-7} \text{ C/m}^2$$

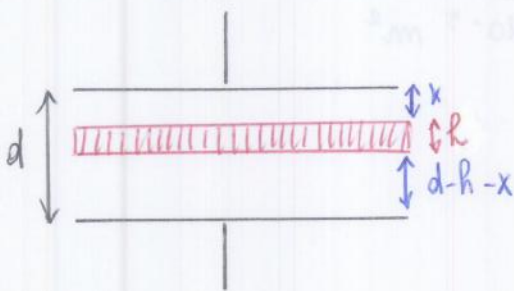
ESERCIZIO ESAME

Un condensatore ad armature piatte parallele distanti $d = 4 \text{ mm}$, con $C = 0,05 \text{ nF}$ viene collegato ad un generatore con $V_0 = 600 \text{ V}$

a) determinare carica ed en. immagazzinate del condensatore

Successivamente una lamina di spessore $h = 10^{-3} \text{ m}$ viene inserita parallelamente alle armature. Determinare:

- b) Capacità del condensatore dopo che la lamina è stata inserita
- c) lavoro compiuto per inserire la lamina (disegnare il risult.)

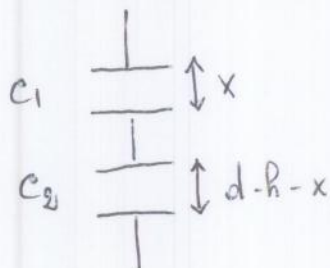


• Primo della lamina:

$$C_i = \frac{q}{V} \rightarrow q = C_i \cdot V = 3 \cdot 10^{-8} \text{ C}$$

$$U_{e_i} = \frac{1}{2} C V^2 = 9 \cdot 10^{-6} \text{ J}$$

Inserire la lamina:



$$C_{eq} = \frac{C_1 C_2}{C_1 + C_2}$$

$$C_1 = \frac{\epsilon_0 \Sigma}{x}$$

$$C_2 = \frac{\epsilon_0 \Sigma}{d-h-x}$$

le superficie le trovi dalle cond. iniziale

$$C_i = \frac{\epsilon_0 \Sigma}{d}$$

$$\Sigma = \frac{C_i d}{\epsilon_0}$$

$$C_{eq} = \frac{\epsilon_0^2 \Sigma^2}{x(d-h-x)} \cdot \frac{(x)(d-h-x)}{\epsilon_0 \Sigma (d-h-x) + \epsilon_0 \Sigma (x)} = \frac{\epsilon_0 \Sigma}{d-h}$$

$$U_{ef} = \frac{1}{2} C_{eq} V^2 = \frac{1}{2} \frac{\epsilon_0 \Sigma}{(d-h)} V^2$$

$$= \frac{\epsilon_0 C_i d}{\epsilon_0 (d-h)} = C_i \left(\frac{d}{d-h} \right) = 6,67 \cdot 10^{-11} \text{ F}$$

$$W = U_{e_i} - U_{ef} = \frac{1}{2} \frac{\epsilon_0 \Sigma}{d} V^2 - \frac{1}{2} \frac{\epsilon_0 \Sigma}{(d-h)} V^2 = \frac{1}{2} \epsilon_0 \Sigma V^2 \left(\frac{1}{d} - \frac{1}{d-h} \right) =$$

$$= \frac{1}{2} \epsilon_0 \Sigma V^2 \left(\frac{-h}{d(d-h)} \right) = -\frac{1}{2} \frac{\epsilon_0 h \Sigma V^2}{d(d-h)} < 0 \quad (W = -3,00 \cdot 10^{-6} \text{ J})$$

Il lavoro è fatto sul sistema (generatore).

$$t = \frac{Q}{P_{diss}} = 19,25$$

Il numero di elettroni che circolano in un conduttore è uguale al numero di elettroni che entrano nel conduttore per unità di tempo. Il numero di elettroni che entrano nel conduttore per unità di tempo è uguale al numero di elettroni che escono dal conduttore per unità di tempo.

$$I = \frac{Q}{t} = \frac{1,5 \cdot 10^{-18} \cdot 10^{20}}{19,25} = 7,79 \text{ A}$$

$$P = I \cdot V = 7,79 \cdot 10 = 77,9 \text{ W}$$

Il numero di elettroni che circolano in un conduttore è uguale al numero di elettroni che entrano nel conduttore per unità di tempo. Il numero di elettroni che entrano nel conduttore per unità di tempo è uguale al numero di elettroni che escono dal conduttore per unità di tempo.

$$P = I \cdot V = 7,79 \cdot 10 = 77,9 \text{ W}$$

Il numero di elettroni che circolano in un conduttore è uguale al numero di elettroni che entrano nel conduttore per unità di tempo. Il numero di elettroni che entrano nel conduttore per unità di tempo è uguale al numero di elettroni che escono dal conduttore per unità di tempo.

$$P = I \cdot V = 7,79 \cdot 10 = 77,9 \text{ W}$$

$$a) \mathcal{E} = \left(3R + \frac{R}{3}\right)i \rightarrow i = \frac{\mathcal{E}}{\left(3R + \frac{R}{3}\right)} = \frac{5}{16} \frac{\mathcal{E}}{R}$$

$$P = 3Ri^2 = 3R \cdot \frac{25}{256} \frac{\mathcal{E}^2}{R^2} = 0.293 \frac{\mathcal{E}^2}{R}$$

$$b) \mathcal{E} = \left(\frac{R}{5} + \frac{3R}{2}\right)i \rightarrow i = \frac{\mathcal{E}}{\left(\frac{R}{5} + \frac{3R}{2}\right)} = \frac{10}{17} \frac{\mathcal{E}}{R}$$

$$P = \frac{3R}{2}i^2 = \frac{3R}{2} \frac{100}{289} \frac{\mathcal{E}^2}{R^2} = 0.519 \frac{\mathcal{E}^2}{R}$$

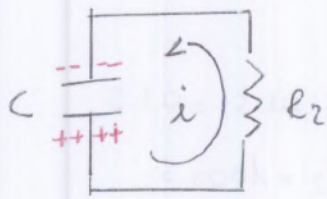
$$c) \mathcal{E} = \left(\frac{R}{3} + \frac{R}{5}\right)i \rightarrow i = \frac{\mathcal{E}}{\left(\frac{R}{3} + \frac{R}{5}\right)} = \frac{15}{8} \frac{\mathcal{E}}{R}$$

$$P = \frac{R}{3}i^2 = \frac{R}{3} \cdot \frac{225}{64} \frac{\mathcal{E}^2}{R^2} = 1.17 \frac{\mathcal{E}^2}{R} \Rightarrow \text{più conveniente.}$$

All'istante $t_3 (> t_2)$ T_1 viene aperto e T_2 viene chiuso

determinare:

c) Carica presente sulle armature del condensatore a t_4 , dopo che è trascorso un tempo di 0.15 della chiusura di T_2 .



$$V_C + V_R = 0 \quad q_0 = \mathcal{E}C$$

$$\frac{q}{C} + R_2 \frac{dq}{dt} = 0$$

$$\frac{dq}{dt} = -\frac{q}{RC} \rightarrow \int_{q_0}^q \frac{dq}{q} = \int_{t_3}^t -\frac{1}{RC} dt$$

$$\ln\left(\frac{q}{q_0}\right) = -\frac{(t-t_3)}{RC} \rightarrow q = q_0 e^{-\frac{(t-t_3)}{RC}} = \mathcal{E}C e^{-\frac{(t-t_3)}{RC}}$$

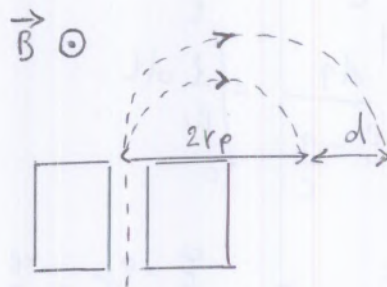
$$q(t_4 - t_3 = 0.15) = \mathcal{E}C e^{-0.15/RC} = 2.17 \cdot 10^{-5} C$$

ESERCIZIO 2

$$V = 10^4 V$$

$$B = 0.1 T$$

$$d = 0.12 m$$



Calcolare la carica specifica $\frac{q}{m}$ degli ioni incogniti sapendo che per i protoni $\frac{q}{m_p} = 9.6 \cdot 10^7 C/kg$.

Cons. energia:

$$qV = eV = \frac{1}{2} m_p v_p^2 \rightarrow v_p = \sqrt{\frac{2eV}{m_p}} = 1.385 \cdot 10^6 m/s$$

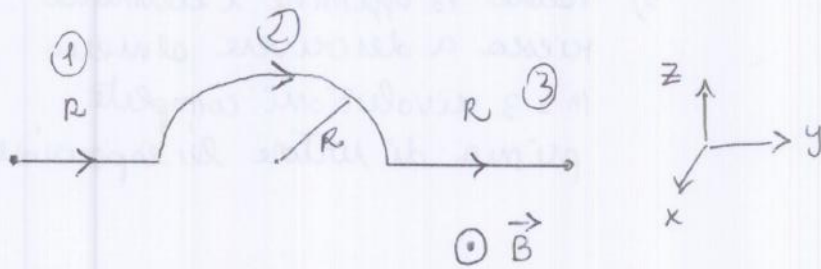
$$F = e v_p B = m_p \frac{v_p^2}{r_p} \rightarrow r_p = \frac{m_p v_p}{e B} = 0.144 m$$

$$r_i = \frac{2r_p + d}{2} = 0.204 m$$

$$r_i = \frac{m_i v_i}{q B} = \frac{m_i}{q B} \cdot \sqrt{\frac{2qV}{m_i}} \rightarrow \frac{q^2 B^2 r_i^2}{m_i^2} = \frac{2qV}{m_i} \rightarrow \frac{q}{m_i} = \frac{2V}{B^2 r_i^2} = 4.805 \cdot 10^7 C/kg$$

ESERCIZIO 4

Un tratto di filo avente forma in figura è percorso da una corrente $i = 0.5 \text{ A}$ ed è sottoposto all'azione di un campo magnetico $B = 0.4 \text{ T}$ perpendicolare, uscente dal piano contenente il filo. Se il tratto della semicirconferenza disegnata dal filo vale $R = 0,1 \text{ m}$ e i due tratti rettilinei sono lunghi $l = R = 0,1 \text{ m}$, calcolare la forza F che agisce sul filo.



$$d\vec{F} = i d\vec{l} \times \vec{B}$$

Porteremo subito dire, dalla teoria, che $\vec{F} = -4RBi \vec{\mu}_z$

Calcoliamo analiticamente:

$$\textcircled{1} \quad d\vec{F} = i d\vec{l} \times \vec{B} \rightarrow \vec{F}_1 = \int i d\vec{l} \times \vec{B} = i \left(\int_0^R d\vec{l} \right) \times \vec{B} = i \vec{R} \times \vec{B} = -iRB\vec{\mu}_z$$

$\textcircled{3}$ Analogamente a $\textcircled{1}$

$$\textcircled{2} \quad d\vec{l} = dy \vec{u}_y + dz \vec{u}_z \rightarrow \vec{F}_2 = \int i (dy \vec{u}_y + dz \vec{u}_z) \times \vec{B} =$$

$$= i \left[\left(\int_0^{2R} dy \right) \vec{u}_y \times \vec{\mu}_x \right] \cdot B + i \left[\left(\int dz \right) \vec{u}_z \times \vec{\mu}_x \right] B =$$

$$= i \cdot 2R (-\vec{\mu}_z) + i \left[\underbrace{\left(\int_0^R dz \right) \vec{u}_z \times \vec{\mu}_x + \left(\int_R^0 dz \right) \vec{u}_z \times \vec{\mu}_x}_0 \right] B = -2RiB\vec{\mu}_z$$

$$\Rightarrow \vec{F}_{\text{TOT}} = \vec{F}_1 + \vec{F}_2 + \vec{F}_3 = -2RiB\vec{\mu}_z - 2RiB\vec{\mu}_z = -4RiB\vec{\mu}_z$$

$$\mathcal{E}_H = \int_p^a \vec{E}_H \cdot d\vec{e} = -\omega_d B b = -\frac{J}{me} B b$$

in valore assoluto:

$$\mathcal{E}_H = \frac{J}{me} B b \rightarrow \begin{cases} B = \frac{me \mathcal{E}_H}{J b} \rightarrow B_1 = 0,068 \text{ T} \\ B = \frac{me \mathcal{E}_H a}{i} \rightarrow B_2 = 0,136 \text{ T} \\ B = \frac{me \mathcal{E}_H a}{i} \rightarrow B_3 = 0,170 \text{ T} \end{cases}$$

$$\omega_d = \frac{J}{me} = \frac{i}{abme} = 7,37 \cdot 10^{-4} \text{ m/s}$$

$$\mathcal{E}_H = \omega_d B b \rightarrow \omega_d = \frac{\mathcal{E}_H}{B b} = 7,35 \cdot 10^{-4} \text{ m/s in tutti e tre i casi}$$

$$R_{\text{cond}} = \frac{d}{\kappa} = \frac{d}{\sqrt{x^2 + d^2}}$$

$$\vec{dB}_p = -\frac{2\mu_0}{2\pi} di \cdot \frac{d}{x^2 + d^2} \vec{\mu}_y =$$

$$di = \frac{i}{h} dx$$

$$= -\frac{2\mu_0}{2\pi} \frac{i}{h} dx \cdot \frac{d}{x^2 + d^2} \vec{\mu}_y \Rightarrow \vec{B}_p = -\frac{\mu_0}{\pi} \frac{i}{h} \int \frac{d dx}{x^2 + d^2} \vec{\mu}_y =$$

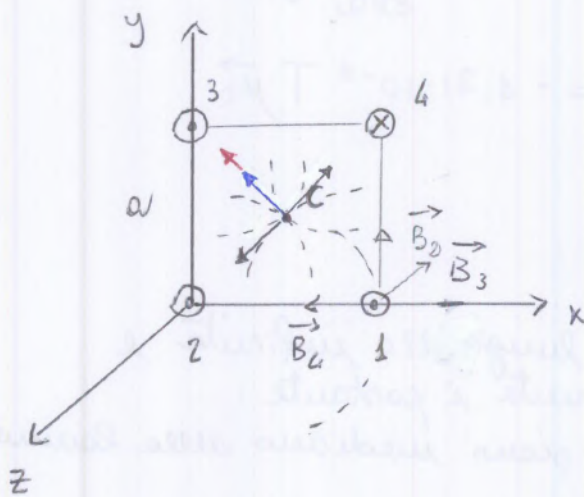
$$= -\frac{\mu_0}{\pi} \frac{i}{h} \int_0^{h/2} \frac{1/d dx}{1 + (x/d)^2} \vec{\mu}_y = -\frac{\mu_0}{\pi} \frac{i}{h} \arctg\left(\frac{x}{d}\right) \Big|_0^{h/2} \vec{\mu}_y =$$

$$= -\frac{\mu_0}{\pi} \left(\frac{i}{h}\right) \arctg\left(\frac{h}{2d}\right) \vec{\mu}_y$$

\downarrow J_s densità di corrente per unità di lunghezza

$$\vec{B}_p = -\frac{\mu_0}{\pi} J_s \arctg\left(\frac{h}{2d}\right) \vec{\mu}_y$$

ESERCIZIO ESAME



$$a = 0,5 \text{ m}$$

$$i = 20 \text{ A}$$

calcolare: • campo magnetico nel centro del quadrato

• forza per unità di lunghezza che agisce sul filo 1

• densità di energia magnetica nel centro del quadrato

$$d\vec{F} = i d\vec{l} \times \vec{B}$$

$$\vec{B} = \frac{\mu_0 i}{2\pi r} \vec{\mu}_e \times \vec{\mu}_r$$

$$\vec{B}_1 = -\frac{\mu_0 i}{2\pi a \frac{\sqrt{2}}{2}} \left(\vec{\mu}_x \frac{\sqrt{2}}{2} + \vec{\mu}_y \frac{\sqrt{2}}{2} \right)$$

$$\Rightarrow \vec{B}_1 + \vec{B}_3 = 0$$

$$\vec{B}_3 = \frac{\mu_0 i}{2\pi a \frac{\sqrt{2}}{2}} \left(\frac{\sqrt{2}}{2} \vec{\mu}_x + \frac{\sqrt{2}}{2} \vec{\mu}_y \right)$$

$$\vec{B}_2 = \frac{\mu_0 i}{2\sqrt{2}\pi a} \left(-\frac{\sqrt{2}}{2} \vec{\mu}_x + \frac{\sqrt{2}}{2} \vec{\mu}_y \right)$$

$$\Rightarrow \vec{B}_c = \vec{B}_2 + \vec{B}_4 = \frac{2\mu_0 i}{\sqrt{2}\pi a} \left(\frac{\sqrt{2}}{2} \vec{\mu}_y - \frac{\sqrt{2}}{2} \vec{\mu}_x \right)$$

$$\vec{B}_4 = \frac{\mu_0 i}{2\sqrt{2}\pi a} \left(-\frac{\sqrt{2}}{2} \vec{\mu}_x + \frac{\sqrt{2}}{2} \vec{\mu}_y \right)$$

$$\vec{B}_c = \frac{\mu_0 i}{\pi a} (\vec{\mu}_y - \vec{\mu}_x)$$

b) $d\vec{F} = i_1 d\vec{\ell}_1 \times \vec{B}$ $\vec{F} = \frac{\vec{F}_{TOT}}{\ell_1} = \frac{i_1 \ell_1 \vec{u}_z \times \vec{B}}{\ell_1} = i_1 \vec{u}_z \times \vec{B}$

$d\vec{F}_{21} = i_1 \cdot d\vec{\ell}_1 \times \vec{B}_2$ mi conviene prima trovare B_{TOT} in (2)

$$\vec{B}_{21} = \frac{\mu_0 i}{2\pi a} \vec{u}_y$$

$$\vec{B}_3' = \frac{\mu_0 i}{2\sqrt{2}\pi a} \left(\frac{\sqrt{2}}{2} \vec{\mu}_x + \frac{\sqrt{2}}{2} \vec{\mu}_y \right) \Rightarrow \vec{B}_{1TOT} = \frac{\mu_0 i}{2\pi a} \vec{\mu}_y + \frac{\mu_0 i}{4\pi a} (\vec{\mu}_x + \vec{\mu}_y) +$$

$$\vec{B}_4' = \frac{\mu_0 i}{2\pi a} (-\vec{\mu}_x) \quad -\frac{\mu_0 i}{2\pi a} \vec{\mu}_x$$

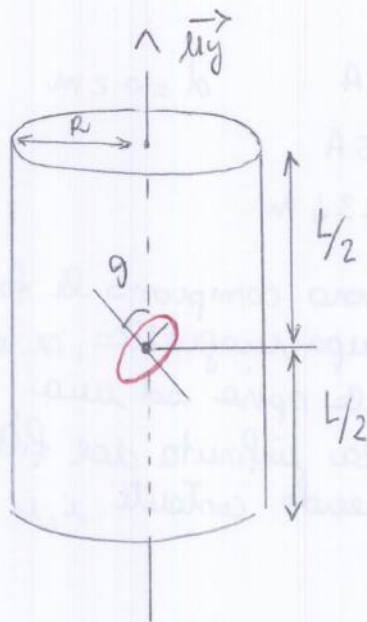
$$\vec{B}_{1TOT} = \frac{\mu_0 i}{2\pi a} \left(\frac{\vec{\mu}_x}{2} + 3\frac{\vec{\mu}_y}{2} \right)$$

quindi: $\vec{\mu}_z$ perché $\frac{\vec{F}_{TOT}}{\ell}$

$$\vec{F}_{TOT} = \frac{i \cdot \mu_0}{2\pi a} \left[d\vec{\ell}_1 \times \left(\frac{3\vec{\mu}_y}{2} - \frac{\vec{\mu}_x}{2} \right) \right] = -\frac{3}{2} \frac{i^2 \mu_0}{2\pi a} \vec{\mu}_x - \frac{1}{2} \frac{\mu_0 i^2}{2\pi a} \vec{\mu}_y$$

c) $\mu_{mc} = \frac{1}{2} \frac{B_c^2}{\mu_0} = \frac{1}{2} \frac{\mu_0^2 i^2}{\pi^2 a^2} \cdot \frac{1}{\mu_0} = \frac{1}{2} \frac{\mu_0 i^2}{\pi^2 a^2}$

ESERCIZIO ESAME



$L = 2\text{ m}$

$I_0 = 30\text{ A}$

$N = 3000\text{ spire}$

$r = 0,01\text{ m}$

$R = 0,1\text{ m}$

$\theta = 45^\circ$

$I_1 = 2\text{ A}$

- a) Modulo del campo magnetico nell'axe del solenoide e al suo esterno
- b) Modulo del momento necessario che agisce sulla spira.

$$\vec{B} = \mu_0 i n \vec{u}_y \rightarrow B = \mu_0 i n = \mu_0 i \frac{N}{L} = \mu_0 I_0 \frac{N}{L}$$

All'estremo del solenoide il campo magnetico è nullo

$$|\vec{M}| = |\vec{b} \times \vec{F}| = |\vec{m} \times \vec{B}| = m B \sin\theta = I_1 \pi r^2 B \sin\theta$$

Non appena la spira ha raggiunto la posizione di equilibrio, la corrente all'interno del solenoide decresce linearmente come

$$I = I_0 - kt, \text{ con } k = 0,3\text{ A/s}$$

Determinare la f.e.m. indotta nella spira.

$$\mathcal{E}_i = - \frac{d\phi(\vec{B})}{dt}$$

$$\phi(\vec{B}) = \int_{\Sigma} \vec{B} \cdot \vec{u}_m d\Sigma = B \Sigma = \mu_0 (I_0 - kt) \frac{N}{L} \cdot \pi r^2 = \frac{\mu_0 N \pi r^2}{L} I_0 +$$

$$\frac{d\phi(\vec{B})}{dt} = -\mu_0 \frac{N}{L} \pi r^2 k$$

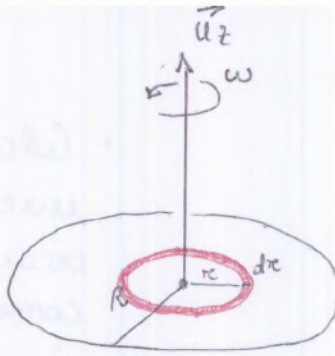
$$\mathcal{E}_i = \mu_0 \frac{N}{L} \pi r^2 k$$

$$\sigma = \frac{q}{\pi R^2}$$

$$dq = \sigma \pi r dr$$

$$di = \frac{dq}{T} = \frac{dq \omega}{2\pi}$$

$$di = \sigma r \omega dr$$

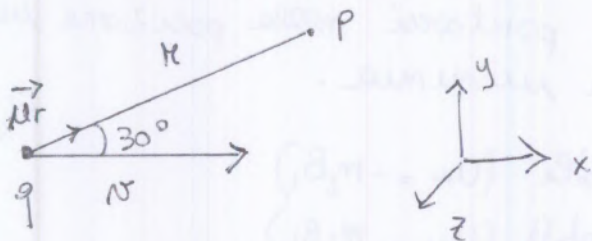


$$\vec{dB} = \frac{\mu_0}{2} di \frac{r^2}{(r^2+x^2)^{3/2}} \vec{\mu}_z \Rightarrow \vec{dB} \Big|_{x=0} = \frac{\mu_0}{2} \frac{di}{r} \vec{\mu}_z = \frac{\mu_0 \sigma r \omega dr}{2r} \vec{\mu}_z = \frac{\mu_0 \sigma \omega dr}{2} \vec{\mu}_z$$

$$\vec{B} = \int d\vec{B} = \int_0^R \frac{\mu_0 \omega dr}{2} \sigma \vec{\mu}_z = \frac{\mu_0 \sigma \omega}{2} \cdot R \vec{\mu}_z = \frac{\mu_0 q \omega R}{2\pi R^2} \vec{\mu}_z = \frac{\mu_0 q \omega}{2\pi R} \vec{\mu}_z$$

ESERCIZIO 7

Una carica puntiforme pari a 10^{-9} C si muove in vuoto con $v = 10^5 \text{ m/s}$ in direzione concorde all'asse x. Determinare il valore di \vec{E}, \vec{B} in un punto P che dista $r = 0,1 \text{ m}$ dalla carica.



$$\vec{E}(P) = \frac{1}{4\pi\epsilon_0} \frac{q}{r^2} \vec{\mu}_r$$

$$\vec{B} = \frac{1}{c^2} \vec{v} \times \vec{E} = \frac{1}{c^2} \frac{q v}{4\pi\epsilon_0 r^2} \vec{\mu}_z$$

$$|\vec{B}| = \frac{1}{c^2} v E \sin\theta = 5,00 \cdot 10^{-10} \text{ T}$$

direzione \perp a $xy \Rightarrow \vec{\mu}_z$

$$E_x = \frac{1}{4\pi\epsilon_0} \frac{q}{r^2} \cos 30^\circ = 778,7 \text{ V/m}$$

$$\rightarrow |\vec{E}(P)| = 899,2 \text{ V/m}$$

$$E_y = \frac{1}{4\pi\epsilon_0} \frac{q}{r^2} \sin 30^\circ = 449,6 \text{ V/m}$$

$$c) \langle \vec{m} \rangle = M/m, \text{ con } m = m^{\circ} \text{ atomi per unite di volume}$$

$$P = \sum dp = 0.395 \text{ kg} \rightarrow \text{peso barretta}$$

$$m^{\circ} \text{ mol} = \frac{P}{A} = 7.073 \cdot 10^{-3} \text{ mol} \cdot N_A = 4.26 \cdot 10^{21} \text{ molecole}$$

con ho trovato il m° di particelle nel volume delle barrette, e per trovare il m° di particelle per unite di volume (in un metro quadrato)

$$\vec{M} = \frac{d\vec{m}}{dV} = \langle \vec{m} \rangle \frac{dN}{dV} = \langle \vec{m} \rangle m$$

$$\frac{P}{A} = 141.45 \text{ mol} \cdot N_A = 8.519 \cdot 10^{25} \text{ molecole / m}^3$$

$$|\langle \vec{m} \rangle| = \frac{M}{m} = \frac{1414 \text{ A/m}}{8.519 \cdot 10^{25} \text{ molecole}} = 1.66 \cdot 10^{-23} \text{ A m}^2$$

• $c < r < d$

$$\oint \vec{H} \cdot d\vec{\ell} = i'' = i - J \Sigma'' = i - \frac{i}{\pi(d^2 - c^2)} \cdot \pi(r^2 - c^2) = i \left(1 - \frac{r^2 - c^2}{d^2 - c^2} \right) =$$

$$= i \left(\frac{d^2 - r^2}{d^2 - c^2} \right)$$

$$H \cdot 2\pi r = i \left(\frac{d^2 - r^2}{d^2 - c^2} \right) \rightarrow \vec{H} = \frac{i}{2\pi r} \left(\frac{d^2 - r^2}{d^2 - c^2} \right) \vec{\mu}_\phi$$

$$\vec{B} = \mu \vec{H} = \frac{\mu_0 k_{m2}}{2\pi r} i \left(\frac{d^2 - r^2}{d^2 - c^2} \right) \vec{\mu}_\phi$$

$$\vec{M} = \chi_{m2} \vec{H} = \frac{\chi_{m2}}{2\pi r} i \left(\frac{d^2 - r^2}{d^2 - c^2} \right) \vec{\mu}_\phi$$

• $r > d$

$$\vec{B} = 0$$

$$\vec{M} = 0$$

Correnti di magnetizzazione:

• $a < r < b$

$$\vec{J}_{sm1} = \vec{M} \times \vec{\mu}_m$$

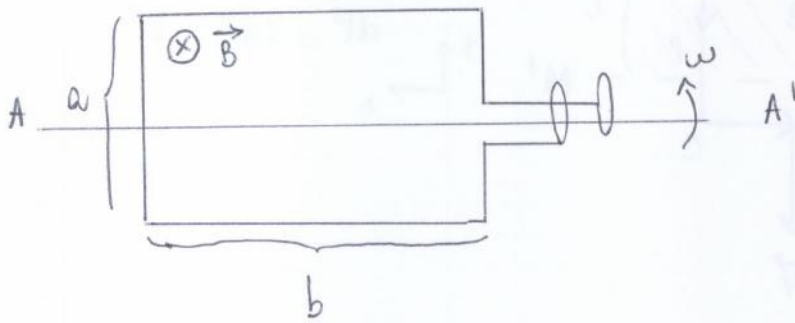
$$\vec{M}_{|r=a} \times \vec{\mu}_m = 0$$

$$\vec{M}_{|r=b} \times \vec{\mu}_m = \frac{|\chi_{m1}| i}{2\pi b} \vec{\mu}_z$$

$$\vec{J}_{m1} = \text{rot } \vec{M} = \text{rot} (\chi_{m1} \vec{H}) = \chi_{m1} \text{rot } \vec{H} = \chi_{m1} \vec{J}_1 = -|\chi_{m1}| J_1 \vec{\mu}_z$$

$$i_{m1 \text{ tot}} = \frac{|\chi_{m1}| i}{2\pi b} - |\chi_{m1}| J_1 \pi (b^2 - a^2) = |\chi_{m1}| \left[i - \frac{i}{\pi(b^2 - a^2)} \cdot \pi(b^2 - a^2) \right] = 0$$

Le correnti totali di magnetizzazione che scorrono nel conduttore 1 è nulla

ESERCIZIO 1 24 - 28 NOVEMBRE 2014bobina rettangolare
compatta di N spire

- a) Ricevare l'espressione del flusso di campo magnetico concatenato con la bobina e il valore della ddp tra i due collettori

$$\phi(\vec{B}) = \int_{\Sigma} \vec{B} \cdot \vec{u}_m d\Sigma$$

$$\phi_{\text{spira}}(\vec{B}) = \int_{\text{spira}} \vec{B} \cdot \vec{u}_m d\Sigma = B \cos\theta ab \Rightarrow \phi_{\text{bobina}}(\vec{B}) = NBab \cos\theta$$

$$\omega = \frac{d\theta}{dt} \rightarrow \theta = \omega t \Rightarrow \phi_{\text{bobina}}(\vec{B}) = NBab \cos(\omega t)$$

$$\mathcal{E}_i = - \frac{d\phi(\vec{B})}{dt} = - NBab \frac{d}{dt} (\cos \omega t) = \omega NBab \sin \omega t$$

La ddp. tra i due collettori è uguale alla f.e.m. ridotta misurata ai capi del circuito aperto.

$$\Delta V = \omega NBab \sin \omega t$$

- b) Se $a = 0,01 \text{ m}$, $b = 0,05 \text{ m}$, $N = 100$, $B = 0,4 \text{ T}$, calcolare a quale velocità angolare deve ruotare la bobina per ottenere $\Delta V_{\text{max}} = 100 \text{ V}$

$$\Delta V \text{ è max per } \sin(\omega t) = 1$$

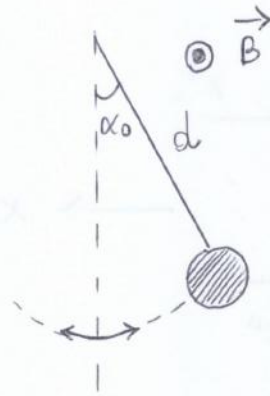
$$\Rightarrow 100 \text{ V} = \omega NBab \rightarrow \omega = \frac{100 \text{ V}}{NBab} = 5 \cdot 10^{-3} \text{ rad/s}$$

ESERCIZIO 3

$$d = 0,15 \text{ m}$$

$$\alpha_0 = 7^\circ$$

$$B = 0,5 \text{ T}$$



Si ricavi l'espressione delle f.e.m. indotte nel filo metallico in t del tempo e il suo valore massimo.

$$\mathcal{E}_i = - \frac{d\phi(\vec{B})}{dt}$$

$$d\phi(\vec{B}) = \vec{B} \cdot \vec{n} d\Sigma = B \cdot \frac{d}{2} d\alpha$$

AREA SETTORE CIRCOLARE $dA = \pi r^2 \cdot \frac{d\alpha}{2\pi} = \frac{\pi^2}{2} d^2 d\alpha$

Per l'oscillatore armonico:

$$\alpha = \alpha_0 \sin(\omega t) \rightarrow d\alpha = \alpha_0 \omega \cos(\omega t)$$

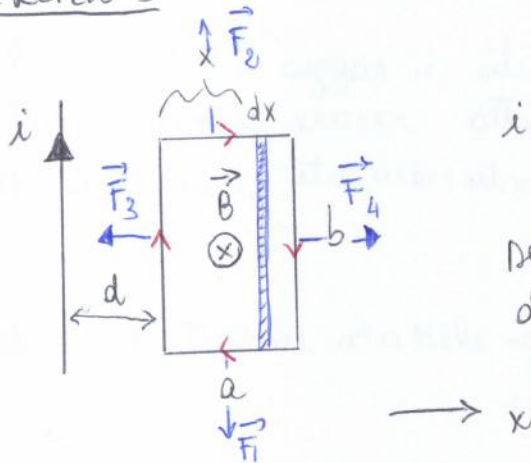
$$d\phi(\vec{B}) = B \frac{d^2}{2} \alpha_0 \omega \cos(\omega t)$$

Quindi:

$$\mathcal{E}_i = -B \frac{d^2}{2} \alpha_0 \omega \cos(\omega t)$$

$$\mathcal{E}_{i \text{ max}} \text{ si ha per } \cos(\omega t) = -1 \Rightarrow \mathcal{E}_{i \text{ max}} = B \frac{d^2}{2} \alpha_0 \omega$$

ESERCIZIO 5



$$i = \frac{C}{t^2}, \quad C = \text{cost}$$

Determinare \$\mathcal{E}_i\$ nelle spire e il verso di scorrimento delle correnti in esse

$$\vec{B} = \frac{\mu_0 i}{2\pi r} \vec{e}_\theta \times \vec{r}$$

$$\mathcal{E}_i = - \frac{d\phi(\vec{B})}{dt}$$

$$d\phi(\vec{B}) = \vec{B} \cdot \vec{u}_m d\Sigma = B d\Sigma = B b dx = \frac{\mu_0 C}{2\pi t^2} \cdot \frac{1}{d+x} b dx$$

$$\phi(\vec{B}) = \int_{\Sigma} \vec{B} \cdot \vec{u}_m d\Sigma = \frac{\mu_0 C}{2\pi t^2} b \left[\ln(d+x) \right]_0^a = \frac{\mu_0 C b}{2\pi t^2} \ln\left(\frac{d+a}{d}\right)$$

$$\mathcal{E}_i = - \frac{d\phi(\vec{B})}{dt} = + \frac{2\mu_0 C b}{2\pi t^3} \ln\left(\frac{d+a}{d}\right) = \frac{\mu_0 C b}{\pi t^3} \ln\left(\frac{d+a}{d}\right)$$

Le spire viene attirata o respinta dal filo?

$$d\vec{F} = i_0 d\vec{l} \times \vec{B}$$

$$\vec{F}_1 + \vec{F}_2 = 0 \quad \text{perché spire rigide}$$

$$d\vec{F}_3 = i_0 d\vec{l}_3 \times \vec{B} = \frac{i_0 i \mu_0 b}{2\pi d} (-\vec{u}_x) = \frac{\mu_0 i i_0 b}{2\pi d} (-\vec{u}_x)$$

$$d\vec{F}_4 = i_0 d\vec{l}_4 \times \vec{B} = \frac{\mu_0 i i_0 b}{2\pi(d+a)} \vec{u}_x$$

$$\vec{F}_3 + \vec{F}_4 = \frac{\mu_0 i i_0 b}{2\pi} \left[\frac{1}{d+a} - \frac{1}{d} \right] \vec{u}_x = \frac{\mu_0 i i_0 b}{2\pi} \frac{(-a)}{d(d+a)} \vec{u}_x = - \frac{\mu_0 i i_0 b a}{2\pi d(d+a)} \vec{u}_x$$

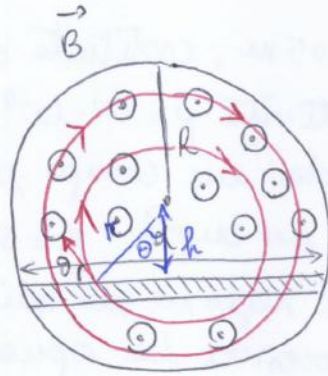
le spire viene attirata dal filo

ESERCIZIO 7 24-28 NOVEMBRE 2014

$$R = 2 \text{ m}$$

$$B = At, \quad A = 0.1 \text{ T/s}$$

$$d = 1 \text{ m}$$



Determinare il valore della f.e.m. indotta all'interno della sbarretta

$$\oint \vec{E}_i \cdot d\vec{s} = - \frac{d}{dt} \int_{\Sigma} \vec{B} \cdot \vec{u}_n d\Sigma$$

$$E_i \cdot 2\pi r = - \frac{d}{dt} (B \cdot \pi r^2) \rightarrow E_i \cdot 2\pi r = -\pi r^2 \frac{d}{dt} (At)$$

$$\vec{E}_i = - \frac{Ar}{2} \vec{u}_r$$

$$\mathcal{E}_i = \int_d \vec{E}_i \cdot d\vec{l} = - \frac{A}{2} \int_d r \cdot \vec{u}_r \cdot d\vec{l} = - \frac{A}{2} \int_d (r \cos \theta) dl = - \frac{A}{2} \int_d h dl =$$

$$= - \frac{A}{2} h l = - \frac{A}{2} h d$$

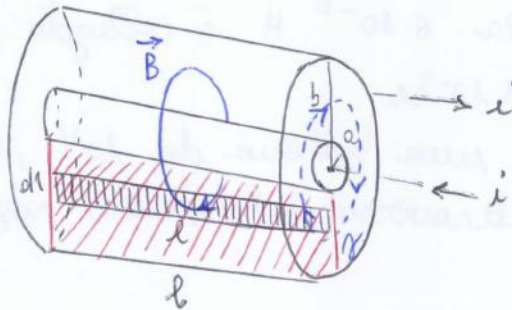
$$h = \sqrt{R^2 - \left(\frac{d}{2}\right)^2} \Rightarrow \mathcal{E}_i = - \frac{Ad \sqrt{R^2 - \left(\frac{d}{2}\right)^2}}{2}$$

ESERCIZIO 4 5-12 DICEMBRE 2014

Un cavo coassiale costituito da due cilindri cavi di spessore trascurabile e raggio a e b . Una corrente i scorre in un verso nel cilindro interno e nel verso opposto in quello esterno. Calcolare:

- a) Coeff. di autoinduzione per unità di lunghezza
 b) Un immagazzinamento per unità di lunghezza (vuoto)

Come varia il risultato se il sistema è immerso in un mezzo con μ rel. k_m ?



$$a) \quad L = \frac{\phi(\vec{B})}{i l}$$

$$\bullet \quad a < r < b$$

$$\oint \vec{B} \cdot d\vec{\ell} = \mu_0 (i) \rightarrow B \cdot 2\pi r = \mu_0 i$$

$$\vec{B} = \frac{\mu_0 i}{2\pi r} \vec{u}_\phi$$

$$d\phi(\vec{B}) = \vec{B} \cdot \vec{u}_m \, d\tau \cdot l$$

$$\int_{\Sigma} \vec{B} \cdot \vec{u}_m \cdot d\Sigma = \int_{\Sigma} B \cdot l \, dr = \frac{\mu_0 i l}{2\pi} \int_a^b \frac{dr}{r} = \frac{\mu_0 i l}{2\pi} \ln\left(\frac{b}{a}\right)$$

$$L/l = \frac{\mu_0 i}{2\pi i} \ln\left(\frac{b}{a}\right) = \frac{\mu_0}{2\pi} \ln\left(\frac{b}{a}\right)$$

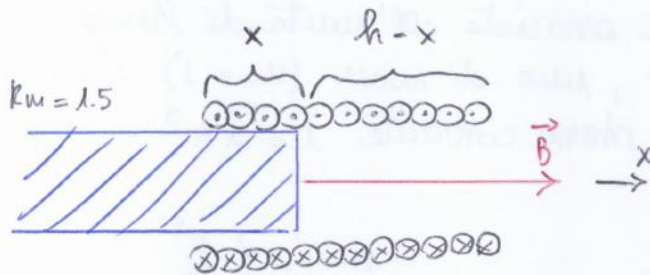
$$b) \quad U_{m/l} = \frac{1}{2} \frac{B^2}{\mu_0 l} \Rightarrow U_{m_{TOT}} = \int_{Vol} \mu_m \frac{dV}{l} = \int_{Vol} \mu_m \cdot \frac{2\pi r \, dr \, l}{l} = \int_{Vol} \mu_m \cdot 2\pi r \, dr$$

$$e^{-R/L t} = \frac{1}{5}$$

$$-\frac{R}{L} t = \ln\left(\frac{1}{5}\right) \rightarrow \frac{R}{L} t = \ln(5) \rightarrow t = \frac{L}{R} \ln(5) = 9,66 \text{ ms}$$

• dopo un tempo $\tau = \frac{L}{R} \rightarrow i = \frac{\mathcal{E}}{R} \left(1 - e^{-\frac{R}{L} \cdot \frac{L}{R}}\right) = \frac{\mathcal{E}}{R} \left(1 - \frac{1}{e}\right) = 6321,2 \text{ A}$

ESERCIZIO 3



$$h = 1 \text{ m}$$

$$\kappa = 9,01 \text{ m}$$

$$N = 2000 \text{ spire/m}$$

$$i = 5 \text{ A}$$

La corrente è MANTENUTA COSTANTE NEL TEMPO

Det. la forza che il solenoide applica sulla sbarretta, in t di x , tratto della sbarretta all'interno del solenoide

$$L = \frac{\phi(\vec{B})}{i}$$

$$\vec{B} = \mu_0 i m \vec{\mu}_x$$

$$\phi(\vec{B}) = \int_{\Sigma} \vec{B} \cdot \vec{\mu}_m d\Sigma = B \cdot \Sigma = \mu_0 i m \pi \kappa^2$$

$$\phi_{\text{TOT}}(\vec{B}) = \mu_0 i m^2 \pi \kappa^2 l = \mu_0 i m^2 \pi \kappa^2 h \quad (\text{se fosse complet. in vuoto})$$

$$L = \mu_0 m^2 \pi \kappa^2 l$$

$$L = \mu_0 m^2 (h-x) \pi \kappa^2 + \mu_m \mu_0 m^2 x \pi \kappa^2$$

$$\mathcal{E} = -\frac{d\phi(\vec{B})}{dt} = -\frac{d(Li)}{dt} = -\frac{dL}{dt} i$$

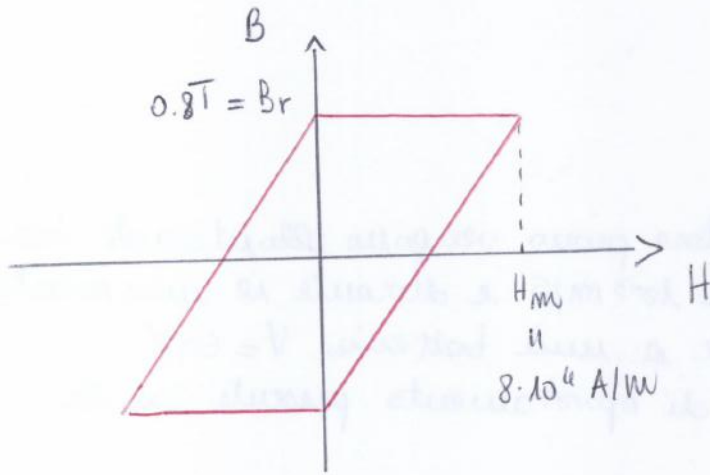
$$\Rightarrow \mathcal{E}_{\text{gen}} = -\mathcal{E} = \frac{dL}{dt} i \Rightarrow dW_{\text{gen}} = \mathcal{E}_{\text{gen}} i dt = i^2 dL$$

$$U_L = \frac{1}{2} Li^2 \rightarrow dU_L = \frac{1}{2} i^2 dL \Rightarrow dW_{\text{gen}} = 2dU_L$$

$$dW_{\text{gen}} = 2dU_L = -dU_{\text{gen}}$$

$$U_{m|e}(Fe) - U_{m|e}(Cu) = \frac{\mu_0 k m i^2}{16\pi} - \frac{\mu_0 i^2}{16\pi} = \frac{\mu_0 i^2}{16\pi} (1000 - 1) = \frac{999 \mu_0 i^2}{16\pi}$$

ESERCIZIO 5



$$\rho = 7.3 \cdot 10^3 \text{ Kg/m}^3$$

$$c = 500 \text{ J/(Kg K)}$$

$$\nu = 50 \text{ Hz}$$

$$V = 5 \cdot 10^{-2} \text{ m}^3$$

Calcolare l'energia dissipata dal materiale ferromagnetico durante ogni ciclo e l'aumento della sua temperatura in un minuto.

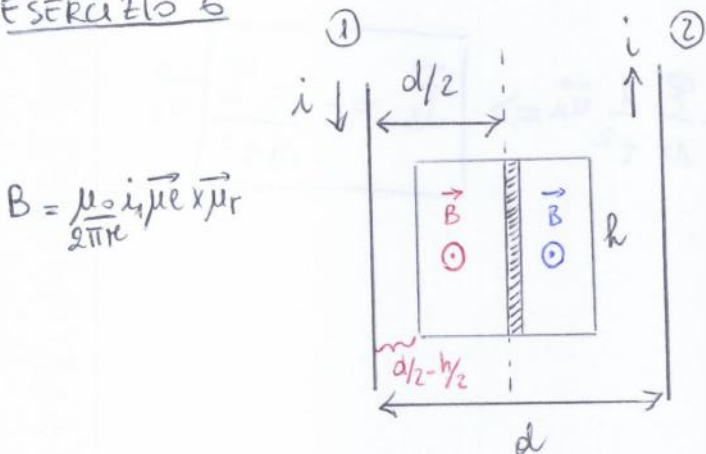
$$\nu = 50 \text{ Hz} \rightarrow T = 0.02 \text{ s} \Rightarrow 1 \text{ ciclo di isteresi in } 0.02 \text{ s}$$

$$U_{diss} = A \cdot V = 8 \cdot 10^4 \cdot 2 \cdot 0.8 \cdot 5 \cdot 10^{-2} = 6400 \text{ J}$$

$$\text{In } 1 \text{ m} \Rightarrow 3000 \text{ cicli di isteresi} = 1.92 \cdot 10^7 \text{ J}$$

$$Q = mc \Delta T \rightarrow \Delta T = \frac{Q}{mc} = \frac{Q}{c_p V} = 105.2 \text{ K}$$

ESERCIZIO 6



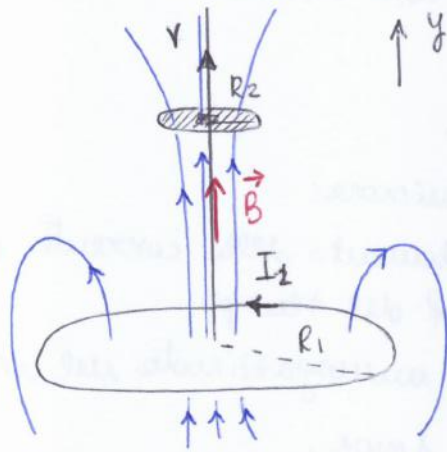
$$\vec{B} = \frac{\mu_0 i}{2\pi r} \vec{e}_\phi$$

Calcolare la mutua induttanza tra fili e spira

$$M = \frac{\phi_2(\vec{B}_1)}{i_1}$$

$$d\phi_1(\vec{B}_1) = \vec{B}_1 \cdot \vec{e}_\phi d\Sigma = B_1 \cdot h dx$$

$$\phi_1(\vec{B}_1) = \frac{h\mu_0 i}{2\pi} \int_{d/2-h/2}^{d/2+h/2} \frac{dx}{x} = \frac{\mu_0 i h}{2\pi} \ln \left(\frac{d/2+h/2}{d/2-h/2} \right) = \frac{\mu_0 i h}{2\pi} \ln \left(\frac{d+h}{d-h} \right)$$

ESERCIZIO 7

$$R_1 = 0,5 \text{ m}$$

$$I_1 = 20 \text{ A}$$

$$R_2 = 0,03 \text{ m}$$

$$v = 0,02 \text{ m/s}$$

$$\text{a } t=0 \rightarrow y=0$$

Calcolare il coeff. di mutua induzione del sistema e il contributo alle f.e.m. indotta nella spira mobile dovuto alla mutua induzione, dopo un tempo $t = 2 \text{ s}$.

($R_1 \gg R_2$, vuoto)

$$M = \frac{\phi_2(\vec{B}_1)}{I_1}$$

$$\vec{B}_1 = \frac{\mu_0 I_1 R_1^2}{2} \frac{\vec{\mu}y}{(R_1^2 + y^2)^{3/2}} \quad \text{con } y = vt$$

$$\vec{B}_2 = \frac{\mu_0 I_1 R_1^2}{2} \frac{\vec{\mu}y}{(R_1^2 + v^2 t^2)^{3/2}}$$

$$\phi(\vec{B}_2) = \int_{\Sigma_2} \vec{B}_2 \cdot \vec{\mu}m_2 d\Sigma_2 = B_2 \cdot \pi R_2^2 = \frac{\mu_0 I_1 \pi R_1^2 R_2^2}{2 (R_1^2 + v^2 t^2)^{3/2}}$$

$$M = \frac{\mu_0 \pi R_1^2 R_2^2}{2 (R_1^2 + v^2 t^2)^{3/2}}$$

$$\mathcal{E} = -\frac{d\phi(\vec{B})}{dt} = -\frac{d}{dt} \left(\frac{\mu_0 \pi R_1^2 R_2^2 I_1}{2 (R_1^2 + v^2 t^2)^{3/2}} \right) = +\frac{\mu_0 \pi R_1^2 R_2^2}{2} \cdot \frac{2v^2 t I_1 \cdot 3}{(R_1^2 + v^2 t^2)^{5/2}} =$$

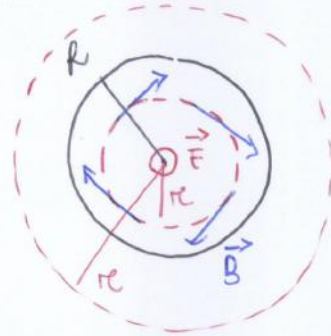
$$= \frac{3\mu_0 \pi R_1^2 R_2^2 v^2 t I_1}{2 (R_1^2 + v^2 t^2)^{5/2}}$$

ESERCIZIO 10

Un condensatore ad armature piane e parallele di raggio $R=0,2\text{m}$, avente il vuoto tra le armature, viene caricato con un opportuno generatore.

a) Stabilire una relazione che esprima l'andamento di \vec{B} indotto durante il processo di carica, per $r < R$, $r > R$

$$\oint \vec{B} \cdot d\vec{l} = \mu_0 \underbrace{0}_{=0} + \epsilon_0 \frac{\partial \phi(\vec{E})}{\partial t} \quad i_s$$

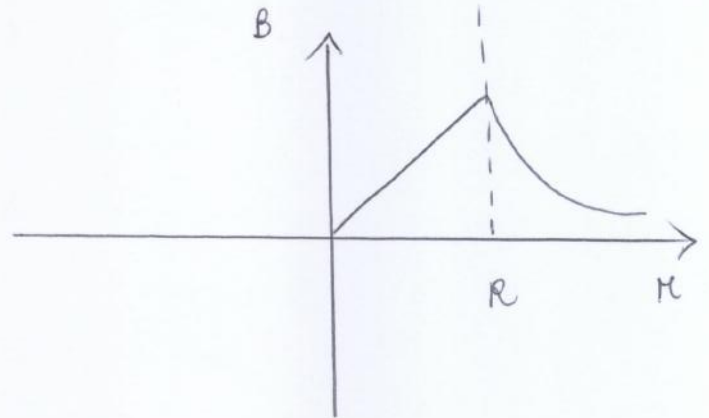


$$\bullet) B \cdot 2\pi r = \mu_0 \epsilon_0 \pi r^2 \frac{\partial E}{\partial t}$$

$$\boxed{B = \frac{\mu_0 \epsilon_0 r}{2} \frac{\partial E}{\partial t}} \quad \text{per } r < R$$

$$\bullet) B \cdot 2\pi r = \mu_0 \epsilon_0 \pi R^2 \frac{\partial E}{\partial t}$$

$$\boxed{B = \frac{\mu_0 \epsilon_0 R^2}{2r} \frac{\partial E}{\partial t}} \quad \text{per } r > R$$



$$i_s = \epsilon_0 \frac{\partial \phi(\vec{E})}{\partial t} = \epsilon_0 \frac{\partial}{\partial t} \int \vec{E} \cdot \vec{u}_n d\tau = \epsilon_0 \frac{\partial}{\partial t} (E \pi R^2) = \epsilon_0 \pi R^2 \frac{\partial E}{\partial t}$$

\hookrightarrow tutte
l'armatura

ESERCIZIO 12

Un'onda elettromagnetica piana di frequenza $\nu = 30 \text{ Hz}$ polarizzata linearmente lungo y si muove lungo la direzione x di un sistema di coordinate dato.

Al tempo $t=0$ si osserva in $(0,0,0)$ un massimo del campo elettrico pari a $E_0 = 1 \text{ V/m}$

- 1) Scrivere l'espressione del campo elettrico in f. di x, t, ν ed E_0
- 2) Scrivere l'espressione del vettore campo magnetico \vec{B} in f. di x, t, ν ed E_0 .

$$\vec{E} = E_0 \cos(kx - \omega t) \vec{u}_y \quad \phi = 0$$

$$k = \frac{2\pi}{\lambda} = \frac{2\pi\nu}{c} = 6.28 \cdot 10^{-7} \text{ m}^{-1}$$

$$\vec{E} = E_0 \cos\left(\frac{2\pi\nu}{c}x - 2\pi\nu t\right) \vec{u}_y$$

$$B = \frac{E_0}{c}$$

$$\vec{B} = \frac{E_0}{c} \cos\left(\frac{2\pi\nu}{c}x - 2\pi\nu t\right) \vec{u}_z$$

ESERCIZIO 2

Un'onda elettromagnetica piana di frequenza $\nu = 180 \text{ MHz}$ e ampiezza $E_0 = 2 \text{ mV/m}$ si propaga nel vuoto lungo l'asse x ed è polarizzata nel piano xy . Calcolare λ , k , ω . Scrivere inoltre l'equazione di \vec{E} , \vec{B} e calcolare la densità di energia elettromagnetica e l'intensità \mathcal{I} associate all'onda.

$$\lambda \nu = c \rightarrow \lambda = \frac{c}{\nu} = 1,67 \text{ m}$$

$$k = \frac{2\pi}{\lambda} = 3,76 \text{ m}^{-1}$$

$$\omega = 2\pi \nu = 1,13 \cdot 10^9 \text{ rad/s}$$

$$\vec{E} = \frac{2 \text{ mV}}{\text{m}} \cos(-1,13 \cdot 10^9 \text{ rad/s} \cdot t + 3,76 \text{ m}^{-1} x) \vec{u}_y$$

$$\vec{E} = 2 \cdot 10^{-3} \cos(3,76 \text{ m}^{-1} x - 1,13 \cdot 10^9 \text{ rad/s} \cdot t) \vec{u}_y \text{ V/m} \text{ e potenziale } \phi_0 = 0$$

$$B = \frac{E}{c} = 6,67 \cdot 10^{-12} \cos(3,76 \text{ m}^{-1} x - 1,13 \cdot 10^9 \text{ rad/s} \cdot t) \vec{u}_z \text{ T}$$

$$u = \epsilon_0 E^2 = \epsilon_0 (2 \cdot 10^{-3})^2 \cos^2(3,76 \text{ m}^{-1} x - 1,13 \cdot 10^9 \text{ rad/s} \cdot t)$$

$$\mathcal{I} = \frac{1}{t} \int_0^t \epsilon_0 E^2 \text{ V} dt = \frac{1}{2} \epsilon_0 E_0^2 \text{ V} = \frac{1}{2} \epsilon_0 E_0^2 c$$

$$\mathcal{H}_1 = \frac{1}{2} \epsilon_0 E_{01}^2 c \rightarrow E_{01} = \sqrt{\frac{2\mathcal{H}_1}{\epsilon_0 c}}$$

$$\mathcal{H}_2 = \frac{1}{2} \epsilon_0 E_{02}^2 c \rightarrow E_{02} = \sqrt{\frac{2\mathcal{H}_2}{\epsilon_0 c}} = 2 \sqrt{\frac{2\mathcal{H}_1}{\epsilon_0 c}} = E_{01} \cdot 2$$

Quindi:

$$\vec{E} = E_{01} \cos(kz - \omega t) [\vec{\mu}_x + 2\vec{\mu}_y]$$

onda piana, pol. linearmente, perché non varia il piano di oscillazione, monocromatica, perché oscilla ad una sola frequenza

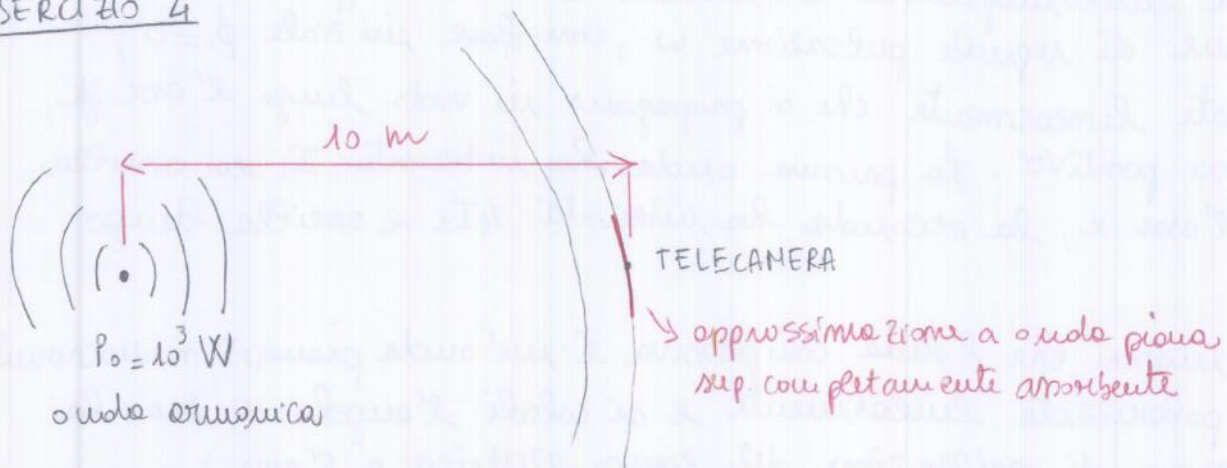
$$\alpha = \arctg\left(\frac{E_{02}}{E_{01}}\right) = \arctg 2 = 63.43^\circ$$

2) Si calcoli l'ampiezza del campo elettrico risultante.

$$E_0 = \sqrt{E_{01}^2 + E_{02}^2} = \sqrt{E_{01}^2 + 4E_{01}^2} = E_{01} \sqrt{5} \text{ V/m}$$

$$3) \mathcal{H}_{TOT} = \mathcal{H}_1 + \mathcal{H}_2 = \mathcal{H}_1 + 4\mathcal{H}_1 = 5\mathcal{H}_1$$

ESERCIZIO 4



Calcolare E_0 e B_0 nel punto occupato dalla telecamera

$$\mathcal{H} = \frac{1}{2} \epsilon_0 E_0^2 c \quad \text{energia trasportata per unità di tempo e superficie (energia media)}$$

P_0 energia trasportata nell'unità di tempo attraverso la superficie (energia media)